

ระบบเฝ้าตรวจและช่วยวินิจฉัยการบินระยะไกล



เรืออากาศเอก วัชรพงษ์ เข็มเพชร

สถาบันวิทยบริการ

จุฬาลงกรณ์มหาวิทยาลัย

วิทยานิพนธ์นี้เป็นส่วนหนึ่งของการศึกษาตามหลักสูตรปริญญา วิศวกรรมศาสตรมหาบัณฑิต

สาขาวิชาวิศวกรรมไฟฟ้า ภาควิชาวิศวกรรมไฟฟ้า


คณะวิศวกรรมศาสตร์ จุฬาลงกรณ์มหาวิทยาลัย

ปีการศึกษา 2548

ISBN 974-17-5398-5

ลิขสิทธิ์ของจุฬาลงกรณ์มหาวิทยาลัย

REMOTE FLIGHT MONITORING AND DIAGNOSIS-AIDED SYSTEM



Flt.Lt.Watcharapong Khempet

สถาบันวิทยบริการ  
จุฬาลงกรณ์มหาวิทยาลัย

A Thesis Submitted in Partial Fulfillment of the Requirements  
for the Degree of Master of Engineering Program in Electrical Engineering

Department of Electrical Engineering

Faculty of Engineering

Chulalongkorn University

Academic Year 2005

ISBN 974-17-5398-5

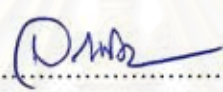
หัวข้อวิทยานิพนธ์  
โดย  
สาขาวิชา  
อาจารย์ที่ปรึกษา

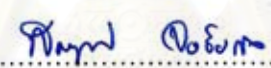
ระบบเฝ้าตรวจและช่วยวินิจฉัยการบินระยะไกล  
เรืออากาศเอก วัชรพงษ์ เข้มเพชร  
วิศวกรรมไฟฟ้า  
อาจารย์ ดร. สมบูรณ์ จงชัยกิจ


คณะวิศวกรรมศาสตร์ จุฬาลงกรณ์มหาวิทยาลัย อนุมัติให้หัวข้อวิทยานิพนธ์ฉบับนี้เป็นส่วนหนึ่ง  
ของการศึกษาตามหลักสูตรปริญญาวิทยาศาสตรบัณฑิต

  
..... คณบดีคณะวิศวกรรมศาสตร์  
(ศาสตราจารย์ ดร.ดิเรก ลาวัณย์ศิริ)

คณะกรรมการสอบวิทยานิพนธ์

  
..... ประธานกรรมการ  
(รองศาสตราจารย์ ดร.วาทิต เบญจพลกุล)

  
..... อาจารย์ที่ปรึกษา  
(อาจารย์ ดร.สมบูรณ์ จงชัยกิจ)

  
..... กรรมการ  
(ผู้ช่วยศาสตราจารย์ ดร.สุภาวดี อร่ามวิทย์)

  
..... กรรมการ  
(นาวาอากาศตรี สุนันท์ ชูมาลี)

สถาบันวิทยบริการ  
จุฬาลงกรณ์มหาวิทยาลัย

วัชรพงษ์ เข้มเพชร : ระบบเฝ้าตรวจและช่วยวินิจฉัยการบินระยะไกล. (REMOTE FLIGHT MONITORING AND DIAGNOSIS-AIDED SYSTEM)อ. ที่ปรึกษา : อ.ดร.สมบูรณ์ จงชัยกิจ, 116 หน้า. ISBN 974-17-5398-5

วิทยานิพนธ์นี้กล่าวถึงการศึกษา ออกแบบ และสร้างระบบเฝ้าตรวจและช่วยวินิจฉัยการบินระยะไกลซึ่งจะนำไปใช้ควบคุม.เข้าบินระยะไกลผ่านหน้าจอมอนิเตอร์โดยควบคุมได้ไกลถึง 8 กิโลเมตรเป็นอย่างน้อย ระบบนี้จะช่วยให้การควบคุม.เข้าบินปลอดภัยและสะดวกยิ่งขึ้น

ระบบประกอบด้วยภาคอากาศและภาคพื้น ภาคอากาศประกอบด้วยจีพีเอส ใจโรสโคป ทรานส์มิวเซอร์วัดความดันสถิต ทรานส์มิวเซอร์วัดความดันแตกต่าง หน่วยจัดการข้อมูลการบิน อุปกรณ์เก็บข้อมูลและภาคส่งโมเด็มไร้สาย ภาคพื้นดินประกอบด้วยภาครับโมเด็มไร้สายและอุปกรณ์แสดงผลซึ่งแสดงตำแหน่ง.เข้าบินบนแผนที่และเครื่องวัดประกอบการบิน การสื่อสารผ่านโมเด็มไร้สายได้มีการเข้ารหัสรีด-โซโลมอน(14,10)เพื่อแก้ไขความผิดพลาดเนื่องจากสัญญาณรบกวนที่อาจเกิดขึ้น ข้อมูลการบินจะถูกบันทึกไว้ในอุปกรณ์เก็บข้อมูลของภาคอากาศและอุปกรณ์แสดงผลของภาคพื้นเพื่อช่วยในการวิเคราะห์เส้นทางการบินและท่าทางการบิน

การทดสอบแบ่งเป็น 2 ส่วนคือการทดสอบในห้องปฏิบัติการและการทดสอบภาคสนาม โดยการทดสอบภาคสนามได้มีการทดสอบระบบที่ระยะ 10 กิโลเมตรจำนวน 10 รอบเป็นเวลา 2 ชั่วโมง ผลการทดสอบเป็นที่น่าพอใจ ระบบพร้อมที่จะนำไปใช้งาน

## สถาบันวิทยบริการ จุฬาลงกรณ์มหาวิทยาลัย

ภาควิชา..... วิศวกรรมไฟฟ้า.....ลายมือชื่อ.....๒๕๕๐.....  
สาขา วิชา..... วิศวกรรมไฟฟ้า.....ลายมือชื่ออาจารย์ที่ปรึกษา.....  
ปีการศึกษา..... 2548.....

## 4570735721 : MAJOR ELECTRICAL ENGINEERING


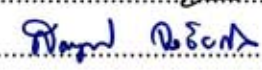
KEY WORD: MONITORING / FPGA / REED-SOLOMON / FLIGHT INSTRUMENT / DIAGNOSIS / MAP

WATCHARAPONG KHEMPET: REMOTE FLIGHT MONITORING AND DIAGNOSIS-AIDED SYSTEM. THESIS ADVISOR : SOMBOON CHONGCHAIKIT, D.Eng., 116 pp. ISBN: 974-17-5398-5.

This thesis describes the study, design and development of a Remote Flight Monitoring and Diagnosis-Aided System that will be used to remotely control a target aircraft via monitor at the distance at least 8 kilometers. This system makes target aircraft control safer and easier.

The system consists of air section and ground section. The air section is composed of a GPS, a gyroscope, a static pressure transducer, a different pressure transducer, a flight data management unit, a storage device, and a radio modem transmitter. Ground section is composed of a radio modem receiver, and a display equipment which displays the position of target aircraft on the map and flight instruments. Reed-Solomon(14,10) code is used during data transmission between radio modems to correct the errors due to noise. Flight data are recorded at the storage device of air section and the display equipment of ground section for flight path and aerobatics diagnosis.

Test in laboratory and field tests were performed. One of the field test was carried out at 10 kilometers ten times for two hours. The results are satisfactory. The system is ready to use.

Department..... Electrical Engineering..... Student's signature..... .....  
 Field of study..... Electrical Engineering..... Advisor's signature..... .....  
 Academic year..... 2005.....

## กิตติกรรมประกาศ

วิทยานิพนธ์นี้มีโอกาสสำเร็จได้หากขาดความช่วยเหลืออย่างดียิ่งจากอาจารย์ ดร. สมบูรณ์ จงชัยกิจ ผู้เป็นอาจารย์ที่ปรึกษาของข้าพเจ้าที่ได้ให้คำแนะนำในการทำวิทยานิพนธ์ ตลอดจนคำแนะนำในการดำเนินชีวิตซึ่งข้าพเจ้าใคร่ขอกราบขอบพระคุณอาจารย์เป็นอย่างสูง

ขอขอบพระคุณ รองศาสตราจารย์ ดร. วาทีต เบญจพลกุล ผู้ช่วยศาสตราจารย์ ดร. สุภาวดี อร่ามวิทย์และน.ต.สุนันท์ ชูมาลี ที่กรุณาสละเวลาอันมีค่าในการเป็นกรรมการในการสอบวิทยานิพนธ์

ขอขอบพระคุณหัวหน้ากองวิจัยและพัฒนาระบบไฟฟ้าอิเล็กทรอนิกส์ ศูนย์วิทยาศาสตร์และพัฒนาระบบอาวุธกองทัพอากาศที่ให้ความอนุเคราะห์ความรู้ เครื่องมือ สถานที่ตลอดจนอนุญาตให้ใช้ บ.เป่าบินเพื่อใช้ในการทดสอบระบบ

ขอกราบขอบพระคุณเจ้ากรมควบคุมการปฏิบัติทางอากาศ กองบัญชาการยุทธทางอากาศ และผู้อำนวยการกองซ่อมบริภัณฑ์ กรมช่างอากาศ กองบัญชาการสนับสนุนทางอากาศ ที่อนุญาตให้ข้าพเจ้าได้ใช้เวลาราชการบางส่วนเพื่อทำการศึกษาและวิจัย

ทำนี่ยังข้าพเจ้าขอกราบขอบพระคุณบิดา มารดาของข้าพเจ้า คุณลุงคำรณและคุณป้าสมทรง สุวีรัตน์ที่ได้เลี้ยงดูและสนับสนุนด้านการศึกษาตลอดมา และขอขอบคุณ คุณพ่อทองพูนและคุณแม่ประนอม วันทา อีกทั้งภรรยาและน้องสาวของข้าพเจ้าที่ช่วยเหลือและเป็นกำลังใจตลอดมา

สถาบันวิทยบริการ  
จุฬาลงกรณ์มหาวิทยาลัย

## สารบัญ

บทที่	หน้า
บทคัดย่อภาษาไทย.....	ง
บทคัดย่อภาษาอังกฤษ.....	จ
กิตติกรรมประกาศ.....	ฉ
สารบัญ.....	ช
สารบัญตาราง.....	ฎ
สารบัญภาพ.....	ฐ
บทที่ 1. บทนำ.....	1
1.1. แนวเหตุผลในการทำวิทยานิพนธ์.....	1
1.2. วัตถุประสงค์ของการวิจัย.....	2
1.3. ขอบเขตของงานวิจัย.....	2
1.4. ขั้นตอนการดำเนินงาน.....	2
1.5. ประโยชน์ที่คาดว่าจะได้รับ.....	3
บทที่ 2. ความรู้เบื้องต้นเกี่ยวกับการบิน.....	4
2.1. แกนการเคลื่อนที่ของเครื่องบิน.....	4
2.1.1. แกนขวาง.....	4
2.1.2. แกนตามยาว.....	4
2.1.3. แกนตั้ง.....	5
2.2. อุปกรณ์ควบคุมการบิน.....	5
2.2.1. ปีกเล็กแก้ไขียง.....	6
2.2.2. แผงหางระดับ.....	6
2.2.3. หางเสือ.....	6
2.3. ความสัมพันธ์ระหว่างมุมปะทะ(AOA)และแรงยก(Lift).....	6
2.4. ระบบเครื่องวัดประกอบการบิน.....	7
2.4.1. กลุ่มเครื่องวัดปีโต-สแตติก.....	7
1. เครื่องวัดความเร็วอากาศ.....	8
2. เครื่องวัดความสูง.....	8
3. เครื่องวัดอัตราไต่.....	9
2.4.2. กลุ่มเครื่องวัดไจโรสโคป.....	9

บทที่	หน้า
1. เครื่องวัดท่าทางการบิน.....	9
2. เครื่องวัดทิศทาง.....	10
2.5. จีพีเอส(GPS).....	10
2.5.1. ส่วนควบคุม.....	11
2.5.2. ส่วนอวกาศ.....	11
2.5.3. ส่วนผู้ใช้.....	12
บทที่ 3. โครงสร้างของระบบเฝ้าตรวจและช่วยวินิจฉัยการบินระยะไกล.....	15
3.1. โครงสร้างของระบบ.....	15
3.1.1. ภาคอากาศ.....	15
1. จีพีเอส.....	15
2. ใจโรสโคป.....	16
3. ทรานส์มิชเชอร์วัดความดันอากาศ.....	16
4. หน่วยจัดการข้อมูลการบิน.....	16
5. อุปกรณ์เก็บข้อมูลการบิน.....	16
6. ภาคส่งโมเด็มไร้สาย.....	16
3.1.2. ภาคพื้น.....	16
1. ภาครับโมเด็มไร้สาย.....	16
2. อุปกรณ์แสดงผล.....	16
3.2. คุณสมบัติของระบบ.....	17
3.2.1. คุณสมบัติของระบบภาคอากาศ.....	17
1. เซ็นเซอร์.....	17
2. หน่วยจัดการข้อมูลการบิน.....	17
3. อุปกรณ์เก็บข้อมูล.....	17
4. ภาคส่งโมเด็มไร้สาย.....	17
3.2.2. คุณสมบัติของระบบภาคพื้น.....	17
1. ภาครับโมเด็มไร้สาย.....	17
2. อุปกรณ์แสดงผล.....	18
บทที่ 4. โครงสร้างทางฮาร์ดแวร์และการออกแบบ.....	19
4.1. โครงสร้างทางฮาร์ดแวร์.....	19



บทที่	หน้า
4.2. รายละเอียดของอุปกรณ์.....	20
4.2.1. จีพีเอส.....	20
4.2.2. ใจโรสโคป.....	20
4.2.3. ทรานส์ดีวเซอร์วัดความดันอากาศ.....	21
4.2.4. วงจรขับ RS-232.....	21
4.2.5. คอนโทรลเลอร์.....	22
4.2.6. อุปกรณ์เก็บข้อมูล.....	22
4.2.7. ภาครับและภาคส่งโมเด็มไร้สาย.....	23
4.2.8. วงจรแปลงแรงดัน.....	23
1.1.9. คอมพิวเตอร์.....	24
บทที่ 5. การออกแบบและพัฒนาโปรแกรม.....	25
5.1. การออกแบบโปรแกรมคอนโทรลเลอร์.....	25
5.1.1. โมดูลกำเนิดบอดเรต.....	26
5.1.2. โมดูลการสื่อสารอนุกรมอะซิงโครนัส.....	27
1. ภาครับของการสื่อสารอนุกรมอะซิงโครนัส.....	27
2. ภาคส่งของการสื่อสารอนุกรมอะซิงโครนัส.....	28
5.1.3. โมดูลถอดรหัสข้อมูลของใจโรสโคป.....	28
5.1.4. โมดูลถอดรหัสข้อมูลของทรานส์ดีวเซอร์วัดความดันอากาศ.....	30
5.1.5. โมดูลถอดรหัสข้อมูลของจีพีเอส.....	31
5.1.6. โมดูลเข้ารหัสรีด-โซโลมอน.....	33
5.1.7. โมดูลมัลติเพล็กซ์เซอร์.....	35
5.1.8. การควบคุมการส่งข้อมูล.....	36
5.2. การออกแบบและพัฒนาโปรแกรมแสดงผล.....	37
5.2.1. ส่วนการบันทึกข้อมูล.....	37
1. การส่งคำสั่งไปควบคุมการบันทึกข้อมูลในอุปกรณ์เก็บข้อมูล.....	37
2. การบันทึกข้อมูลลงในฮาร์ดดิสก์.....	38
5.2.2. ส่วนการแสดงผลข้อมูล.....	38
1. การอ่านโปรโตคอลของข้อมูลการบิน.....	39
2. การประมวลผลข้อมูล.....	39

2.1. ฟังก์ชันแปลงข้อมูล 7 LSB เป็น 8 บิต.....	39
2.2. ฟังก์ชันการถอดรหัสรีด-ไซโลมอน.....	40
2.2.1. การหาค่าซินโดรม.....	40
2.2.2. การคำนวณหาพหุนามระบุตำแหน่งความผิดพลาด.....	41
2.2.3. การคำนวณหาพหุนามระบุค่าความผิดพลาด.....	41
2.3. ฟังก์ชันการคำนวณหาค่าพารามิเตอร์จากข้อมูลการบิต.....	42
2.3.1. การคำนวณหาค่าพารามิเตอร์จากความดันสถิตและความดันแตกต่าง.....	42
2.3.2. การคำนวณหาค่าพารามิเตอร์จากไจโรสโคป.....	43
5.3. โปรแกรมแสดงผลการบิต.....	43
5.3.1. การแสดงแผนที่.....	44
5.3.2. การแสดงผลเครื่องวัดประกอบการบิต.....	45
1. เครื่องวัดท่าทางการบิต.....	46
2. เครื่องวัดความสูง.....	47
3. เครื่องวัดความเร็วอากาศ.....	48
4. เครื่องวัดทิศทาง.....	48
5. เครื่องวัดความสูงจากระดับน้ำทะเลมาตรฐาน.....	49
6. เครื่องวัดความเร็วพื้น.....	49
บทที่ 6. การทดสอบในห้องทดสอบ.....	50
6.1. ระบบจำลองสัญญาณเซ็นเซอร์.....	50
6.2. การทดสอบในห้องปฏิบัติการ.....	51
6.2.1. การทดสอบฟังก์ชันรีด-ไซโลมอน.....	52
6.2.2. การทดสอบการถอดรหัสจีพีเอสและการแสดงผล.....	54
6.2.3. การทดสอบการถอดรหัสไจโรสโคป.....	55
1. การทดสอบการอ่านค่ามุมม้วนตัว.....	55
2. การทดสอบการอ่านค่ามุมเงย.....	56
6.2.4. การทดสอบการถอดรหัสทรานส์ดีวเซอร์วัดความดันสถิต.....	57
6.2.5. การทดสอบการถอดรหัสทรานส์ดีวเซอร์วัดความดันแตกต่าง.....	58
6.2.6. การทดสอบการแสดงผลเครื่องวัดประกอบการบิต.....	60

บทที่	หน้า
บทที่ 7. การทดสอบภาคสนาม.....	63
7.1. การทดสอบการสื่อสารไร้สายและจีพีเอส.....	63
7.1.1. การติดตั้งระบบภาคอากาศ.....	63
7.1.2. การติดตั้งระบบภาคพื้น.....	65
7.1.3. ผลการทดสอบ.....	66
7.2. การทดสอบการการใช้งานร่วมกับบ.เป่าบิน.....	68
7.2.1. การติดตั้งระบบภาคอากาศ.....	68
7.2.2. การติดตั้งระบบภาคพื้น.....	72
7.2.3. ผลการทดสอบ.....	73
บทที่ 8. สรุปผลและข้อเสนอแนะ.....	76
8.1. สรุปผล.....	76
8.2. ปัญหาและข้อเสนอแนะ.....	77
รายการอ้างอิง.....	78
ภาคผนวก.....	80
ภาคผนวก ก รายละเอียดทางเทคนิคของอุปกรณ์.....	81
ภาคผนวก ข รายละเอียดแผนภาพวงจรถอดต้นแบบ.....	95
ภาคผนวก ค รายละเอียดการเข้ารหัสและถอดรหัสรีด-โซโลมอนด้วยภาษา C.....	98
ประวัติผู้เขียนวิทยานิพนธ์.....	116

## สารบัญตาราง

ฎ

บทที่	หน้า
ตารางที่ 5.1. ตารางสรุปการคำนวณหาจำนวนนาฬิกาเพื่อใช้สร้างบอดเรต.....	26
ตารางที่ 5.2. ความสามารถในการแก้ไขความคลาดเคลื่อนของรหัสแต่ละชนิด.....	34
ตารางที่ 5.3. แสดงตำแหน่งของข้อมูลในการเข้ารหัสรีด-โซโลมอน.....	35
ตารางที่ 5.4. แสดงการจัดเรียงข้อมูลตามตำแหน่งแอดเดรส.....	35
ตารางที่ 5.5. แสดงตำแหน่งของของข้อมูลที่จะทำการส่ง.....	36
ตารางที่ 5.6. แสดงการจัดเรียงข้อมูลตามตำแหน่งแอดเดรสเมื่อแปลง 7 LSB เป็น 8 บิต.....	39



สถาบันวิทยบริการ  
จุฬาลงกรณ์มหาวิทยาลัย

## สารบัญภาพ

ฐ

บทที่	หน้า
รูปที่ 2.1.แผนการเคลื่อนที่ของเครื่องบิน.....	4
รูปที่ 2.2.อุปกรณ์ควบคุมการบิน.....	5
รูปที่ 2.3.มุมปะทะเป็นมุมระหว่างแนวคอร์ดของปีกและความเร็วลมสัมพัทธ์.....	6
รูปที่ 2.4.กราฟความสัมพันธ์ระหว่างสัมประสิทธิ์แรงยก( Characteristic of Lift )และมุมปะทะ...7	
รูปที่ 2.5.( ซ้าย )ท่อปีโตถูกติดตั้งที่บริเวณใต้ปีกและ( ขวา )ท่อสแตติกถูกติดตั้งอยู่ด้านข้างลำตัว.7	
รูปที่ 2.6.เครื่องวัดความเร็วอากาศ.....	8
รูปที่ 2.7.เครื่องวัดความสูง.....	8
รูปที่ 2.8.เครื่องวัดอัตราไต่.....	9
รูปที่ 2.9.เครื่องวัดท่าทางการบิน.....	9
รูปที่ 2.10.เครื่องวัดทิศทาง.....	10
รูปที่ 2.11.องค์ประกอบของจีพีเอส.....	10
รูปที่ 2.12.ระยะเวลาการเดินทางของสัญญาณ.....	12
รูปที่ 2.13.สัญญาณที่เปล่งออกจากดาวเทียมเป็นรูปทรงกลม.....	12
รูปที่ 2.14.การตัดกันของสัญญาณจากดาวเทียมสองดวง.....	13
รูปที่ 2.15.การตัดกันของสัญญาณจากดาวเทียมสามดวง.....	13
รูปที่ 2.16.การตัดกันของสัญญาณจากดาวเทียมสี่ดวง.....	13
รูปที่ 3.1.โครงสร้างของระบบเฝ้าตรวจและช่วยวินิจฉัยการบินระยะไกล.....	15
รูปที่ 4.1.โครงสร้างทางฮาร์ดแวร์.....	19
รูปที่ 4.2.จีพีเอส รุ่น GPS 35LP ผลิตโดยบริษัท การ์มินท์ จำกัด.....	20
รูปที่ 4.3.ไจโรสโคป VG400CA ผลิตโดย บริษัท ครอสโบว์เทคโนโลยี จำกัด.....	20
รูปที่ 4.4.ทรานส์ดีวเซอร์วัดความดันอากาศรุ่น PPT ผลิตโดยบริษัท ฮันนี่เวลล์ จำกัด.....	21
รูปที่ 4.5.โครงสร้างภายในของชิป MAX-232 ของบริษัท แม็กซิม จำกัด.....	21
รูปที่ 4.6.บอร์ดเอฟพีจีเอ รุ่น Discovery-III XC3S200 ผลิตโดยบริษัท เอเพ็กซ์อินสทรูเมนต์.....	22
รูปที่ 4.7.บอร์ดบันทึกข้อมูล Compact Flash รุ่น ET-CFM V1.0 ของบริษัท อีทีที.....	22
รูปที่ 4.8.โมเด็มไร้สายรุ่น XTend-PKG-R ผลิตโดยบริษัท แม็กสตรีม จำกัด.....	23
รูปที่ 4.9.คอมพิวเตอร์ที่ใช้เป็นอุปกรณ์แสดงผล.....	24
รูปที่ 5.1.โครงสร้างภายในคอนโทรลเลอร์.....	25
รูปที่ 5.2.ลักษณะข้อมูลอนุกรมอะซิงโครนัส.....	27

บทที่	หน้า
รูปที่ 5.3. โพลีชาร์ตภาครับของการสื่อสารอนุกรมอะซิงโครนัส.....	27
รูปที่ 5.4. โพลีชาร์ตภาคส่งของการสื่อสารอนุกรมอะซิงโครนัส.....	28
รูปที่ 5.5. การถอดข้อมูลภายในในโพรโตคอลของไจโรสโคป.....	29
รูปที่ 5.6. โพลีชาร์ตการถอดข้อมูลไจโรสโคป.....	29
รูปที่ 5.7. วิธีการคำนวณหาเลขเอกลักษณะและความดันอากาศ จากโพรโตคอลของทรานส์ดีวเซอร์วัดความดันอากาศ.....	30
รูปที่ 5.8. โพลีชาร์ตการถอดข้อมูลของทรานส์ดีวเซอร์วัดความดันอากาศ.....	31
รูปที่ 5.9. โพลีชาร์ตการถอดรหัสข้อมูลของจีพีเอส.....	32
รูปที่ 5.10. ชนิดของรหัสแก้ไขความคลาดเคลื่อน.....	33
รูปที่ 5.11. แผนภาพการเข้ารหัสรีด-โซโลมอน.....	34
รูปที่ 5.12. โพลีชาร์ตการส่งโพรโตคอลข้อมูลการบิน.....	37
รูปที่ 5.13. การส่งคำสั่งไปควบคุมการบินที่ข้อมูลในอุปกรณ์เก็บข้อมูล.....	38
รูปที่ 5.14. ขั้นตอนการแสดงผล.....	39
รูปที่ 5.15. ขั้นตอนการถอดรหัสรีด-โซโลมอน.....	40
รูปที่ 5.16. การแสดงผลสัญลักษณ์เครื่องบินบนแผนที่และแสดงผลเครื่องวัดประกอบการบิน.....	43
รูปที่ 5.17. การแสดงผลสัญลักษณ์เครื่องบินบนแผนที่.....	44
รูปที่ 5.18. ทูลบาร์ช่วยเหลือการใช้งานแผนที่.....	44
รูปที่ 5.19. หน้าปัดเครื่องวัดประกอบการบิน.....	45
รูปที่ 5.20. เครื่องวัดท่าทางการบินของโปรแกรม GMS Aircraft Instrument.....	46
รูปที่ 5.21. เครื่องวัดท่าทางการบินเมื่ออบ. เป้าบินเงยทำมุม 20 องศา กับแนวระดับ.....	46
รูปที่ 5.22. เครื่องวัดท่าทางการบินเมื่ออบ. เป้าบินม้วนตัวทำมุม -45 องศา กับแนวระดับ.....	47
รูปที่ 5.23. เครื่องวัดความสูงของโปรแกรม GMS Aircraft Instrument.....	47
รูปที่ 5.24. เครื่องวัดความเร็วอากาศของโปรแกรม GMS Aircraft Instrument.....	48
รูปที่ 5.25. เครื่องวัดทิศทางของโปรแกรม GMS Aircraft Instrument.....	48
รูปที่ 5.26. เครื่องวัดความสูงระดับน้ำทะเลมาตรฐานของโปรแกรม GMS Aircraft Instrument.....	49
รูปที่ 5.27. เครื่องวัดความเร็วพื้นของโปรแกรม GMS Aircraft Instrument.....	49
รูปที่ 6.1. โครงสร้างระบบจำลองสัญญาณเซ็นเซอร์.....	50

## สารบัญภาพ

ผ

บทที่	หน้า
รูปที่ 6.2.(ซ้าย)คอมพิวเตอรืจำลองการบิน(กลาง)อุปกรณ์แสดงผลการบินภาคพื้นทีพัฒนาขึ้นและ (ขวา)คอมพิวเตอรืจำลองสัญญาณเซ็นเซอร์.....	51
รูปที่ 6.3.ผลการทดสอบครั้งที่ 1 เมื่อยังไม่มีควมคลาดเคลื่อน.....	52
รูปที่ 6.4.ผลการทดสอบครั้งที่ 2 เมื่อกำหนดควมคลาดเคลื่อน 1 ตำแหน่ง.....	53
รูปที่ 6.5.ผลการทดสอบครั้งที่ 3 เมื่อกำหนดควมคลาดเคลื่อน 2 ตำแหน่ง.....	53
รูปที่ 6.6.ผลการทดสอบครั้งที่ 4 เมื่อกำหนดควมคลาดเคลื่อน 3 ตำแหน่ง.....	53
รูปที่ 6.7.ผลของการแสดงตำแหน่งบนแผนที่.....	54
รูปที่ 6.8.คำอินพุตสำหรับทดสอบการอ่านค่ามุมม้วนตัว.....	55
รูปที่ 6.9.ผลการทดสอบการอ่านค่ามุมม้วนตัว.....	56
รูปที่ 6.10.คำอินพุตสำหรับทดสอบการอ่านค่ามุมเงย.....	56
รูปที่ 6.11.ผลการทดสอบการอ่านค่ามุมเงย.....	57
รูปที่ 6.12.คำอินพุตสำหรับทดสอบการอ่านค่าควมดันสถิต.....	57
รูปที่ 6.13.ผลการทดสอบการอ่านค่าควมดันสถิต.....	58
รูปที่ 6.14.คำอินพุตสำหรับทดสอบการอ่านค่าควมดันแตกต่าง.....	59
รูปที่ 6.15.ผลการทดสอบการอ่านค่าควมดันแตกต่าง.....	59
รูปที่ 6.16.เปรียบเทียบการแสดงผลเครื่องวัดท่าทางการบิน.....	60
รูปที่ 6.17.เปรียบเทียบการแสดงผลเครื่องวัดท่าทางการบิน.....	61
รูปที่ 6.18.เปรียบเทียบการแสดงผลเครื่องวัดควมสูง.....	61
รูปที่ 6.19.เปรียบเทียบการแสดงผลเครื่องวัดควมสูง.....	62
รูปที่ 7.1.ลักษณะเครื่องบินฝึกแบบ 19.....	63
รูปที่ 7.2.ตำแหน่งติดตั้งจีพีเอสบริเวณด้านบนคอนโซลของนักบินหลัง.....	64
รูปที่ 7.3.ตำแหน่งติดตั้งหน่วยจัดการข้อมูลการบินบริเวณด้านข้างภายในห้องนักบิน.....	64
รูปที่ 7.4.ตำแหน่งติดตั้งภาคส่งโมเด็มไร้สายบริเวณฝาครอบห้องนักบิน.....	65
รูปที่ 7.5.หอบังคับการบินซึ่งใช้ในการติดตั้งระบบภาคพื้น.....	65
รูปที่ 7.6.ตำแหน่งที่ใช้ในการติดตั้งภาครับวิทยุไร้สาย.....	66
รูปที่ 7.7.ลักษณะอุปกรณ์แสดงผลการบินเมื่อพร้อมใช้งาน.....	66
รูปที่ 7.8.เส้นทางการบินของเครื่องบินฝึกแบบ19ในขณะเริ่มบินขึ้นจากสนามบิน.....	67
รูปที่ 7.9.เส้นทางการบินของเครื่องบินฝึกแบบ 19 ในขณะบินเข้าสู่สนามบิน.....	67

## สารบัญภาพ

ณ

บทที่	หน้า
รูปที่ 7.10. ให้เห็นเส้นทางการบินทั้งหมดของเครื่องบินฝึกแบบ 19 ที่ทำการทดสอบ.....	68
รูปที่ 7.11. ตำแหน่งการวางจีพีเอส ทราบส์มิเตอร์วัดความดันอากาศสถิตและความดันแตกต่าง ติดตั้งบริเวณตอนกลางของบ.เป่าบิน.....	69
รูปที่ 7.12. ตำแหน่งการวางไจโรสโคปและหน่วยจัดการข้อมูลการบินติดตั้งบริเวณตอนกลางของบ. เป่าบิน.....	70
รูปที่ 7.13. ภาคส่งโมเด็มไร้สายอยู่บริเวณใต้ฝาปิดสัมภาระของบ.เป่าบิน.....	70
รูปที่ 7.14. ชุดท่อปิโต-สแตติกติดตั้งบริเวณชายปีกด้านซ้ายของเครื่องบิน.....	71
รูปที่ 7.15. บ.เป่าบินเมื่อติดตั้งเข้ากับเครื่องปล่อยบ.เป่าบิน.....	71
รูปที่ 7.16. บ.เป่าบินออกจากเครื่องปล่อยบ.เป่าบิน.....	72
รูปที่ 7.17. ภาครับโมเด็มไร้สายเชื่อมต่อกับอุปกรณ์แสดงผลการบิน.....	72
รูปที่ 7.18. การแสดงผลของอุปกรณ์แสดงผลการบิน.....	73
รูปที่ 7.19. ผลการบินครั้งแรกบินตามปกติในระยะ 2 กิโลเมตร.....	73
รูปที่ 7.20. ผลการบินครั้งที่สองบินระยะเกินกว่าระยะสายตาประมาณ 7 กิโลเมตร.....	74
รูปที่ 7.21. ผลการบินครั้งที่สองแสดงแผนที่และเครื่องวัดประกอบการบิน.....	74

สถาบันวิทยบริการ  
จุฬาลงกรณ์มหาวิทยาลัย



# บทที่ 1

## บทนำ

### 1.1. แนวเหตุผลในการทำวิทยานิพนธ์

ทุกๆปีกองทัพอากาศไทยได้ทำการฝึกซ้อมและทดสอบการใช้จรวดนำวิถีต่อสู้อากาศยานพื้นสู่อากาศ(Ground-to-Air missile)เพื่อให้เจ้าหน้าที่เกิดความชำนาญโดยการฝึกซ้อมด้วยอาวุธจริง จรวด ADATS เป็นจรวดนำวิถีต่อสู้อากาศยานพื้นสู่อากาศประเภทหนึ่งมีระยะยิงหวังผล 6 ถึง 9 กิโลเมตร

อุปกรณ์สำคัญที่ใช้ในการฝึกซ้อมด้วยอาวุธจริงคือเครื่องบินขนาดกลางที่ทำหน้าที่เป็นเป้าหมายซึ่งต่อไปนี้จะเรียกว่าเป้าหมาย ปัจจุบันกองทัพอากาศมีขีดความสามารถในการผลิตเป้าหมายได้ด้วยตัวเองโดยระบบควบคุมสามารถควบคุมได้ไกลถึง 8 กิโลเมตรเป้าหมายนี้จะบินอยู่ในระดับความสูงประมาณ 500 ถึง 2,000 ฟุต ด้วยความเร็วสูงสุด 160 นอตต์

ปัจจุบันในการควบคุมการบินผู้บังคับเป้าหมายจะใช้สายตามอง ระยะไกลสุดที่สายตาดูจะมองเห็นได้ชัดเจนมีค่าประมาณ 2 กิโลเมตร หากผู้บังคับเป้าหมายจะทำการบินในระยะไกลกว่า 2 กิโลเมตรผู้บังคับเป้าหมายจะต้องใช้กล้องส่องทางไกลช่วยในการมอง

เพื่อความปลอดภัยต่อผู้บังคับเป้าหมายจากสะเก็ดระเบิดผู้บังคับเป้าหมายจะต้องอยู่ห่างจากจุดที่จรวดกระทบเป้าหมายอย่างน้อย 1.5 กิโลเมตร อย่างไรก็ตามผู้บังคับเป้าหมายอยู่ห่างจากวงจรมเป้าหมายมากเท่าใดก็ยิ่งมีความปลอดภัยมากขึ้นเท่านั้น

นอกจากนั้นในการทดสอบการยิงจรวด ADATS ผู้บังคับเป้าหมายต้องติดต่อสื่อสารกับผู้ควบคุมฐานยิงจรวดตลอดเวลาเพื่อจะบอกพิกัดที่จะทำการยิง

ในวิทยานิพนธ์นี้จะทำการศึกษา ออกแบบ และสร้างระบบเฝ้าตรวจและช่วยวินิจฉัยการบินระยะไกล ซึ่งมีความสามารถในการเก็บข้อมูลและแสดงผลการบินของเป้าหมายเช่น ทำทางการบิน ความเร็ว และตำแหน่งของเครื่อง ซึ่งสามารถช่วยให้ผู้บังคับเป้าหมายสามารถที่จะควบคุมเป้าหมายผ่านหน้าจอคอมพิวเตอร์เพื่อทำให้สามารถบังคับเป้าหมายในระยะไกลเกินกว่าระยะสายตาระยะประมาณ 2 กิโลเมตรได้ ทำให้ผู้บังคับเป้าหมายสามารถอยู่ห่างจากจุดที่จรวดตกกระทบเป้าหมายมากกว่าเดิม โดยจุดบังคับการบินอาจจะอยู่ ณ จุดเดียวกับฐานยิงจรวดเพื่อสะดวกต่อการติดต่อสื่อสาร หาก บ.เป้าหมายเกิดความผิดพลาดหรือเสียหายขณะทำการบินยังสามารถตรวจจับและเตือนผู้บังคับเป้าหมายเพื่อช่วยในการตัดสินใจ นอกจากนี้ยังสามารถนำข้อมูลที่เก็บได้มาทำการวินิจฉัยการบินของ บ.เป้าหมายแต่ละครั้งอีกด้วย

งานวิจัยนี้ยังสามารถนำไปพัฒนาเป็นอุปกรณ์ช่วยฝึกบินสำหรับศิษย์การบินโดยติดตั้งกับเครื่องบินฝึกเพื่อทำการเก็บข้อมูล แสดงผล และนำผลที่ได้มาวินิจฉัยเพื่อหาประสิทธิภาพการทำการบินของศิษย์การบินหรืออาจจะนำไปพัฒนาต่อเป็นระบบอากาศยานไร้คนขับ(UAV) ในอนาคตเพื่อใช้ในการลาดตระเวนทางอากาศ แทนการใช้เครื่องบินจริงซึ่งช่วยลดค่าใช้จ่าย และลดความเสี่ยงเสียให้กับกองทัพอากาศ

## 1.2. วัตถุประสงค์ของการวิจัย

- 1.2.1. เพื่อศึกษาและออกแบบระบบที่มีความสามารถเก็บข้อมูล แสดงผล และช่วยวินิจฉัยการบิน
- 1.2.2. สร้างระบบที่มีความสามารถเก็บข้อมูล แสดงผล และช่วยวินิจฉัยการบิน โดยระบบดังกล่าวจะช่วยให้ผู้บังคับเครื่องบินขนาดกลาง(ที่ทำหน้าที่เป็นเป้าบินสำหรับทดสอบชีพनावุธ)สามารถที่จะบังคับการบินที่ระยะไกลเกินกว่าระยะสายตามองเห็นได้

## 1.3. ขอบเขตของงานวิจัย

- 1.3.1. สร้างระบบเก็บข้อมูลการบินระหว่างทำการบิน
- 1.3.2. สร้างระบบส่งข้อมูล รับข้อมูล และแสดงผลการบินระยะไกล
- 1.3.3. ทดสอบระบบเฝ้าตรวจและช่วยวินิจฉัยการบินระยะไกล

## 1.4. ขั้นตอนการดำเนินงาน

- 1.4.1. ศึกษารายละเอียดของเครื่องมือที่จะใช้
- 1.4.2. สร้างระบบเก็บข้อมูลการบินด้วยหน่วยความจำแฟลชและอ่านข้อมูลจากหน่วยความจำแฟลชด้วยคอมพิวเตอร์และทดสอบการเก็บข้อมูลและการอ่านข้อมูล
- 1.4.3. สร้างระบบส่งข้อมูล และรับข้อมูลการบินด้วยโปรแกรมไฮเปอร์เทอร์มินอล
- 1.4.4. เชื่อมต่อระบบส่งข้อมูล และรับข้อมูลเข้ากับโมเด็มไร้สายภาคส่งและโมเด็มไร้สายภาครับและทดสอบการรับข้อมูลโดยใช้โปรแกรมไฮเปอร์เทอร์มินอล
- 1.4.5. เขียนโปรแกรมแสดงผลจากข้อมูลที่ได้จากหน่วยความจำแฟลช และข้อมูลที่ที่เกิดขึ้น ณ เวลาจริงจากการรับและส่งข้อมูลระยะไกล
- 1.4.6. ทดสอบระบบ
- 1.4.7. สรุปผลการใช้งานและเขียนวิทยานิพนธ์

### 1.5. ประโยชน์ที่คาดว่าจะได้รับ

- 1.5.1. นำไปใช้ร่วมกับการฝึกซ้อมและทดสอบการใช้จรวดนำวิถีต่อสู้อากาศยานพื้นสู่อากาศสำหรับป้องกันภัยทางอากาศ ADATS
- 1.5.2. สามารถนำไปพัฒนาใช้เป็นอุปกรณ์ช่วยฝึกให้กับศิษย์การบินโดยการติดตั้งอุปกรณ์กับเครื่องบินฝึก
- 1.5.3. สามารถนำไปพัฒนาเป็นเครื่องบินไร้คนขับเพื่อใช้ในการลาดตระเวนทางอากาศในอนาคต

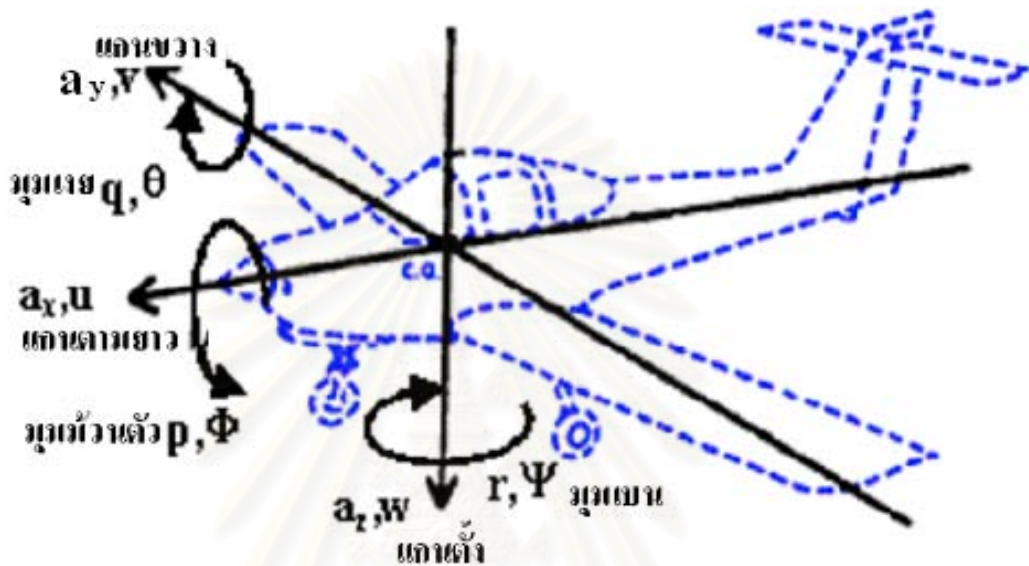


สถาบันวิทยบริการ  
จุฬาลงกรณ์มหาวิทยาลัย

## บทที่ 2

### ความรู้เบื้องต้นเกี่ยวกับการบิน

#### 2.1. แกนการเคลื่อนที่ของเครื่องบิน



รูปที่ 2.1 แกนการเคลื่อนที่ของเครื่องบิน [ 1 ]

จากรูปที่ 2.1 แสดงแกนการเคลื่อนที่ของเครื่องบินมีสามแกนคือ แกนขวาง ( Lateral Axis ) แกนตามยาว ( Longitudinal Axis ) และแกนตั้ง ( Vertical Axis ) แต่ละแกนมีทั้งการเคลื่อนที่เชิงมุมและการเคลื่อนที่เชิงเส้นโดยมีตัวแปรสำคัญที่เกี่ยวข้องกับการบินดังนี้

##### 2.1.1. แกนขวาง

แกนขวางคือแกนที่ลากจากปลายปีกด้านหนึ่งไปยังปลายปีกอีกด้านหนึ่ง การเคลื่อนที่เชิงมุมรอบแกนขวางทำให้เกิดมุมเงย ( Pitch Angle,  $q$  ) และอัตราการเงย ( Pitch Rate,  $\theta$  ) การเคลื่อนที่เชิงเส้นตามแกนขวางทำให้เกิดความเร็วทางขวาง ( Lateral Velocity,  $v$  ) และความเร่งทางขวาง ( Lateral Acceleration,  $a_y$  )

##### 2.1.2. แกนตามยาว

แกนตามยาวคือแกนที่ลากจากท้ายเครื่องบินไปทางหัวเครื่องบิน การเคลื่อนที่เชิงมุมรอบแกนตามยาวทำให้เกิดมุมม้วนตัว ( Roll Angle,  $p$  ) และอัตราการม้วนตัว ( Roll Rate,  $\Phi$  ) การเคลื่อนที่เชิงเส้นตามแกนตามยาวทำให้เกิดความเร็วตามแนวยาว ( Axial Velocity,  $u$  ) และความเร่งตามแนวยาว ( Axial Acceleration,  $a_x$  )

### 2.1.2. แขนงตั้ง

แกนตั้งคือแกนซึ่งลากจากหลังคาด้านบนทะลุท้องเครื่องบิน การเคลื่อนที่เชิงมุมรอบแกนตั้งทำให้เกิดมุมเบน (Yaw Angle,  $r$ ) และอัตราการเบน (Yaw Rate,  $\Psi$ ) การเคลื่อนที่เชิงเส้นในแนวแกนตั้งทำให้เกิดความเร็วแนวตั้ง (Vertical Velocity,  $w$ ) และความเร่งแนวตั้ง (Vertical Acceleration,  $a_z$ )

จากที่กล่าวมาข้างต้นนั้นจึงสรุปได้ว่าเมื่อเครื่องบินเคลื่อนที่จะทำให้เกิดการเปลี่ยนแปลงเชิงมุมของมุมเงย มุมม้วนตัวและมุมเบน ความเร็วทางขวาง ความเร็วตามแนวยาวและความเร็วแนวตั้งทำให้เกิดการเปลี่ยนแปลงท่าทางการบิน ดังนั้นสิ่งที่ผู้บังคับการบินต้องทราบก็คือท่าทางการบินและตำแหน่งของเครื่องบินจึงจำเป็นต้องใช้ไจโรสโคปและจีพีเอสในการบอกท่าทางการบินและตำแหน่ง

### 2.2. อุปกรณ์ควบคุมการบิน [ 1 ]



รูปที่ 2.2 อุปกรณ์ควบคุมการบิน[1]

จากรูปที่ 2.2 แสดงอุปกรณ์ควบคุมการบินของเครื่องบินประกอบไปด้วย ปีกเล็กแก้อียง (Ailerons) แผงหางระดับ (Elevators) หางเสือ (Rudder) และแพลป (Flaps)

ปีกเล็กแก้อียง แผงหางระดับและหางเสือทำหน้าที่ในการบังคับทิศทางและท่าทางการบินเพื่อทำให้เครื่องบินบินไปตามที่นักบินต้องการ ส่วนแพลปนั้นจะยื่นออกมาเล็กน้อยขณะบินขึ้นและร่อนลงสนามบินเพื่อเพิ่มแรงยก

### 2.2.1. ปีกเล็กแก้อียง

ปีกเล็กแก้อียงคือส่วนที่ใช้ในการควบคุมเครื่องบินในแนวตามยาวทำให้เกิดการม้วนตัวของเครื่องรอบแกนตามยาวติดตั้งอยู่ที่ชายหลังของปีก ปีกเล็กแก้อียงด้านขวาและปีกเล็กแก้อียงด้านซ้ายจะทำงานตรงข้ามกัน

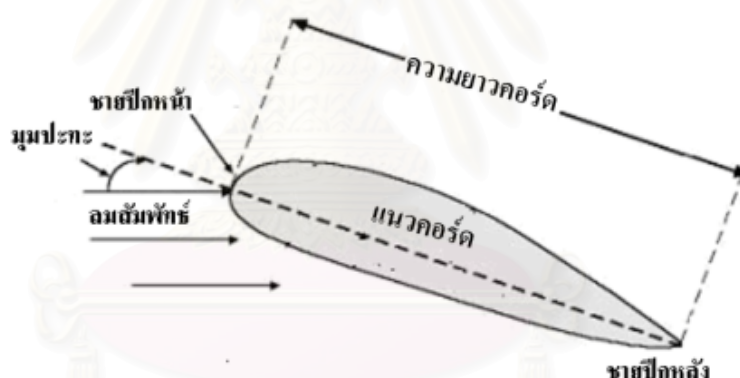
### 2.2.2. แพนหางระดับ

แพนหางระดับเป็นส่วนที่ใช้ควบคุมในแนวระดับทำให้เกิดการก้มและการเงยของเครื่องบินรอบแกนขวาง แพนหางระดับติดตั้งอยู่ที่ชายหลังของแพนหาง

### 2.2.3. หางเสือ

หางเสือคือส่วนที่ใช้ในการควบคุมเครื่องบินแนวตั้งซึ่งติดตั้งอยู่ที่ชายหลังของกระโดงหางทำให้เกิดเบนซ้ายและเบนขวาของเครื่องรอบแกนตั้งโดยปกติแล้วในการเลี้ยวจะใช้งานร่วมกับปีกเล็กแก้อียง

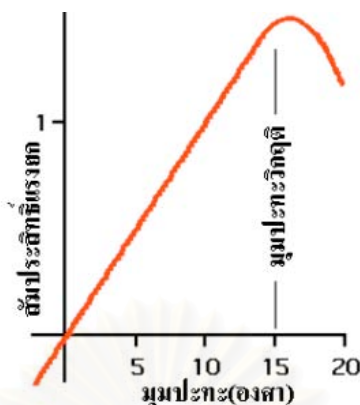
## 2.3. ความสัมพันธ์ระหว่างมุมปะทะ(AOA)และแรงยก(Lift)



รูปที่ 2.3 มุมปะทะเป็นมุมระหว่างแนวคอร์ดของปีกและความเร็วลมสัมพันธ์[2]

จากรูปที่ 2.3 มุมปะทะเป็นมุมที่ความเร็วลมสัมพันธ์ปะทะกับแนวคอร์ดของปีก ขณะทำการบินมุมปะทะจะเปลี่ยนไปตลอดเวลาขึ้นอยู่กับทิศทางของเครื่องบิน มุมปะทะจะสัมพันธ์กับความเร็วของเครื่องบินด้วย

จากรูปที่ 2.4 มุมปะทะสัมพันธ์โดยตรงกับแรงยก การเพิ่มขึ้นของมุมปะทะจะทำให้แรงยกเพิ่มขึ้นมุมปะทะเพิ่มขึ้นจนถึงจุดๆหนึ่ง (ประมาณ 17 องศา[2]) ณ จุดนี้เครื่องบินจะเกิดการสูญเสียแรงยกทำให้เกิดการร่วงหล่น (Stall) เรียกจุดนี้ว่ามุมปะทะวิกฤติ (Critical AOA)



รูปที่ 2.4 กราฟความสัมพันธ์ระหว่างสัมประสิทธิ์แรงยก( Characteristic of Lift )และมุมปะทะ [2]

ดังนั้นการที่ผู้บังคับการบินทราบมุมปะทะของเครื่องบินก็เป็นส่วนช่วยให้ลดอันตรายจากเครื่องบินตกได้ โดยควบคุมไม่ให้มุมปะทะเกินกว่ามุมปะทะวิกฤติ

#### 2.4. ระบบเครื่องวัดประกอบการบิน[3],[4],[5]

เนื่องจากเครื่องบินนั้นมีการเคลื่อนไหวในลักษณะของแกนสามแกนในอากาศ ดังนั้นเราจึงจำเป็นต้องใช้เครื่องมือวัดเพื่อใช้บอกถึงท่าทางการบินในขณะนั้นๆ เครื่องมือวัดที่สำคัญได้แก่

##### 2.4.1. กลุ่มเครื่องวัดปีโต-สแตติก

จากรูปที่ 2.5 ปีโต-สแตติกเป็นอุปกรณ์ในการรับค่าและแปลงค่าความดันอากาศเพื่อส่งไปยังเครื่องวัดที่อยู่ในห้องนักบิน( Cockpit )ประกอบด้วยท่อปีโตและท่อสแตติก

ความดันอากาศปีโตคือความดันอากาศที่เข้าทางท่อปีโต โดยท่อปีโตนี้มักจะติดตั้งอยู่ที่ปีกเครื่องบิน หรืออยู่ที่ส่วนหัวเครื่องบิน ที่ปลายท่อปีโตจะมีรูเพื่อรับความดันอากาศที่เกิดจากความเร็วมลล์สัมพัทธ์ก่อนที่จะผ่านไปยังโครงสร้างของเครื่องบินเมื่อเกิดความเร็วอากาศสัมพัทธ์ก็จะทำให้เกิดการเพิ่มขึ้นของความดันอากาศปีโตด้วย



รูปที่ 2.5 ( ซ้าย )ท่อปีโตถูกติดตั้งที่บริเวณใต้ปีกและ( ขวา )ท่อสแตติกถูกติดตั้งอยู่ด้านข้างลำตัว

ความดันสถิตคือความดันอากาศที่เข้าทางท่อสแตติกซึ่งติดตั้งอยู่ทางด้านข้างลำตัวของเครื่องบิน โดยความดันอากาศที่เข้าไปทางท่อสแตติกนี้จะเป็นความดันอากาศที่คงที่ ณ ความสูงใดๆ

เครื่องวัดที่อยู่ในกลุ่มเครื่องวัดปิโต-สแตติกได้แก่ เครื่องวัดความเร็วอากาศ ( Airspeed Indicator) เครื่องวัดความสูง( Altimeter )และเครื่องวัดอัตราไต่( Vertical Speed Indicator )ซึ่งมีหลักการทำงานดังต่อไปนี้

### 1. เครื่องวัดความเร็วอากาศ



รูปที่ 2.6 เครื่องวัดความเร็วอากาศ

จากรูปที่ 2.6 แสดงเครื่องวัดความเร็วอากาศเป็นเครื่องวัดที่แสดงถึงความเร็วของอากาศที่ไหลผ่านเครื่องบินซึ่งมีค่าเท่ากับความเร็วของเครื่องบินที่ผ่านอากาศโดยใช้หลักการเปรียบเทียบระหว่างความดันอากาศปิโตกับความดันสถิต ความแตกต่างของความดันอากาศทั้งสองนี้จะนำมาคำนวณหาค่าของความเร็วอากาศ มีเครื่องวัดความเร็วอากาศอีกชนิดหนึ่งคือความเร็วพื้น ( Ground Speed )คือความเร็วของเครื่องบินเมื่อเทียบกับเงาของเครื่องบินกับพื้นโลก โดยการปรับค่าความเร็วของลมที่มีผลต่อความเร็วที่เทียบกับพื้นโลกนี้ เช่น ถ้าเป็นลมตรงหน้าเครื่องก็จะช้าลง หากมีลมที่มาทางด้านท้ายเครื่องบินก็จะทำให้ความเร็วนี้เพิ่มขึ้น

### 2. เครื่องวัดความสูง



รูปที่ 2.7 เครื่องวัดความสูง



จากรูปที่ 2.7 แสดงเครื่องวัดความสูงสามารถทำงานโดยการรับรู้ความเปลี่ยนแปลงของความดันสถิตแล้วนำมาคำนวณความสูงโดยทั่วไปแล้วเครื่องวัดความสูงจะมีเข็มอยู่ 3 เข็ม เข็มยาวสุดจะแสดงความสูงในหลัก 100 ฟุต เข็มสั้นจะแสดงหลัก 1,000 ฟุตและเข็มสั้นที่สุดจะแสดงหลัก 10,000 ฟุต นอกจากนี้ยังมีปุ่มปรับความดันอากาศของเครื่องวัดเพื่อให้มีค่าที่ตรงกับค่าความดันสถิตบริเวณนั้นๆ เนื่องจากในแต่ละพื้นที่ความดันสถิต หรืออุณหภูมิจะไม่เท่ากันเสมอ ดังนั้นเราจึงต้องมีการปรับค่าความดันอากาศนี้ให้ถูกต้อง

### 3. เครื่องวัดอัตราไต่



รูปที่ 2.8 เครื่องวัดอัตราไต่

จากรูปที่ 2.8 แสดงเครื่องวัดอัตราไต่จะต่ออยู่กับท่อสแตติกโดยเครื่องวัดนี้จะรับรู้การเปลี่ยนแปลงของความดันสถิตแล้วแสดงค่าออกมาให้ทราบถึงท่าทางของเครื่องว่าขณะนี้กำลังอยู่ท่าไต่ขึ้น หรือร่อนลงโดยหน่วยที่แสดงออกมานี้จะมีหน่วยเป็นฟุตต่อนาที เช่น ขณะนี้กำลังไต่อยู่ที่ 500 ฟุตต่อนาที หรือหากเรารักษาท่าทางนี้ไว้ในทุก 1 นาที เราจะได้ความสูงเพิ่มขึ้นมา 500 ฟุต แต่เนื่องจากเครื่องวัดนี้อาศัยหลักการถ่ายเทความดันอากาศ ดังนั้นค่าที่อ่านได้จะช้ากว่าค่าที่เกิดขึ้นจริงอยู่ประมาณ 6-9 วินาที

#### 2.4.2. กลุ่มเครื่องวัดไจโรสโคป

กลุ่มเครื่องวัดไจโรสโคปเป็นกลุ่มเครื่องวัดที่ทำงานโดยอาศัยหลักการการหมุนของลูกข่างที่พยายามรักษาจุดเดิมของมันไว้ขณะหมุนอยู่ เมื่อมีแรงจากภายนอกมากระทำ กลุ่มเครื่องวัดไจโรสโคปประกอบด้วยเครื่องวัดทิศทางการบินและเครื่องวัดท่าทางการบิน

#### 1. เครื่องวัดท่าทางการบิน



รูปที่ 2.9 เครื่องวัดท่าทางการบิน

จากรูปที่ 2.9 แสดงเครื่องวัดท่าทางการบินจะแสดงท่าทางของเครื่องบิน โดยภายในจะมี ขอบฟ้าจำลองที่ใช้แทนขอบฟ้าจริงเพื่อให้ใช้แสดงในกรณีที่ต้องบินในขณะที่มีหมอก หรือ เวลา กลางคืน ที่ไม่สามารถมองเห็น ภายในเครื่องวัดจะแสดงมุมเงยและมุมม้วนตัว

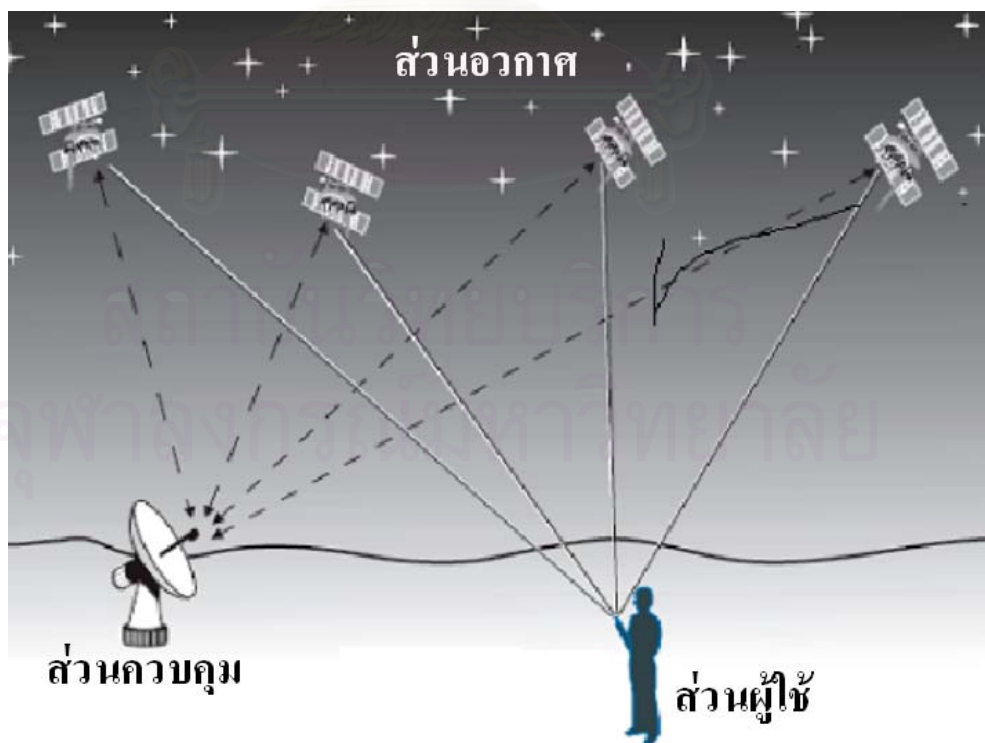
## 2. เครื่องวัดทิศทาง



รูปที่ 2.10 เครื่องวัดทิศทาง

จากรูปที่ 2.10 แสดงเครื่องวัดทิศทางเป็นเครื่องวัดการเคลื่อนไหวยางด้านข้างคือการ เบนของเครื่องบินรอบแกนตั้ง เครื่องวัดทิศทางนี้จะแสดงมุมต่างๆในช่วง 360 องศา โดยค่าที่ได้นี้ จะเป็นค่าที่บอกถึงทิศที่หัวเครื่องบินอยู่ ตัวเลขที่แสดงอยู่บนหน้าปัดจะแสดงโดยการตัดเลขศูนย์ ออก เช่น เลข 6 หมายถึง 60 องศา หรือ 12 หมายถึง 120 องศา

## 2.5. จีพีเอส(GPS)[6],[7],[8]



รูปที่ 2.11 องค์ประกอบของจีพีเอส

จากรูปที่ 2.11 จีพีเอสเป็นระบบที่ทำหน้าที่กำหนดตำแหน่งบนโลก โครงสร้างของจีพีเอสมีองค์ประกอบอยู่ด้วยกันสามส่วนได้แก่ ส่วนควบคุม ส่วนอวกาศและส่วนผู้ใช้

### 2.5.1. ส่วนควบคุม( Control Segment )

ส่วนควบคุมประกอบด้วยสถานีควบคุมและสถานีรับสัญญาณ สถานีควบคุมตั้งอยู่ที่ฐานทัพอากาศแพลคอน มลรัฐโคโลราโด ส่วนสถานีรับสัญญาณตั้งกระจายอยู่ทั่วโลกเช่น ที่ฐานทัพแพลคอน เกาะฮาวายในมหาสมุทรแปซิฟิก เกาะแอตแลนติกในมหาสมุทรแอตแลนติก หมู่เกาะดิเอโกกาเซีย ในมหาสมุทรอินเดียและบนเกาะในมหาสมุทรแปซิฟิกแถบใต้ สถานีรับสัญญาณเป็นระบบอัตโนมัติไม่มีเจ้าหน้าที่ประจำ อุปกรณ์จะส่งสัญญาณที่รับจากดาวเทียมไปยังสถานีควบคุมเพื่อแก้ไขวงโคจรเวลาแก้ไขหรือสลับเปลี่ยนกับดาวเทียมอะไหล่กรณีดาวเทียมหลักเสีย

### 2.5.2. ส่วนอวกาศ( Space Segment )

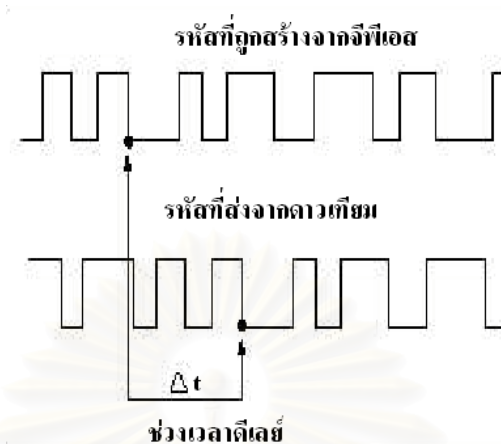
ในอวกาศมีดาวเทียมจีพีเอสทั้งสิ้น 24 ดวง ใช้งานจริง 21 ดวง ที่เหลืออีก 3 ดวงเป็นอะไหล่เผื่อดวงอื่นเสีย ดาวเทียมจีพีเอสแต่ละดวงมีอายุการใช้งานประมาณ 10 ปี โคจรในระดับสูง (High Orbit) ที่ระดับ 20,100 กิโลเมตร หมุนรอบโลกใช้เวลา 12 ชั่วโมง ดาวเทียมใช้กระแสไฟฟ้าจากแผ่นพลังงานแสงอาทิตย์และทุกดวงมีน้ำหนักประมาณ 4 เรือน

ดาวเทียมจีพีเอสส่งสัญญาณคลื่นวิทยุหลัก 2 ช่อง เรียกว่า L1 L2 พลเรือนจะสามารถรับได้เฉพาะช่อง L1 ที่ความถี่ 1575.42 เมกกะเฮิร์ตซ์ จัดอยู่ในช่องย่านความถี่สูงยิ่ง (UHF) ส่วน L2 กระจายเสียงที่ 1227.6 เมกกะเฮิร์ตซ์ ใช้ในงานทหารสหรัฐอเมริกาเท่านั้น สัญญาณที่ส่งจากดาวเทียมระยะทางไกลมีกำลังส่งเพียงแค่ 20-50 วัตต์เท่านั้น

คลื่นวิทยุ L1 ประกอบด้วยข้อมูล 3 ส่วนด้วยกันได้แก่

- **รหัสสุ่มแฝง(Pseudorandom Code)** เป็นรหัสประจำตัวแจ้งให้ทราบว่าดาวเทียมดวงไหนส่งข้อมูลให้กับเครื่องรับจีพีเอส
- **อัลมาแนค (Almanac)** เป็นสัญญาณข้อมูลที่ดาวเทียมแต่ละดวงและทุกๆดวงส่งให้กับเครื่องรับจีพีเอสบนโลกแจ้งถึงตำแหน่งคร่าวๆในวงโคจรของดาวเทียมทั้งหมดตลอดระยะเวลาของแต่ละวัน เครื่องรับจีพีเอสจะจัดเก็บข้อมูลเหล่านี้ซึ่งมีอายุใช้งานได้เป็นเดือนไว้ในหน่วยความจำ แต่หากเครื่องรับจีพีเอสปิดไม่ได้ใช้งานเป็นเวลานานจนกระทั่งอัลมาแนคหมดอายุก็จะต้องรอเป็นเวลานานกว่าจะรับข้อมูลใหม่บางครั้งอาจใช้เวลาถึงเกือบครึ่งชั่วโมง
- **อีเฟเมอริส (Ephemeris)** คือข้อมูลจำเพาะที่มีความแม่นยำสูงจึงมีอายุการใช้งานไม่เกิน 6 ชั่วโมงส่งอย่างต่อเนื่องจากดาวเทียมแต่ละดวง ประกอบไปด้วยข้อมูลวงโคจร สถานภาพของดาวเทียมและวันเวลาจากนาฬิกาปรมาณู สัญญาณนี้ถูกนำมาใช้ในการคำนวณหาตำแหน่งของเครื่องรับจีพีเอสบนโลก

2.5.3. ส่วนผู้ใช้( User Segment )

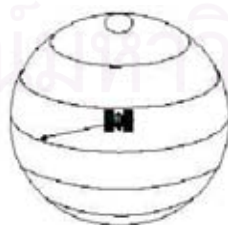


รูปที่ 2.12 ระยะเวลาการเดินทางของสัญญาณ

จากรูปที่ 2.12 เครื่องรับจีพีเอสสามารถคำนวณหาระยะห่างจากดาวเทียมถึงเครื่องรับ (Pseudo-Range) ได้จากการนำระยะเวลาการเดินทางของสัญญาณคูณกับการเคลื่อนที่ของสัญญาณวิทยุซึ่งเท่ากับความเร็วของแสงมีค่าเท่ากับ 186,000 ไมล์หรือ 300,000 กิโลเมตรต่อวินาทีดังสมการที่ 2.1

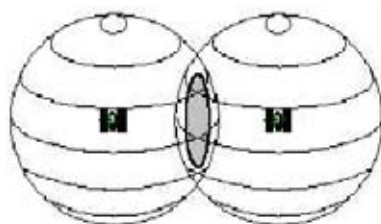
$$\text{ระยะทางจากดาวเทียมถึงเครื่องรับ} = \text{ความเร็วของแสง} \times \text{ระยะเวลาการเดินทางของสัญญาณ} \dots\dots\dots(2.1)$$

เมื่อเราเปิดเครื่องรับจีพีเอสเครื่องรับจีพีเอสได้รับข้อมูลอีเพเมอร์ริสที่ส่งต่อเนื่องซึ่งเป็นข้อมูลที่แสดงวันและเวลา เครื่องรับจีพีเอสจะนำเวลาภายในมาเปรียบเทียบกับเวลาที่เครื่องรับจีพีเอสได้รับ ส่วนต่างก็คือระยะเวลาการเดินทางของสัญญาณโดยเมื่อนำไปคูณกับความเร็วของแสงก็จะได้ระยะทางจากดาวเทียมถึงเครื่องรับจีพีเอส



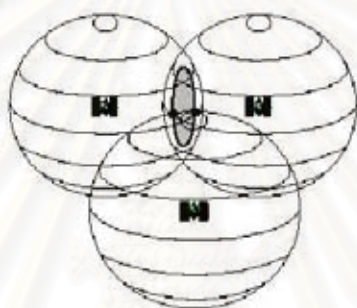
รูปที่ 2.13 สัญญาณที่เปล่งออกจากดาวเทียมเป็นรูปทรงกลม

จากรูปที่ 2.13 สมมุติว่าสัญญาณที่เปล่งออกจากดาวเทียมเป็นรูปทรงกลม โดยดาวเทียมอยู่ที่จุดศูนย์กลางมีรัศมีเท่ากับระยะทางจากดาวเทียมถึงเครื่องรับจีพีเอส



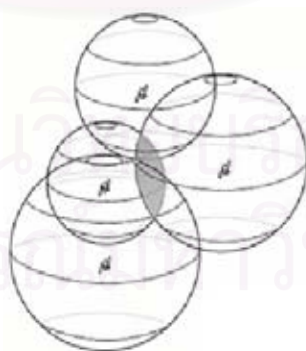
รูปที่ 2.14 การตัดกันของสัญญาณจากดาวเทียมสองดวง

จากรูปที่ 2.14 เมื่อมีสัญญาณจากดาวเทียมสองดวงตำแหน่งของเราบนผิวโลกจะอยู่ที่ใดที่หนึ่งในบริเวณที่สัญญาณตัดกัน



รูปที่ 2.15 การตัดกันของสัญญาณจากดาวเทียมสามดวง

จากรูปที่ 2.15 สัญญาณจากดาวเทียมสามดวงมีจุดตัดของวงกลมสองตำแหน่งเครื่องรับจีพีเอสสามารถหาพิกัดสองมิติได้



รูปที่ 2.16 การตัดกันของสัญญาณจากดาวเทียมสี่ดวง

จากรูปที่ 2.16 กรณีที่เครื่องรับจีพีเอสได้รับสัญญาณจากดาวเทียม 4 ดวง เครื่องรับจีพีเอสสามารถคำนวณพิกัดสามมิติได้ โดยเมื่อได้รับสัญญาณจากดาวเทียมมากกว่า 4 ดวงความแม่นยำในการคำนวณก็ยิ่งเพิ่มขึ้น หากเครื่องรับจีพีเอสรับสัญญาณได้สามดวงจะสามารถหาพิกัด

ได้เพียงสองมิติโดยความแม่นยำมีค่าประมาณ  $\pm 50$  เมตรไม่มีความสูง พอจับสัญญาณดวงที่สี่ได้ เครื่องรับจีพีเอสจะสามารถแสดงมิติที่สามคือความสูงได้ ยิ่งสามารถรับสัญญาณจากดาวเทียมมากกว่า 4 ดวงมากเท่าใด ความแม่นยำจะเพิ่มขึ้นเรื่อยๆจนกระทั่งเครื่องรับจีพีเอสสามารถรับสัญญาณจากดาวเทียมทุกดวงที่อยู่เหนือหัวและทำมุมยกจากขอบฟ้าไม่ต่ำกว่า 15 องศา จะมีความแม่นยำสูงสุด ความแม่นยำไม่ใช่ขึ้นอยู่กับจำนวนดาวเทียมที่รับสัญญาณได้เท่านั้นตำแหน่งของดาวเทียมบนฟากฟ้าก็มีผลด้วยเรียกว่าการเจือจางของความแม่นยำ(PDOP)หรืออัตราการคลาดเคลื่อน ยิ่งดาวเทียมห่างกันเท่าไรยิ่งดีเพราะจะทำให้การเจือจางของความแม่นยำน้อยลง ตำแหน่งที่ดีที่สุดได้แก่ดวงแรกอยู่เหนือหัว ที่เหลือกระจายห่างกัน 120 องศา

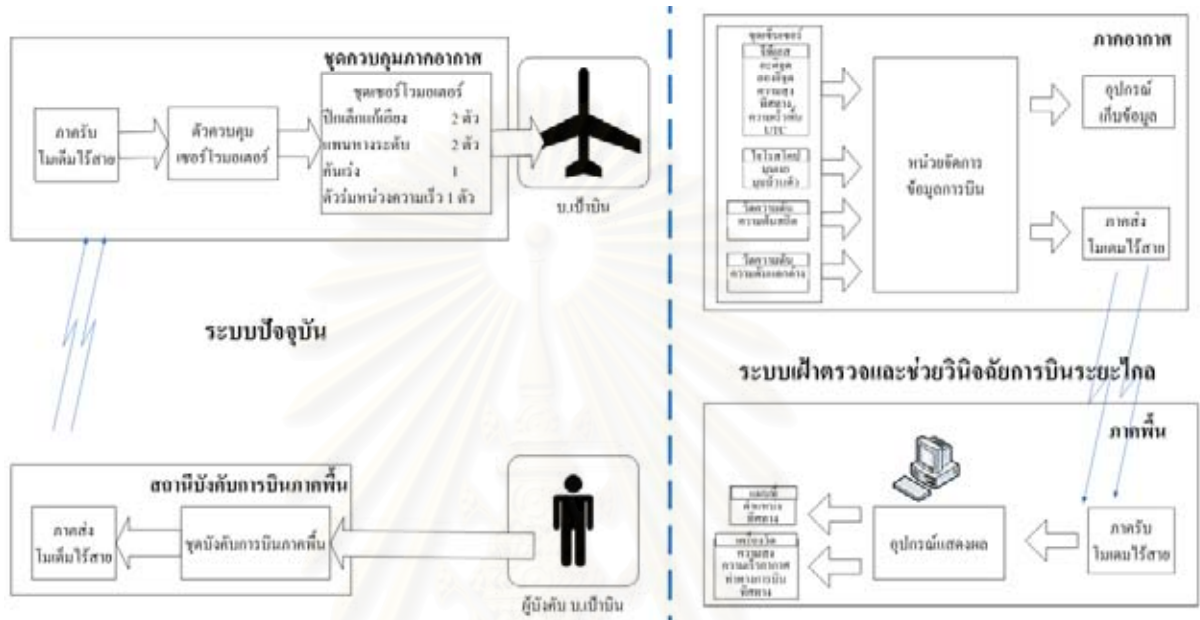


สถาบันวิทยบริการ  
จุฬาลงกรณ์มหาวิทยาลัย

### บทที่ 3

## โครงสร้างของระบบเฝ้าตรวจและช่วยวินิจฉัยการบินระยะไกล

### 3.1. โครงสร้างของระบบ



รูปที่ 3.1 โครงสร้างของระบบเฝ้าตรวจและช่วยวินิจฉัยการบินระยะไกล

จากรูปที่ 3.1 แสดงระบบเฝ้าตรวจและช่วยวินิจฉัยการบินระยะไกลซึ่งพัฒนาขึ้นมาใหม่โดยเพิ่มขีดความสามารถในการควบคุม. เป้าบินให้กับผู้บังคับ. เป้าบิน โดยจะเพิ่มขีดระยะทางการควบคุมให้ไกลขึ้นจากเดิมที่สามารถควบคุมได้เพียงระยะที่ตาผู้บังคับ. เป้าบินมองเห็นประมาณ 2 กิโลเมตรและยังมีการเก็บข้อมูลการบินเพื่อช่วยในการวินิจฉัยการบินได้อีกด้วย ระบบแสดงผลและช่วยวินิจฉัยการบินระยะไกลประกอบด้วย 2 ภาคคือ ภาคอากาศและภาคพื้น

#### 3.1.1. ภาคอากาศ

ในภาคอากาศประกอบด้วยชุดเซ็นเซอร์ หน่วยจัดการข้อมูลการบิน (Flight Data Management Unit) อุปกรณ์เก็บข้อมูล (Data Storage Device) และภาคส่งโมเด็มไร้สาย (Radio Modem Transmitter) ชุดเซ็นเซอร์ประกอบด้วย จีพีเอส ไจโรสโคปและทรานส์มิทเซอร์วัดความดันอากาศจำนวน 2 ตัว

##### 1. จีพีเอส

จีพีเอสทำหน้าที่รับสัญญาณจากดาวเทียมแล้วคำนวณหาตำแหน่งเพื่อส่งให้กับหน่วยจัดการข้อมูลการบินข้อมูลที่ได้รับได้แก่ ละติจูด ลองจิจูด ความเร็วพื้น ทิศทางการบินและความสูง

## 2. ใจโรคโคป

ด้วยคุณสมบัติของใจโรคโคปที่พยามรักษาจุดเดิมของมันไว้เมื่อแกนภายในหมุนอยู่ เมื่อเกิดการเปลี่ยนแปลงของท่าทางการบินจึงทำให้เกิดการเปลี่ยนแปลงมุมม้วนตัวและมุมเงย ใจโรคโคปจะส่งค่ามุมม้วนตัวและมุมเงยไปยังหน่วยจัดการข้อมูลการบิน

## 3. ทรานส์ดีวเซอร์วัดความดันอากาศ

ทรานส์ดีวเซอร์วัดความดันอากาศตัวแรกให้ข้อมูลของค่าความดันสถิตหน่วยเป็นนิ้วปรอท ทรานส์ดีวเซอร์วัดความดันอากาศตัวที่สองจะให้ข้อมูลของค่าความดันแตกต่างคือความแตกต่างระหว่างความดันอากาศปีโตและความดันสถิตหน่วยเป็นนิ้วปรอท

## 4. หน่วยจัดการข้อมูลการบิน

หน่วยจัดการข้อมูลการบินจะนำข้อมูลที่ได้จากชุดเซ็นเซอร์มาสร้างโปรโตคอลใหม่เรียกว่าโปรโตคอลข้อมูลการบิน( Flight Data Protocol )โปรโตคอลข้อมูลการบินที่ได้ส่วนหนึ่งจะถูกเก็บลงในอุปกรณ์เก็บข้อมูล อีกส่วนหนึ่งจะถูกส่งไปยังภาคส่งโมเด็มไร้สาย

## 5. อุปกรณ์เก็บข้อมูลการบิน

เพื่อให้สามารถวินิจฉัยการบินของผู้บังคับ. เป้าบินได้จึงได้ติดตั้งอุปกรณ์เก็บข้อมูลการบินเพื่อทำหน้าที่เก็บข้อมูลการบินที่ส่งมาจากหน่วยจัดการข้อมูลการบินและอุปกรณ์เก็บข้อมูลนี้ยังสามารถเก็บข้อมูลได้ในกรณีที่การสื่อสารไร้สายขัดข้องซึ่งมีผลให้อุปกรณ์แสดงผลซึ่งอยู่ภาคพื้นไม่สามารถรับโปรโตคอลข้อมูลการบินได้

## 6. ภาคส่งโมเด็มไร้สาย

ภาคส่งโมเด็มไร้สายทำหน้าที่แปลงข้อมูลการบินให้กลายเป็นสัญญาณวิทยุเพื่อให้สามารถส่งข้อมูลแบบไร้สายได้

### 3.1 .2. ภาคพื้น

ภาคพื้นประกอบด้วยภาครับโมเด็มไร้สาย( Radio Modem Receiver )และอุปกรณ์แสดงผล

#### 1. ภาครับโมเด็มไร้สาย

ภาครับโมเด็มไร้สายจะแปลงสัญญาณวิทยุที่รับได้จากภาคส่งโมเด็มไร้สายกลับไปเป็นข้อมูลการบินเพื่อส่งไปประมวลผลในอุปกรณ์แสดงผล

#### 2. อุปกรณ์แสดงผล

อุปกรณ์แสดงผลทำหน้าที่ในการแสดงผลโดยจะแสดงเป็นแผนที่และเครื่องวัดประกอบการบิน ส่วนของแผนที่จะแสดงตำแหน่งและทิศทาง ส่วนของเครื่องวัดประกอบการบินจะแสดงเป็นเครื่องวัดความสูง เครื่องวัดความเร็วอากาศ เครื่องวัดท่าทางการบินและเครื่องวัดทิศทางการบินเพื่อเป็นเครื่องช่วยในการบังคับ. เป้าบินให้กับผู้บังคับ. เป้าบิน



## 3.2. คุณสมบัติของระบบ

### 3.2 .1. คุณสมบัติของระบบภาคอากาศ

#### 1. เซ็นเซอร์

เนื่องจากขณะทำการบินค่าตัวแปรที่ต้องการวัดมีการเปลี่ยนแปลง ดังนั้น เซ็นเซอร์ต้องตอบสนองต่อการเปลี่ยนแปลงทางกายภาพของบ.เป่าบินได้ไวพอ เซ็นเซอร์ต่างๆที่เลือกใช้ต้องมีคุณสมบัติสำคัญดังนี้

- ทรานส์ดิวเซอร์วัดความดันสถิตและความดันแตกต่างต้องให้ความแม่นยำของการอ่านค่าความดันอากาศอย่างน้อย 0.02 psi และความถี่ในการอัปเดตข้อมูลอย่างน้อย 100 เฮิร์ตซ์
- ไจโรสโคปต้องมีความละเอียดในการอ่านค่ามุมเงยและมุมม้วนตัวอย่างน้อย 0.01 องศา และความถี่ในการอัปเดตข้อมูลอย่างน้อย 50 เฮิร์ตซ์
- จีพีเอสจะต้องให้ความแม่นยำของตำแหน่งอย่างน้อย  $\pm 20$  เมตร

#### 2. หน่วยจัดการข้อมูลการบิน

- สามารถเชื่อมต่อกับเซ็นเซอร์ โมเด็มไร้สายและอุปกรณ์เก็บข้อมูลซึ่งมีลักษณะการสื่อสารที่แตกต่างกันได้
- มีการเข้ารหัสแก้ไขความผิดพลาด ( Forward Error Correcting Code ) เพื่อแก้ไขความผิดพลาดที่อาจเกิดขึ้นในการสื่อสารไร้สาย โดยรหัสจะต้องสามารถตรวจจับความผิดพลาดและสามารถแก้ไขข้อมูลที่ผิดพลาดได้ไม่น้อยกว่า 2 สัญลักษณ์เมื่อแต่ละสัญลักษณ์มีขนาด 4 บิต

#### 3. อุปกรณ์เก็บข้อมูล

- ในการทำการบินนั้นใช้เวลาประมาณ 1 ถึง 2 ชั่วโมง การเก็บข้อมูลจึงควรจะเก็บข้อมูลได้ที่ละมากๆไม่ต่ำกว่า 2 ชั่วโมง

#### 4. ภาคส่งโมเด็มไร้สาย

- สามารถสื่อสารได้ไกลกว่าระยะสายตาโดยจะต้องสื่อสารในระยะไม่น้อยกว่า 8 กิโลเมตร

### 3.2 .2. คุณสมบัติของระบบภาคพื้น

#### 1. ภาครับโมเด็มไร้สาย

- สามารถรับสัญญาณจากภาคส่งโมเด็มไร้สายในระยะไม่น้อยกว่า 8 กิโลเมตร

## 2. อุปกรณ์แสดงผล

- แสดงผลผ่านจอมอนิเตอร์โดยแบ่งเป็น 2 ส่วนคือการแสดงแผนที่และการแสดงเครื่องวัดประกอบการบิน
- แผนที่ต้องมีความละเอียดอย่างน้อย 100 X 100 จุดต่อนิ้ว
- การแสดงผลเครื่องวัดประกอบการบินประกอบด้วย เครื่องวัดความสูง เครื่องวัดความเร็วอากาศ เครื่องวัดท่าทางการบินและเครื่องวัดทิศทางการบินเป็นต้น
- มอนิเตอร์ของอุปกรณ์แสดงผลจะต้องมีขนาดอย่างน้อย 15 นิ้ว
- ความละเอียดการแสดงผลกราฟฟิกส์อย่างน้อย 800 X 600 พิกเซลล์
- สามารถเก็บข้อมูลการบินลงในฮาร์ดดิสก์เพื่อใช้ในการวิเคราะห์การทำงานได้
- สามารถอ่านข้อมูลที่ถูกบันทึกจากอุปกรณ์เก็บข้อมูลการบินที่อยู่ในภาคอากาศ

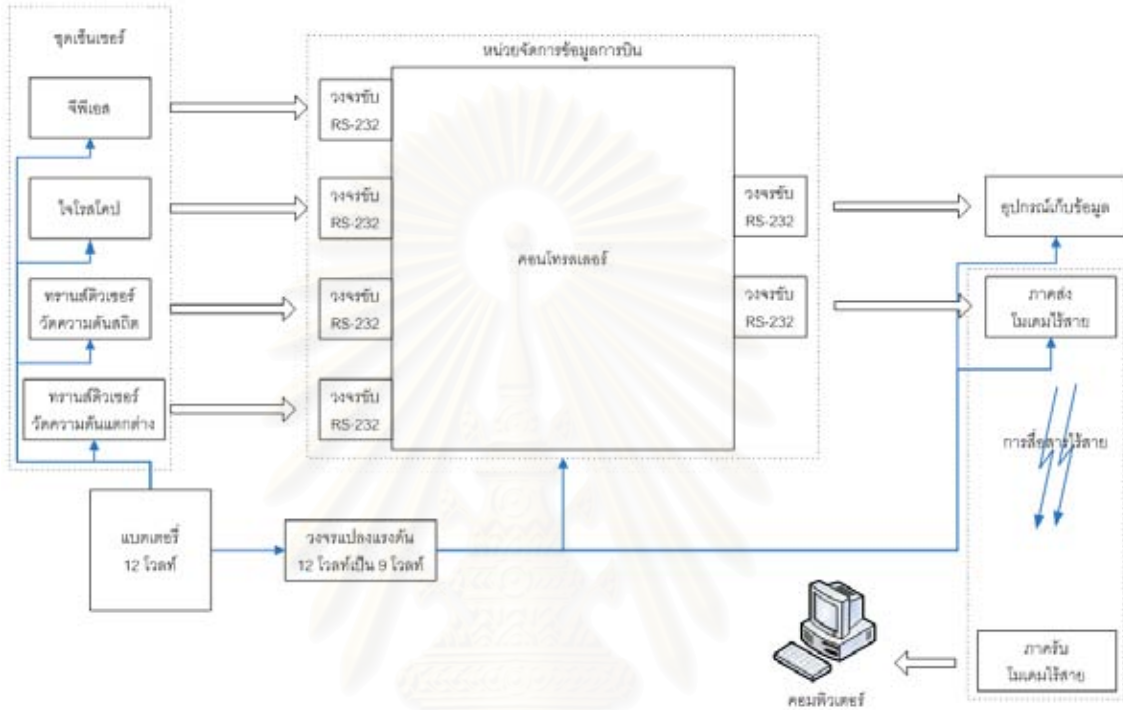


สถาบันวิทยบริการ  
จุฬาลงกรณ์มหาวิทยาลัย

## บทที่ 4

### โครงสร้างทางฮาร์ดแวร์และการออกแบบ

#### 4.1. โครงสร้างทางฮาร์ดแวร์



รูปที่ 4.1 โครงสร้างทางฮาร์ดแวร์

จากรูปที่ 4.1 แสดงโครงสร้างทางฮาร์ดแวร์ของระบบเฝ้าตรวจและช่วยวินิจฉัยการบิน ระยะไกลประกอบด้วย จีพีเอส, ไจโรสโคป, ทรานส์ดีวเซอร์วัดความดันสถิตและความดันแตกต่าง วงจรรับ RS-232, คอนโทรลเลอร์, อุปกรณ์เก็บข้อมูล, ภาคส่งโมเด็มไร้สาย, ภาครับโมเด็มไร้สาย และคอมพิวเตอร์ นอกจากนี้ภาคอากาศยังต้องมีวงจรแปลงแรงดันและแบตเตอรี่

เนื่องจากจีพีเอส, ไจโรสโคป, ทรานส์ดีวเซอร์วัดความดันอากาศ, อุปกรณ์บันทึกข้อมูล และภาคส่งโมเด็มไร้สายเชื่อมต่อกับคอนโทรลเลอร์ด้วยการติดต่อสื่อสารอนุกรมอะซิงโครนัส ระดับสัญญาณ  $\pm 12$  โวลต์ แต่เนื่องจากชิปคอนโทรลเลอร์สามารถรับแรงดันได้ในช่วง 0 ถึง 3 โวลต์ ดังนั้นจึงต้องมีวงจรรับ RS-232 เพื่อทำหน้าที่ในการปรับแรงดันไฟให้เข้ากัน แรงดันไฟที่เลี้ยง จีพีเอส, ไจโรสโคป และทรานส์ดีวเซอร์ใช้แรงดันไฟฟ้า จากแบตเตอรี่ 12 โวลต์ ส่วนอุปกรณ์บันทึกข้อมูลคอนโทรลเลอร์และภาคส่งโมเด็มไร้สายใช้แรงดันไฟฟ้า 9 โวลต์ จึงต้องสร้างวงจรแปลงแรงดันไฟฟ้า 12 โวลต์ เป็น 9 โวลต์ ส่วนการแสดงผลใช้คอมพิวเตอร์รับสัญญาณจากโมเด็มไร้สายโดยผ่านการสื่อสารอะซิงโครนัส

## 4.2. รายละเอียดของอุปกรณ์

### 4.2.1. จีพีเอส



รูปที่ 4.2 จีพีเอส รุ่น GPS 35LP ผลิตโดยบริษัท การ์มินท์ จำกัด

คุณสมบัติที่สำคัญในการเลือกใช้จีพีเอสคือความแม่นยำในบอกตำแหน่งซึ่งเป็นผลมาจากจำนวนของสัญญาณซึ่งเป็นความสามารถของจีพีเอสแต่ละตัว จีพีเอสที่เลือกใช้จะต้องมีความสะดวกในการที่จะนำมาพัฒนาโปรแกรมและมีโปรโตคอลที่เป็นมาตรฐานคือเมื่อผู้พัฒนาเปลี่ยนเป็นจีพีเอสรุ่นอื่นก็ยังสามารถที่จะใช้ซอฟต์แวร์ที่พัฒนามาใช้งานโดยไม่ต้องเปลี่ยนแปลงมากนัก จากรูปที่ 4.2 แสดงจีพีเอสรุ่น GPS35LP ผลิตโดยบริษัท การ์มินท์ จำกัด (ดูภาคผนวก ก.1 ) สามารถรับสัญญาณดาวเทียมได้มากถึง 12 ดวงทำให้มีความแม่นยำของตำแหน่งถึง  $\pm 15$  เมตร และ  $\pm 5$  เมตรดิฟเฟอเรนเชียลจีพีเอส ความแม่นยำในการวัดความเร็ว  $\pm 0.2$  เมตรต่อวินาที อัปเดตข้อมูลทุกๆ 1 วินาที ชีตจำกัดความเร็ว 999 น็อตส์ ชีตจำกัดความเร่ง 6g เอาต์พุตเป็นสัญญาณดิจิตอลมาตรฐาน RS-232 บอดเรต 4,800 บิตต่อวินาที รูปแบบโปรโตคอลตามมาตรฐาน NMEA-0183 ใช้แรงดันไฟฟ้าสูงสุด 6 โวลท์

### 4.2.2. ใจโรสโคป



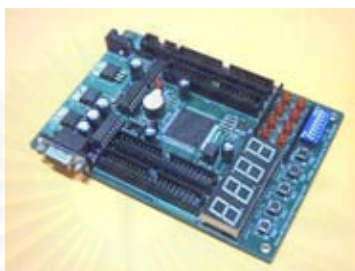
รูปที่ 4.3 ใจโรสโคป VG400CA ผลิตโดย บริษัท ครอสโบว์เทคโนโลยี จำกัด

เนื่องจากการทำการบินนั้นบ.เป่าบินมีการเปลี่ยนแปลงลักษณะท่าทางตลอดเวลา ดังนั้นคุณสมบัติที่สำคัญในการเลือกใช้ใจโรสโคปก็คือการให้การตอบสนองต่อการเปลี่ยนแปลงทางพลวัต การส่งข้อมูลจากใจโรสโคปจะต้องมีความถี่ในการส่งข้อมูลในแต่ละเฟรมที่สูงที่สุด ต้อง



ในการติดต่อสื่อสารระหว่าง เซ็นเซอร์ อุปกรณ์เก็บข้อมูลและโมเด็มไร้สายนั้นใช้การสื่อสารอนุกรมอะซิงโครนัสดังนั้นจึงต้องสร้างวงจรรับ RS-232 โดยใช้ ชิพเบอร์ MAX-232 ดังรูปที่ 4.5 ผลิตโดย บริษัท แม็กซิม จำกัด( ดูภาคผนวก ก.4 )ชิพหนึ่งตัวสามารถบริการได้ทั้งรับและส่งข้อมูล ใช้แรงดันไฟฟ้าจากบอร์ดพัฒนาเอฟพีจีเอ 3 โวลท์

#### 4.2.5. คอนโทรลเลอร์



รูปที่ 4.6 บอร์ดเอฟพีจีเอ รุ่น Discovery-III XC3S200 ผลิตโดยบริษัท เอเพ็กอินสทลูเมนท์ จำกัด

เนื่องจากชิพเอฟพีจีเอเมื่อเปรียบเทียบกับไมโครคอนโทรลเลอร์แล้วมีข้อดีมากกว่าในหลายด้านคือมีความเร็วในการทำงานสูง ใช้พลังงานน้อย การใช้ภาษา VHDL ในการพัฒนาซึ่งผู้ใช้สามารถเลือกได้ว่า จะออกแบบเชิงดิจิทัลหรือออกแบบเชิงซอฟต์แวร์และสามารถตรวจสอบการทำงานแต่ละฟังก์ชันได้ง่ายด้วยโปรแกรมที่มีอยู่มากและทำให้ผู้พัฒนามีความรู้ลึกถึงระดับการสร้างชิพมากกว่า แต่ชิพเอฟพีจีเอก็มีข้อเสียคือเมื่อไม่มีไฟเลี้ยงโปรแกรมที่ถูกสร้างขึ้นก็จะหายไป แต่ปัจจุบันมีบอร์ดพัฒนาบางรุ่นมีชิพ Serial PROM ทำหน้าที่เก็บข้อมูลที่อยู่ในเอฟพีจีเอเมื่อไม่มีไฟเลี้ยง จากรูปที่ 4.6 แสดงบอร์ดเอฟพีจีเอ รุ่น Discovery-III XC3S200 ผลิตโดยบริษัท เอเพ็กอินสทลูเมนท์ จำกัด( ดูภาคผนวก ก.5 ) ซึ่งภายในบรรจุชิพเอฟพีจีเอรุ่น XC3S200 ของบริษัทไซลิงก์ จำกัด ขนาดความจุวงจร 200,000 เกตและยังมีชิพ Serial PROM เบอร์ XCF01S1 ใช้แรงดันเลี้ยงในวงจร 9 โวลท์ ออสซิลเลเตอร์ภายในความถี่ 25 เมกกะเฮิร์ตซ์

#### 4.2.6. อุปกรณ์เก็บข้อมูล



รูปที่ 4.7 บอร์ดบันทึกข้อมูล Compact Flash รุ่น ET-CFM V1.0 ของบริษัท อีทีที

ในการทำการบินจะต้องมีอุปกรณ์ในการเก็บข้อมูลการบิน ซึ่งในบางครั้งต้องใช้เวลาในการทำการบินประมาณ 2 ชั่วโมง ( 7,200 วินาที) ซึ่งข้อมูลที่ส่งจากหน่วยจัดการข้อมูลการบินจะถูกส่งด้วยอัตรา 9,600 บิตต่อวินาที ข้อมูลการบินมีขนาด 50 ไบต์ หรือ 550 บิต ดังนั้นในการส่งข้อมูล 1 ครั้งใช้เวลาประมาณ 57 มิลลิวินาที ดังนั้น 2 ชั่วโมงสามารถส่งได้ 126316 ครั้ง เป็นจำนวน 6 เมกกะไบต์ ซึ่งไม่เหมาะกับการใช้ชิปหน่วยความจำ อุปกรณ์เก็บข้อมูลควรจะเก็บข้อมูลได้มากและควรจะง่ายต่อการติดต่อสื่อสารกับคอนโทรลเลอร์ อุปกรณ์เก็บข้อมูลที่นำมาใช้พัฒนาจึงเลือกที่จะบันทึกข้อมูลด้วยการจัดหน่วยความจำแฟลช จากรูปที่ 4.7 แสดงบอร์ดบันทึกข้อมูล Compact Flash รุ่น ET-CFM V1.0 ของบริษัท อีทีที จำกัด (ดูภาคผนวก ก.6) สามารถใช้งานร่วมกับหน่วยความจำแบบ Compact Flash ได้สูงสุดถึง 4 กิกะไบต์ บันทึกข้อมูลในระบบไฟล์ FAT16 ติดต่อสื่อสารแบบอนุกรม ผ่านทางพอร์ต RS-232 บอดเรต 9,600 บิตต่อวินาที ใช้แรงดันเลี้ยงในวงจร 9 ถึง 12 โวลท์

#### 4.2.7. ภาครับและภาคส่งโมเด็มไร้สาย



รูปที่ 4.8 โมเด็มไร้สายรุ่น XTend-PKG-R ผลิตโดยบริษัท แม็กสตรีม จำกัด

ในการทำการบินของบ.เป้าบินนั้นจะต้องไปไกลสุดประมาณ 8 กิโลเมตรซึ่งถ้าใช้โมเด็มไร้สายมีคุณภาพการรับส่งข้อมูลที่ไม่ดีก็จะมีผลต่อข้อมูลที่ได้รับเพื่อนำมาแสดงผลที่อุปกรณ์แสดงผลการบิน ดังนั้นโมเด็มไร้สายที่จะนำมาใช้ควรจะมีความสามารถในการรับและส่งข้อมูลได้ไกลไม่ต่ำกว่า 8 กิโลเมตร จากรูปที่ 4.8 แสดงโมเด็มไร้สายรุ่น XTend-PKG-R ผลิตโดยบริษัท แม็กสตรีม จำกัด (ดูภาคผนวก ก.7) โดยทำงานด้วย ความถี่ย่าน 902 ถึง 928 เมกกะเฮิร์ตซ์ มอดดูเลตแบบ FSK รับส่งข้อมูลกับอุปกรณ์ภายนอกด้วยมาตรฐาน RS-232 อัตราบอด 9,600 บิตต่อวินาที ส่งข้อมูลด้วยกำลังสูงสุด 1 วัตต์ หากส่งข้อมูลบริเวณกลางแจ้ง ด้วยเสาสัญญาณแบบไดโพล สามารถรับส่งข้อมูลได้ไกลถึง 22 กิโลเมตร ความไวต่อการรับสัญญาณที่ -110 dBm

#### 4.2.8. วงจรแปลงแรงดัน(ดูภาคผนวก ข.2)

เนื่องจากแรงดันที่ใช้เลี้ยงในอุปกรณ์ทุกตัวได้จาก แบตเตอรี่ ขนาดแรงดัน 12 โวลท์ แต่ในอุปกรณ์เก็บข้อมูลและบอร์ดเอฟพีจีเอต้องการแรงดันเลี้ยงวงจรขนาด 9 โวลท์ จึงต้องสร้างวง

จรับแรงดันไฟกระแสตรงจาก 12 โวลต์ไปเป็น 9 โวลต์ โดยวงจรขาออกสามารถขับกระแสได้สูงสุด 1 แอมแปร์

#### 4.2.9. คอมพิวเตอร์

เนื่องจากการทดสอบ.เข้าบินต้องใช้เวลาดทดสอบเป็นเวลานานและต้องแสดงผลเป็นกราฟฟิกส์ ดังนั้นคอมพิวเตอร์ที่จะใช้ในการทดสอบจึงต้องมีความจุฮาร์ดดิสก์มาก มีความสามารถในการแสดงผลกราฟฟิกส์สูง



รูปที่ 4.9 แสดงคอมพิวเตอร์ที่ใช้เป็นอุปกรณ์แสดงผล

จากรูปที่ 4.9 แสดงคอมพิวเตอร์ที่ใช้สำหรับพัฒนาซอฟต์แวร์ระบบซึ่งมีคุณสมบัติดังนี้

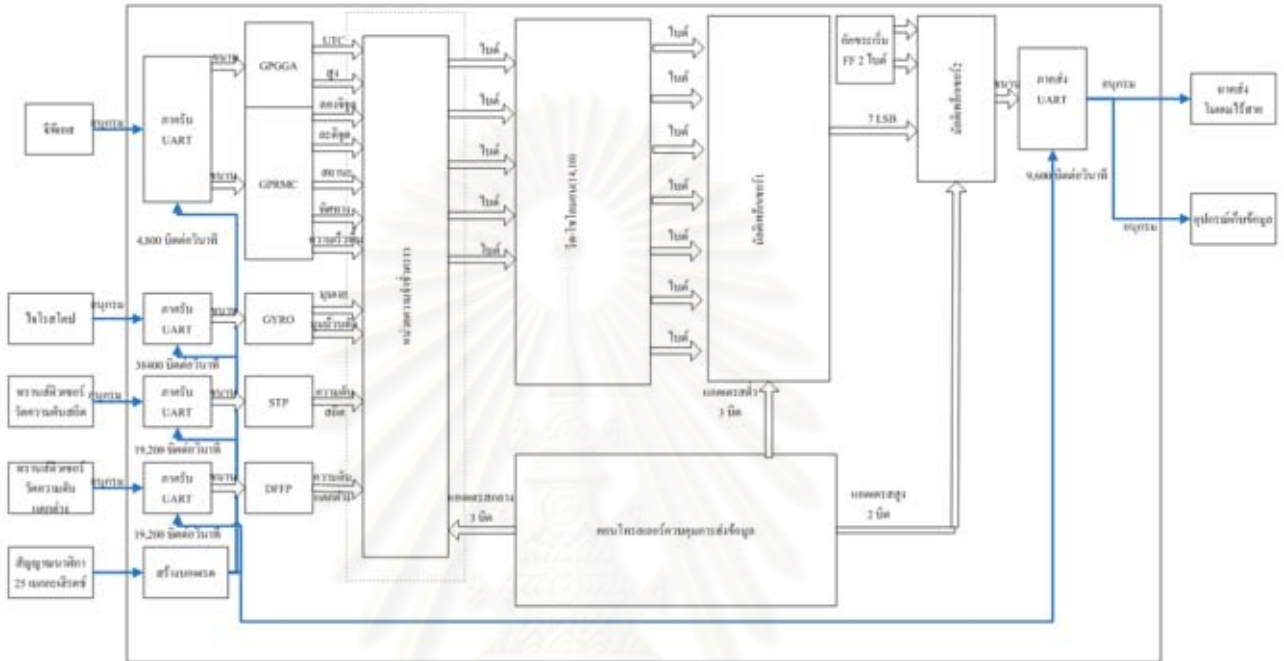
- สถาปัตยกรรม Pentium IV
- หน่วยความจำแรม 256 เมกะไบต์
- ฮาร์ดดิสก์ความจุ 20 กิกะไบต์
- ขนาดจอภาพ 17 นิ้ว
- ความละเอียดของจอภาพ 1,024 x 768 พิกเซลล์
- อุปกรณ์ต่อพ่วงเช่น เม้าส์ คีย์บอร์ด
- ระบบปฏิบัติการ Windows XP
- ซอฟต์แวร์แสดงผลแผนที่ MapInfo MapX
- ซอฟต์แวร์แสดงผลเครื่องวัดประกอบการบิน GMS Aircraft Instrument
- การ์ดจอรุ่น ซีฟอรัล



## บทที่ 5

### การออกแบบและพัฒนาโปรแกรม

#### 5.1. การออกแบบโปรแกรมคอนโทรลเลอร์



รูปที่ 5.1 โครงสร้างภายในคอนโทรลเลอร์

จากรูปที่ 5.1 แสดงโครงสร้างภายในคอนโทรลเลอร์ โดยคอนโทรลเลอร์ที่ใช้เป็นบอร์ดเอพพีจีเอรุ่น Discovery-III XC3S200 ข้อมูลจากจีพีเอส ใจโรสโคปและทรานส์ดิวเซอร์วัดความดันอากาศถูกส่งให้กับคอนโทรลเลอร์ด้วยการสื่อสารอนุกรม อะซิงโครนัสที่มีบอดเรต 4,800 38,400 และ 19,200 บิตต่อวินาทีตามลำดับผ่านวงจรรับ RS-232 ซึ่งจะส่งต่อสัญญาณไปยังภาครับของโมดูล UART ข้อมูลที่เข้ามาแบบอนุกรมมีขนาด 10 บิตคือ บิตเริ่ม 1 บิต บิตข้อมูล 8 บิตและบิตหยุด 1 บิต จากนั้นคอนโทรลเลอร์จะตัดบิตเริ่มและบิตหยุดทิ้งแล้วส่งเฉพาะบิตข้อมูลเป็นข้อมูลแบบขนานขนาด 8 บิต โดยมีโมดูลกำเนิดบอดเรตเป็นตัวควบคุมเวลาของโมดูล UART ข้อมูลขนาด 8 บิตนี้จะส่งไปยังโมดูล GPGGA GPRMC GYRO STP DFFP โมดูล GPGGA และ GPRMC เป็นโมดูลถอดรหัสจีพีเอสแบบ GGA และ RMC โดยโมดูล GPGGA รับข้อมูล ความสูงและค่าเวลามาตรฐาน โมดูล GPRMC รับข้อมูลของ ละติจูด ลองจิจูด ทิศทางการบิน ความเร็วพื้น โมดูล GYRO เป็นโมดูลถอดรหัสใจโรสโคปโดยรับข้อมูล มุมม้วนตัวและมุมงย โมดูล STP เป็นโมดูลถอดรหัสทรานส์ดิวเซอร์วัดความดันสถิตและโมดูล DFFP เป็นโมดูลถอดรหัสทรานส์ดิวเซอร์วัดความดันแตกต่าง ข้อมูลที่ถอดได้ทั้งหมดจะถูกพักไว้ที่หน่วยความจำชั่วคราวสำหรับเก็บ

ข้อมูลการบิน จากนั้นโมดูลคอนโทรลเลอร์ควบคุมการส่งข้อมูลจะควบคุมให้หน่วยความจำชั่วคราวส่งข้อมูลที่ละ 5 ไบต์ไปยังโมดูลเข้ารหัสรีด-ไซโลมอน(14, 10)ข้อมูลที่ออกจะมีจำนวน 7 ไบต์ คือข้อมูลที่เข้ามาจำนวน 5 ไบต์และไบต์ตรวจสอบจำนวน 2 ไบต์ จากนั้นคอนโทรลเลอร์ควบคุมการส่งข้อมูลจะควบคุมให้ข้อมูล 7 ไบต์ผ่านโมดูลมัลติเพล็กซ์เพื่อแยกข้อมูลให้ส่งออกมา 1 ไบต์ไปยังภาคส่งของโมดูล UART โดยผ่านวงจรรับ RS-232 ภาคส่งของโมดูล UART จะเปลี่ยนข้อมูลขนานขนาด 8 บิต เป็นข้อมูลอนุกรมขนาด 11 บิตคือบิตเริ่ม 1 บิต บิตข้อมูล 8 บิตและบิตหยุด 2 บิต ในการส่งข้อมูลการบินนั้นโพรโตคอลจะขึ้นต้นไบต์เริ่มด้วยค่า FF ซึ่งเป็นเลขฐานสิบหกจำนวน 2 ไบต์ ข้อมูลการบินตามโพรโตคอลนี้จะส่งไปยังโมเด็มไร้สายและอุปกรณ์เก็บข้อมูล

การพัฒนาซอฟต์แวร์เอพีจีเอในวิทยานิพนธ์นี้พัฒนาจากภาษาวีเอชดีแอล รายละเอียดของโปรแกรมมีดังนี้

#### 5.1.1. โมดูลกำเนิดบอดเรต

ในการรับส่งข้อมูลอนุกรมแบบอะซิงโครนัสนั้นต้องใช้บอดเรตจำนวน 4 อัตราเพื่อใช้ในการควบคุมการรับส่งข้อมูลโดยบอร์ดพัฒนา เอพีจีเอ ที่นำมาใช้พัฒนานี้ได้ติดตั้งคริสตัลออกสซิลเลเตอร์ให้ความถี่ของสัญญาณนาฬิกาที่ 25 เมกกะเฮิร์ต(คาบเวลาของสัญญาณนาฬิกามีค่าเท่ากับ 40 นาโนวินาที) การสร้างโมดูลสร้างบอดเรตสามารถสร้างขึ้นได้จากสมการ 5.1 และสามารถสรุปเป็นตารางการคำนวณหาจำนวนนาฬิกาตั้ง

$$\text{จำนวนนาฬิกา} = \frac{\text{คาบเวลาของบอดเรต}}{\text{คาบเวลาของสัญญาณนาฬิกา}} \dots\dots(5.1)$$

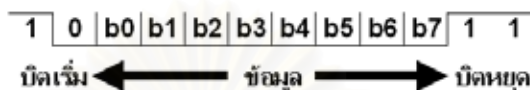
สรุปเป็นตารางการคำนวณหาจำนวนนาฬิกาเพื่อใช้สร้างบอดเรตดังตารางที่ 5.1

ตารางที่ 5.1 ตารางสรุปการคำนวณหาจำนวนนาฬิกาเพื่อใช้สร้างบอดเรต

บอดเรต(บิตต่อวินาที)	คาบเวลาของบอดเรต(มิลลิวินาที)	จำนวนนาฬิกา(พัลส์)
4, 800	0.208333	5208
9, 600	0.104167	2604
19, 200	0.052083	1302
38, 400	0.026042	651

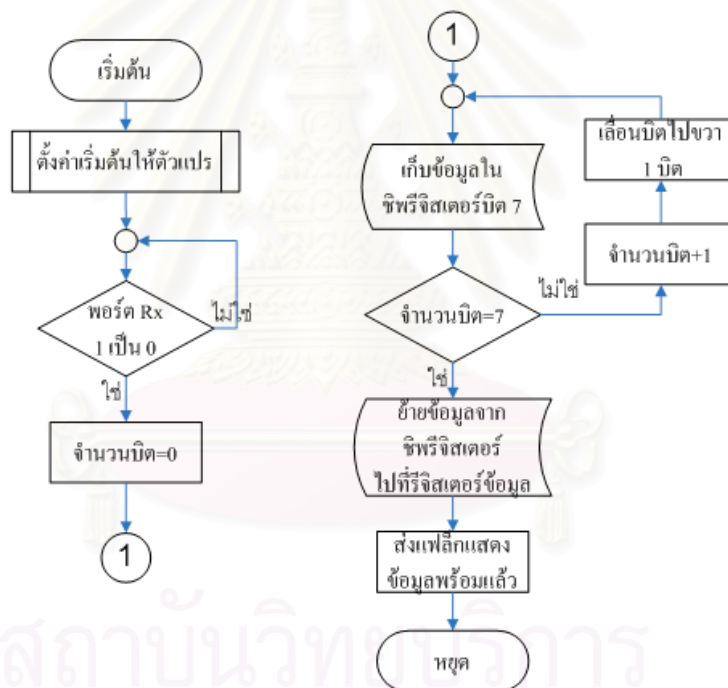
### 5.1.2. โมดูลการสื่อสารอนุกรมอะซิงโครนัส( UART ) [9]

โมดูลการสื่อสารอนุกรมอะซิงโครนัสแบ่งออกเป็น ภาครับและภาคส่ง โดยลักษณะข้อมูลอนุกรมอะซิงโครนัสประกอบด้วย บิตเริ่ม บิตข้อมูลและบิตปิด โดยบิตเริ่มคือบิตที่เปลี่ยนจากสถานะ 1 เป็น 0 และบิตหยุดมีสถานะเป็น 1 บิตที่อยู่ระหว่าง บิตเริ่มและบิตหยุดจำนวน 8 บิตเป็นบิตข้อมูลดังรูปที่ 5.2



รูปที่ 5.2 ลักษณะข้อมูลอนุกรมอะซิงโครนัส

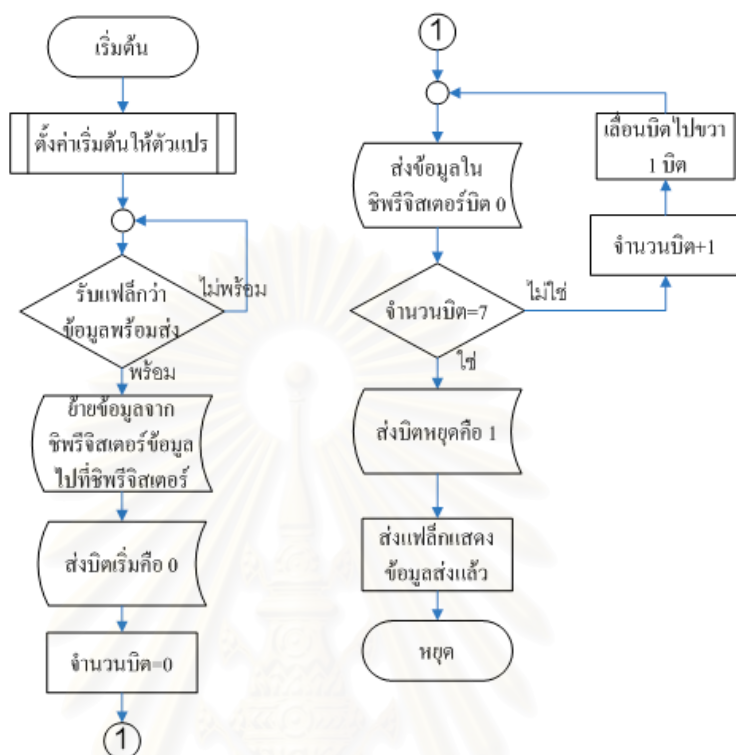
#### 1. ภาครับของการสื่อสารอนุกรมอะซิงโครนัส



รูปที่ 5.3 ไฟล์ชาร์ตภาครับของการสื่อสารอนุกรมอะซิงโครนัส

จากรูปที่ 5.3 ภาครับของการสื่อสารอนุกรมอะซิงโครนัสเริ่มต้นจากการหาบิตเริ่มด้วยการตรวจสอบอินพุตเปลี่ยนสถานะจาก 1 เป็น 0 จากนั้นรับข้อมูลมาเก็บไว้ที่ชิพรีจิสเตอร์( Shift Register )บิตที่ 7 และเลื่อนบิตไปทางขวาจนครบ 8 บิต จากนั้นตรวจสอบบิตถัดไปคือบิตหยุดว่ามีสถานะเป็น 1 หรือไม่ ถ้าใช่หมายความว่าข้อมูลที่ได้รับถูกต้องให้ย้ายข้อมูลจากชิพรีจิสเตอร์ไปไว้ที่รีจิสเตอร์ข้อมูล( Data Register )และกำหนดแฟล็กเป็น 1 เพื่อแสดงข้อมูลพร้อมแล้ว

## 2. ภาคส่งของการสื่อสารอนุกรมอะซิงโครนัส



รูปที่ 5.4 โฟลว์ชาร์ตภาคส่งของการสื่อสารอนุกรมอะซิงโครนัส

จากรูปที่ 5.4 ภาคส่งของการสื่อสารอนุกรมอะซิงโครนัสเริ่มต้นจากการตรวจสอบสถานะแฟล็กว่าข้อมูลพร้อมที่จะส่งหรือยัง ถ้าแฟล็กเปลี่ยนสถานะเป็น 1 แสดงว่าพร้อมแล้วให้ย้ายข้อมูลจากรีจิสเตอร์ข้อมูลไปเก็บที่ชิพรีจิสเตอร์ จากนั้นส่งบิตเริ่มต้นคือสถานะ 0 ออกไปที่เอาต์พุต จากนั้นส่งข้อมูลบิต 0 ออกไปที่เอาต์พุตพร้อมทั้งเลื่อนบิตไปทางขวา ทำขั้นตอนนี้ซ้ำกันจนกว่าข้อมูล 8 บิตถูกส่งไปหมด จากนั้นส่งบิตหยุดคือสถานะ 1 พร้อมทั้งส่งแฟล็กกลับไปเพื่อบอกให้ทราบว่าข้อมูลได้ถูกส่งเรียบร้อยแล้ว ในภาคส่ง UART ของคอนโทรลเลอร์ในวิทยานิพนธ์นี้เลือกที่จะส่งบิตหยุดจำนวน 2 บิต

### 5.1.3. โมดูลถอดรหัสข้อมูลของใจโรสโคป[10]

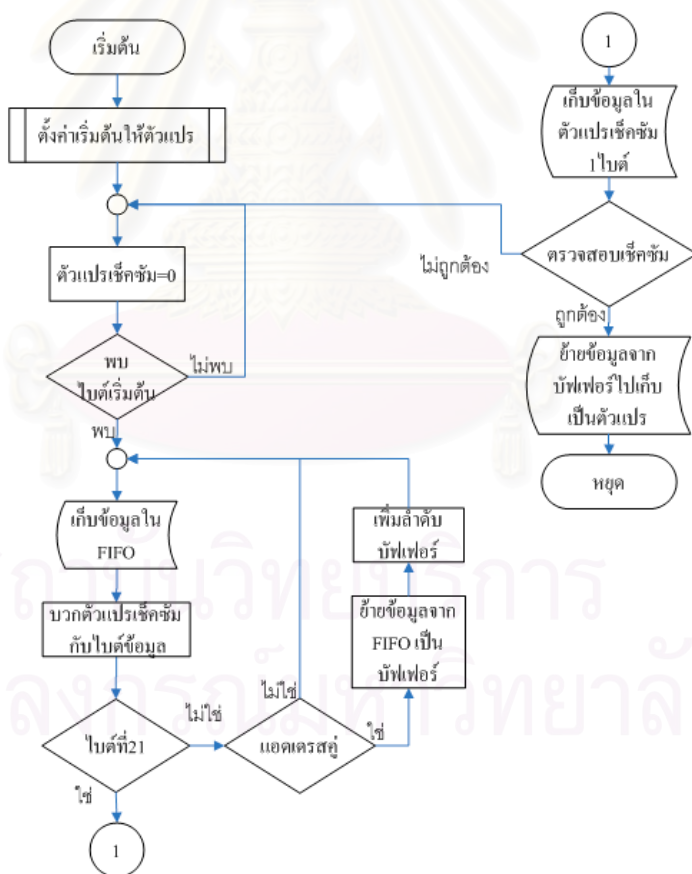
จากรูปที่ 5.5 โปรโตคอลของข้อมูลที่ได้รับจากใจโรสโคปขึ้นต้นด้วยอักขระเริ่มคือ FF ในเลขฐานสิบหก จากนั้นตามด้วยไบต์ข้อมูล 20 ไบต์และจบด้วยไบต์ที่ 21 ซึ่งเก็บค่าเช็คซัมไว้เพื่อใช้ในการตรวจสอบโปรโตคอล โดยข้อมูลที่จะส่งแต่ละชนิดจะมีขนาด 2 ไบต์ ข้อมูลที่จะส่งจำนวนทั้งสิ้น 10 ข้อมูล ได้แก่ มุมม้วนตัว มุมงย ความเร็วเชิงมุม 3 มุมคือความเร็วมุมม้วนตัว ความเร็ว

มุมมองและความเร็วมุมเบน ความเร่งเชิงเส้น 3 แกนคือ แกน X แกนYและแกน Z อุณหภูมิและเวลา

ไบนารี	0	1	2	3	4	5	6	7	8	9	10	11	12	13	14	15	16	17	18	19	20	21
ฮินทูล	FF	80	00	C0	00	55	55	2A	AB	15	55	11	11	2A	AB	AA	AB	06	EC	00	01	68
ค่า		1	-0.5	200	100	50	2	5	-10	35	1											
ชนิด	เริ่ม	มุมม้วนตัว	มุมมอง	อัตรา การม้วนตัว	อัตรา การถย	อัตรา การเบน	ความเร่ง แกน X	ความเร่ง แกน Y	ความเร่ง แกน Z	อุณหภูมิ	เวลา	เช็คข้ม										

$$68h-(80h+00h+C0h+00h+55h+55h+2Ah+ABh+15h+55h+11h+11h+2Ah+ABh+AAh+ABh+06h+EC h+00h+01h=00h=>ดูก$$

รูปที่ 5.5 การถอดข้อมูลภายในในโปรโตคอลของไวรัสโคป



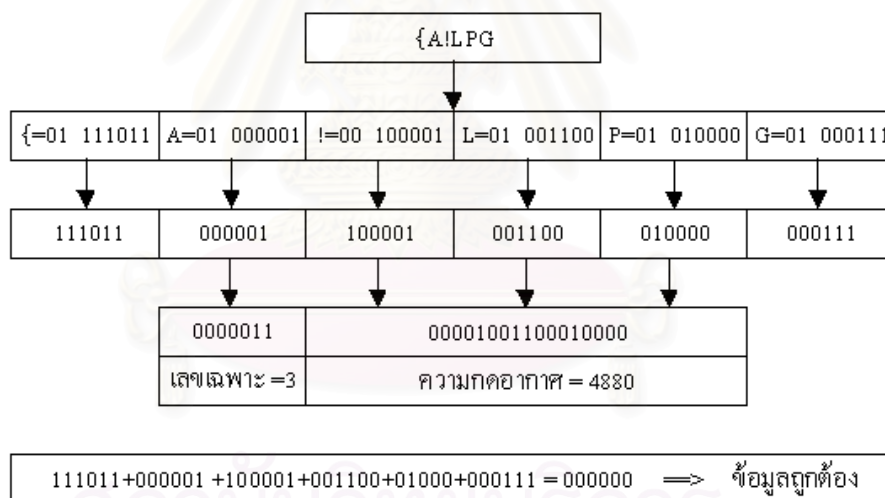
รูปที่ 5.6 โฟลว์ชาร์ตการถอดข้อมูลไวรัสโคป

จากรูปที่ 5.6 การถอดรหัสข้อมูลไวรัสโคปเริ่มจากการหาไบต์เริ่มคืออักขระ FF ในเลขฐานสิบหก หากพบไบต์เริ่มต้นให้ตั้งค่าตัวแปรเช็คข้มเท่ากับ FF จากนั้นเก็บข้อมูลลงใน FIFOและ

เช็คว่าเป็นไบนารีหรือไม่ หากเป็นไบนารีก็ให้ย้ายข้อมูลจาก FIFO มาเก็บเป็นหน่วยความจำชั่วคราวของข้อมูลแต่ละชนิด ในวิทยานิพนธ์นี้เลือกเก็บเฉพาะค่ามุมม้วนตัวและมุมเงยเนื่องจากบ.เข้าบินไม่มีหางเสือ ทุกครั้งที่รับไบนารีข้อมูลเข้ามาจะบวกค่าไบนารีข้อมูลเข้ากับตัวแปรเช็คซัมและเช็คว่าเป็นไบนารีที่ 21 หรือไม่ หากเป็นไบนารีที่ 21 ให้เช็คไบนารีที่ 21 กับตัวแปรเช็คซัมหากมีค่าเท่ากันหมายความว่าข้อมูลที่ถอดได้นั้นถูกต้อง แล้วจึงย้ายข้อมูลจากหน่วยความจำชั่วคราวมาเก็บเป็นตัวแปรของข้อมูลแต่ละชนิดในซีพรีจิสเตอร์ข้อมูล

**5.1.4. โมดูลถอดรหัสข้อมูลของทรานส์ดีวเซอร์วัดความดันอากาศ [11]**

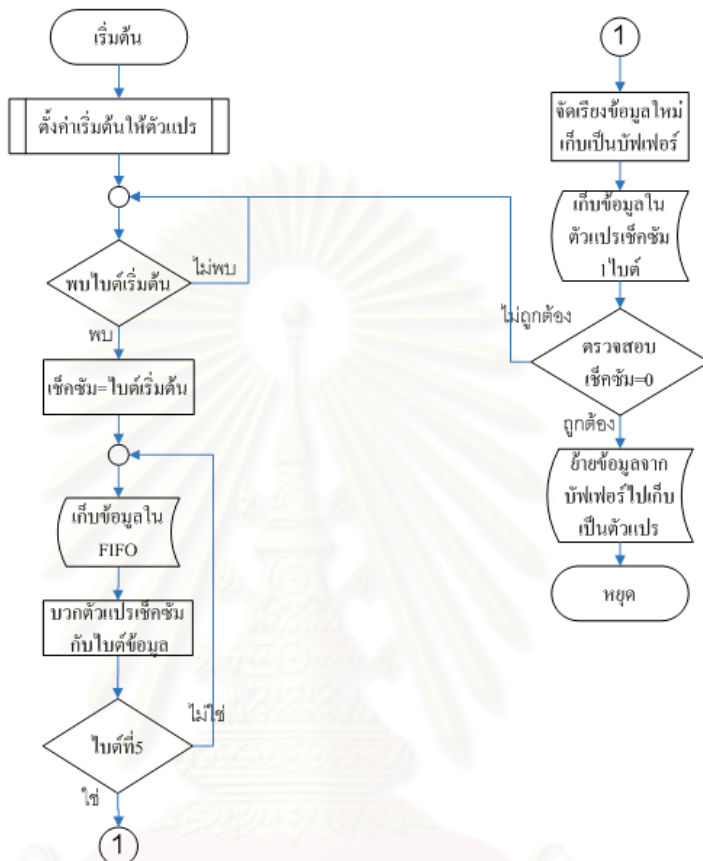
จากรูปที่ 5.7 โปรโตคอลของข้อมูลที่ได้รับจากทรานส์ดีวเซอร์วัดความดันอากาศมีความยาว 6 ไบนารี ขึ้นต้นด้วยไบนารีเริ่มคือตัวอักขระปีกกาเปิด ‘{’ จากนั้นตามด้วยข้อมูลอีก 4 ไบนารี และไบนารีตรวจสอบเช็คซัม 1 ไบนารี ซึ่งลักษณะไบนารีเป็นแบบ 6 LSB(Least Significant Bit)โดยตัด 2 บิตบนของแต่ละไบนารีทิ้ง ข้อมูล 4 ไบนารีนี้มีขนาดรวมกัน 24 บิตซึ่งข้อมูล 24 บิตประกอบไปด้วย เลขเอกลักษณ์ของทรานส์ดีวเซอร์แต่ละตัว( ID )7 บิตและค่าความดันอากาศ 17 บิต



รูปที่ 5.7 วิธีการคำนวณหาเลขเอกลักษณ์และความดันอากาศ ตามโปรโตคอลของข้อมูลของทรานส์ดีวเซอร์วัดความดันอากาศ

จากรูปที่ 5.8 การถอดรหัสข้อมูลของทรานส์ดีวเซอร์วัดความดันอากาศเริ่มจากการหาไบนารีเริ่มคืออักขระปีกกาเปิด ‘{’ หากพบไบนารีเริ่มแล้วให้ตั้งค่าตัวแปรเช็คซัมเท่ากับค่าของไบนารีเริ่มต้นหลังจากนั้นรับข้อมูลที่เข้ามาจำนวน 5 ไบนารีซึ่งเป็นไบนารีข้อมูล และไบนารีตรวจสอบเช็คซัม โดยไบนารีข้อมูลที่เข้ามานำไปเก็บเป็น FIFO พร้อมทั้งบวกค่าตัวแปรเช็คซัมด้วยค่าของไบนารีอักขระเมื่อถึงไบนารีที่ 5 ซึ่งเก็บค่าของไบนารีเช็คซัมจัดเรียงข้อมูลใน FIFO ใหม่แล้วเก็บเป็นหน่วยความจำชั่วคราวจากนั้น

นำค่าตัวแปรเช็คซัมมาเทียบกับค่าในไบต์ที่ 5 ถ้าเท่ากันก็หมายความว่าโพรโตคอลของข้อมูลที่เข้ามาถูกต้องให้ย้ายข้อมูลจากหน่วยความจำชั่วคราวไปเป็นตัวแปรในรีจิสเตอร์ข้อมูล



รูปที่ 5.8 โฟลว์ชาร์ตการถอดข้อมูลของทรานด์ิเวอร์วัดความดันอากาศ

### 5.1.5. โมดูลถอดรหัสข้อมูลของจีพีเอส[12]

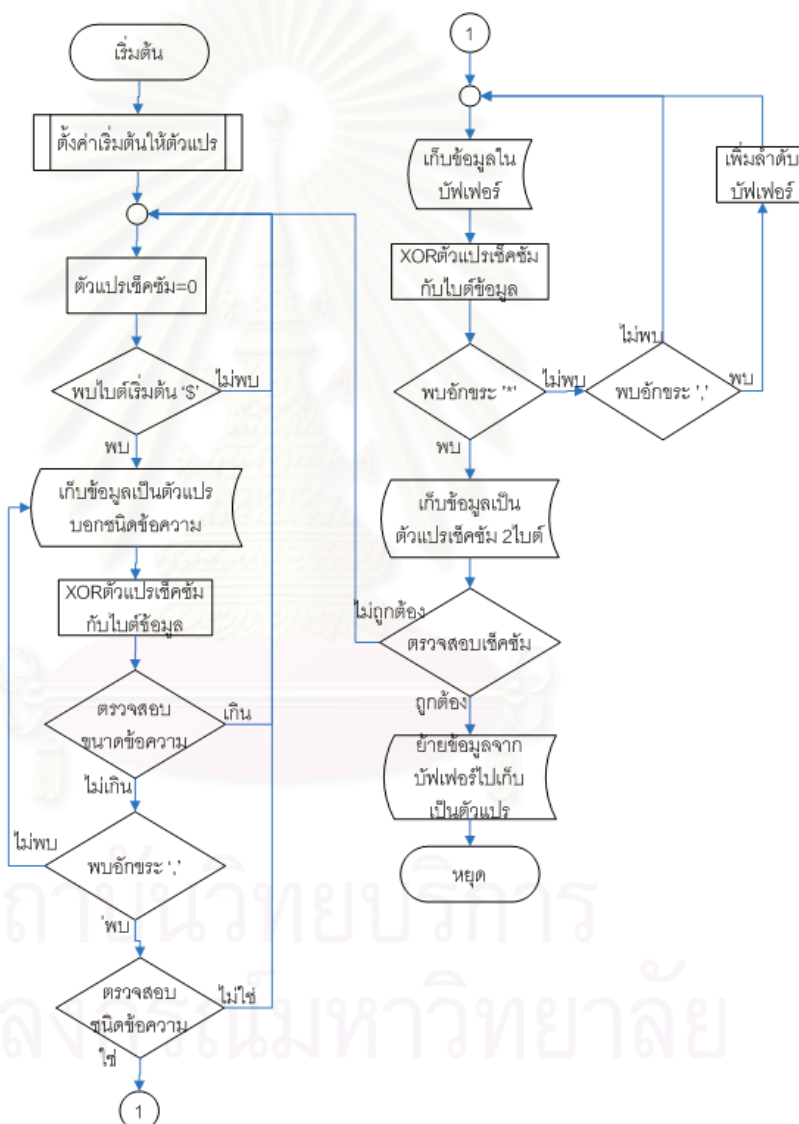
โพรโตคอลของข้อมูลของจีพีเอสเป็นโพรโตคอลมาตรฐาน NMEA-0183 โดยลักษณะโพรโตคอล NMEA-0183 ขึ้นต้นด้วย '\$' และจบด้วย [CR][LF] ตัวอย่างเช่น

**\$GPRMC, 154232, A, 2758.612, N, 08210.515, W, 085.4, 084.4, 230394, 003.1, W, 43[CR][LF]**

อักขระ 5 ตัวแรกที่ตามหลัง '\$' เรียกว่าฟิลด์แอดเดรส (Address Field) โดย 2 อักขระแรกของฟิลด์แอดเดรสจะแสดงถึงชนิดของอุปกรณ์ที่ส่งเรียกว่า Talker-ID ตัวอย่างเช่น GP หมายความว่า เป็นอุปกรณ์จีพีเอส หลังจาก Talker-ID จะตามด้วยชนิดของข้อความจำนวน 3 อักขระ ส่วนฟิลด์ข้อมูลจะตามหลังฟิลด์แอดเดรสโดยถูกแบ่งด้วยอักขระลูกน้ำ ',' หากไม่มีการกำหนดค่าให้กับข้อมูลจะไม่มีข้อมูลระหว่างอักขระลูกน้ำ 2 ตัว จากนั้นจะตามด้วยอักขระดอกจัน '\*' โดย

การตรวจสอบเช็คซัมหลังจากพบอักขระดอกจันท์ '\*' จะใช้การเอ็กรูซีฟออร์อักขระทั้งหมดที่อยู่ระหว่าง '\$'และ'\* โดยฟิลด์ขนาด 2 ฟิลด์ ที่ตามหลังอักขระดอกจันท์ '\*' จะบอก ค่าเช็คซัม

ในงานวิทยานาพณนี้เลือกใช้ชนิดข้อความ RMCและGGA โดย RMC เลือกเฉพาะสถานะสัญญาณจีพีเอส ละติจูด ลองจิจูด ความเร็วพื้นและทิศทาง ซึ่งอยู่ในฟิลด์ที่ 2 3 5 7 และ8 ตามลำดับส่วน GGA เลือกเฉพาะ เวลามาตรฐาน( UTC )และความสูง ซึ่งอยู่ในฟิลด์ที่ 1 และฟิลด์ที่ 9 ตามลำดับ



รูปที่ 5.9 โฟลวชาร์ตการถอดรหัสข้อมูลของจีพีเอส

จากรูปที่ 5.9 การถอดรหัสข้อมูลของจีพีเอส เริ่มต้นด้วยการหาอักขระ '\$' เมื่อพบจะทำการเก็บฟิลด์แอดเดรสจนกว่าจะพบอักขระลูกน้ำ ';' แล้วทำการตรวจสอบ Talker-ID ถ้าตรงกับ Talker-ID ที่ต้องการให้ทำการเก็บไบต์ข้อมูลลงในหน่วยความจำชั่วคราว พร้อมทั้งทำการเอ็กรูซี

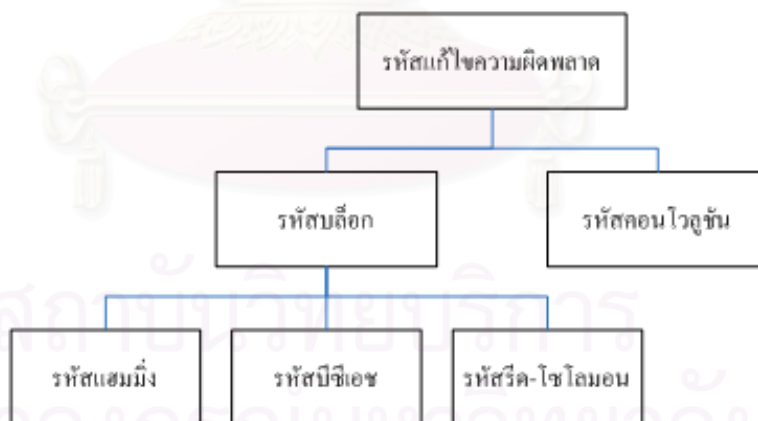


ซีฟออร์ไปต์ข้อมูลและตรวจสอบอักขระ ‘ , ’ ทุกครั้งที่พบอักขระ ‘ , ’ การเก็บข้อมูลจะเปลี่ยนไปเก็บในหน่วยความจำชั่วคราวถัดไป ในขณะที่เดียวกันทำการเช็คอักขระ ‘\*’ ถ้าหากเจออักขระ ‘\*’ ให้ทำการเช็คผลจากเอ็กรูซีฟออร์กับ 2 ไบต์ที่อยู่หลังอักขระ ‘\*’ ซึ่งแสดงตัวอักขระของค่าตรวจสอบเช็คซ้ำ ถ้าค่าที่เอ็กรูซีฟออร์ตรงกับค่าตรวจสอบเช็คซ้ำให้ย้ายข้อมูลจากหน่วยความจำชั่วคราวไปเก็บเป็นตัวแปรเพื่อส่งให้กับโปรแกรมถัดไป

#### 5.1.6. โมดูลเข้ารหัสรีด-โซโลมอน [13],[14],[15],[16]

เนื่องจากการสื่อสารไร้สายนั้นอาจเกิดการรับข้อมูลที่ผิดพลาดเนื่องจากสัญญาณรบกวนจากภายนอก ซึ่งสามารถแบ่งลักษณะความผิดพลาดได้เป็น 2 ลักษณะคือ ความผิดพลาดแบบสุ่ม(Random Error)และความผิดพลาดแบบเบิร์สต์(Burst Error) การเลือกใช้อัลกอริทึมขึ้นอยู่กับความสามารถในการแก้ไขความผิดพลาด

จากรูปที่ 5.10 รหัสแก้ไขความผิดพลาด(Error correcting codes)แบ่งได้เป็น 2 ชนิดคือ รหัสบล็อก(Block Codes) และรหัสคอนโวลูชัน(Convolutional Codes) ข้อแตกต่างระหว่างรหัสบล็อกและรหัสคอนโวลูชันคือ รหัสบล็อกนั้นมีขนาดเอาต์พุตที่ขึ้นกับขนาดของอินพุต แต่รหัสคอนโวลูชันนั้นมีขนาดเอาต์พุตไม่ขึ้นกับขนาดของอินพุต โดยรหัสบล็อกนั้นสามารถเข้ารหัสได้ง่ายกว่ารหัสคอนโวลูชัน ตัวอย่างของรหัสบล็อกได้แก่ รหัสแฮมมิง(Hamming Code) รหัสบีซีเอช(Bose-Chaudhuri-Hocqueaghem ) และรหัสรีดโซโลมอน



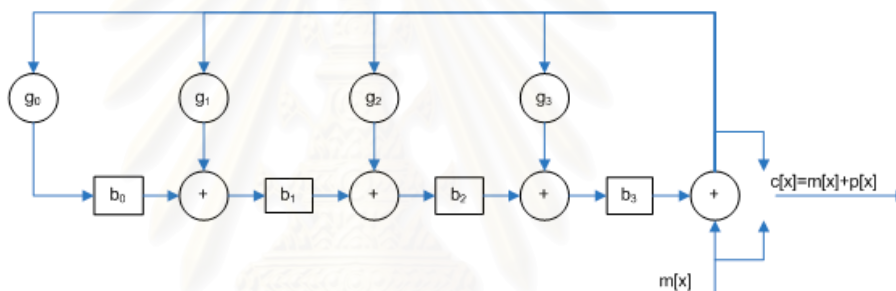
รูปที่ 5.10 ชนิดของรหัสแก้ไขความผิดพลาด

จากตารางที่ 5.2 รหัสแฮมมิงและรหัสบีซีเอชสามารถแก้ไขความผิดพลาดแบบสุ่ม รหัสแฮมมิงแก้ไขได้ 1 บิต รหัสบีซีเอชแก้ไขได้มากกว่า 1 บิต ส่วนรหัสรีด-โซโลมอนสามารถแก้ไขความผิดพลาดแบบเบิร์สต์แก้ไขได้มากกว่า 1 สัญลักษณ์ ดังนั้นเมื่อเทียบกันแล้วรหัสรีด-โซโลมอนเป็นรหัสที่มีความสามารถในการแก้ไขความผิดพลาดดีกว่าชนิดอื่นๆ

ตารางที่ 5.2 ความสามารถในการแก้ไขความผิดพลาดของรหัสแต่ละชนิด

รหัส	ชนิดความผิดพลาด	จำนวนข้อมูลที่แก้ไขได้
แฮมมิง	ความผิดพลาดแบบสุ่ม	1 บิต
บีซีเอช		มากกว่า 1 บิต
รีด-โซโลมอน	ความผิดพลาดแบบเบีรสต์	มากกว่า 1 สัญลักษณ์

จากข้อดีของรหัสรีด-โซโลมอนที่กล่าวมาในวิทยานิพนธ์จึงเลือกใช้รหัสรีดโซโลมอนเพื่อแก้ไขความผิดพลาดที่อาจเกิดขึ้นขณะส่งสัญญาณจากภาคอากาศไปยังภาคพื้น โดยแบ่งการทำงานเป็น 2 ส่วนคือส่วนการเข้ารหัสกระทำในคอนโทรลเลอร์ภาคอากาศและส่วนการถอดรหัสกระทำในโปรแกรมแสดงผล โดยเลือกใช้ รหัสรีด-โซโลมอน(14,10)ประกอบด้วย 10 สัญลักษณ์ข้อมูล และ 4 สัญลักษณ์พาริตี แก้ไขความผิดพลาดได้ 2 สัญลักษณ์



รูปที่ 5.11 แผนภาพการเข้ารหัสรีด-โซโลมอน

จากรูปที่ 5.11 รหัสรีด-โซโลมอน  $c(x)$  ประกอบด้วยสองส่วนคือ สัญลักษณ์พาริตี  $p(x)$  และสัญลักษณ์ข้อมูล  $m(x)$  ซึ่งสามารถเขียนในรูปของพหุนามได้ดังสมการ 5.1

$$c(x) = p(x) + x^{n-k} m(x) \dots\dots\dots(5.1)$$

จากสมการ 5.1 จะเห็นว่าถ้าเราทราบค่าสัญลักษณ์พาริตี  $p(x)$  เราก็สามารถทราบค่ารหัสรีดโซโลมอน  $c(x)$  ฉะนั้นการเข้ารหัสรีด-โซโลมอนก็คือการหาค่าของพหุนามสัญลักษณ์พาริตี  $p(x)$  นั่นเอง โดยการนำพหุนาม  $x^{n-k} m(x)$  ไปหารด้วยพหุนามตัวกำเนิด  $g(x)$  ดังสมการ 5.2

$$x^{n-k} m(x) = a(x)g(x) + b(x) \dots\dots\dots(5.2)$$

ผลที่ได้จากการหารประกอบด้วยสองส่วนคือ ผลหาร  $a(x)$  และเศษจากการหาร  $b(x)$  โดย  $b(x)$  ก็คือพหุนามสัญลักษณ์พาริตี  $p(x)$  วิทยานิพนธ์นี้ใช้พหุนามตัวกำเนิดบนฟิลด์กาลัว GF(16) คือ  $g(x) = x^4 + \alpha^{13}x^3 + \alpha^6x^2 + \alpha^3x + \alpha^{10}$

โพรโตคอลข้อมูลการบิตที่สร้างขึ้นสร้างจากบล็อกของรหัสรีด-โซโลมอนจำนวน 6 บล็อก แต่ละบล็อกประกอบด้วย 14 สัญลักษณ์ แต่ละสัญลักษณ์มีขนาด 4 บิต ดังแสดงในตารางที่ 5.3

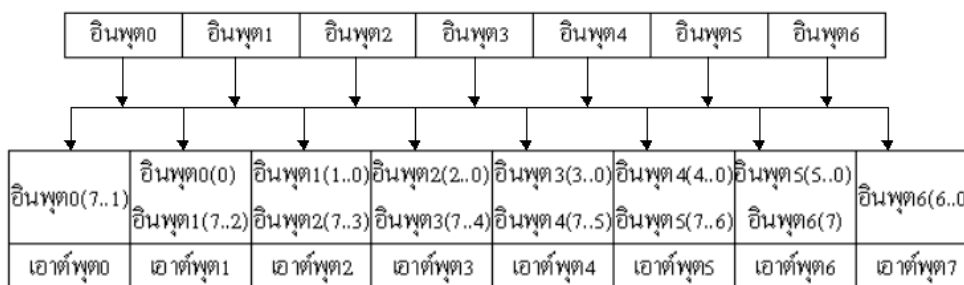
ตารางที่ 5.3 ตำแหน่งของข้อมูลในการเข้ารหัสรีด-โซโลมอน

	RS13	RS12	RS11	RS10	RS9	RS8	RS7	RS6	RS5	RS4	RS3	RS2	RS1	RS0
บล็อก 0	พาริตี01	พาริตี00	มุมม้วนตัว	มุมม้วนตัว	มุมเงย	มุมเงย	ความดันสเตติก	ความดันสเตติก	ความดันต่าง	ความดันต่าง	ความดันต่าง	ความดันต่าง	ความดันต่าง	ความดันต่าง
บล็อก 1	พาริตี11	พาริตี10	ละติจูด(deg)	ละติจูด(min)	ละติจูด(dec)	ละติจูด(dec)	ละติจูด(Deg)	ละติจูด(Deg)	ทิศทาง	ทิศทาง	ทิศทาง	ทิศทาง	ทิศทาง	ทิศทาง
บล็อก 2	พาริตี21	พาริตี20	ความเร็วพื้น	ความเร็วพื้น	สถานะ	สถานะ	สถานะ	สถานะ	ความสูง	ความสูง	ความสูง	ความสูง	ความสูง	ความสูง
บล็อก 3	พาริตี31	พาริตี30	ความสูง	เครื่องหมายสูง	utc	utc	utc	utc	utc	utc	utc	utc	utc	utc
บล็อก 4	พาริตี41	พาริตี40	ความสูง	เครื่องหมายสูง	utc	utc	utc	utc	utc	utc	utc	utc	utc	utc
บล็อก 5	พาริตี51	พาริตี50	ความสูง	เครื่องหมายสูง	utc	utc	utc	utc	utc	utc	utc	utc	utc	utc

### 5.1.7. โมดูลมัลติเพล็กซ์เซอร์

ในการบันทึกโพรโตคอลข้อมูลการบิตลงในอุปกรณ์เก็บข้อมูลนั้นไม่สามารถบันทึกอักขระในช่วง 00 ถึง 1F ได้เนื่องจากอุปกรณ์เก็บข้อมูลบันทึกข้อมูลแบบเท็กที่จึงมองอักขระในช่วง 00 ถึง 1F เป็นอักขระควบคุมจึงต้องหลีกเลี่ยงการใช้อักขระในช่วง 00 ถึง 1F โดยในคอนโทรลเลอร์ได้สร้างมัลติเพล็กซ์เซอร์ไว้ 2 ตัวเพื่อใช้ในการควบคุมการส่งข้อมูล มัลติเพล็กซ์เซอร์ตัวแรกนั้นจะทำการลดขนาดความกว้างไบต์จาก 8 บิตเป็น 7 LSB โดยการจัดเรียงข้อมูล 8 บิต จำนวน 7 ไบต์ใหม่แล้วเลือกเอาเฉพาะ 7 บิตโดยกำหนดบิต 7 เป็น 0 หากเมื่อจัดข้อมูลใหม่แล้วมีข้อมูลได้น้อยกว่า 20 จะกำหนดบิต 7 ของข้อมูลให้เป็น 1 ซึ่งจะได้ 8 ไบต์ ดังนั้นอักขระที่จัดขึ้นมาใหม่จะอยู่ในช่วง 20 ถึง 9F โดยการจัดเรียงข้อมูลตามตำแหน่งแอดเดรสดังตารางที่ 5.4

ตารางที่ 5.4 การจัดเรียงข้อมูลตามตำแหน่งแอดเดรส



มัลติเพล็กซ์เซอร์อีกตัวหนึ่งทำหน้าที่แยกการส่งไบต์เริ่มต้นและไบต์ข้อมูล เมื่อนำข้อมูล จากตาราง 5.3 มาจัดเรียงข้อมูลใหม่ตามตำแหน่งข้อมูลหลังจากได้ผ่านการแปลงไบต์ขนาด 8 บิต เป็นไบต์ขนาด 7 LSB ได้ดังตาราง 5.5

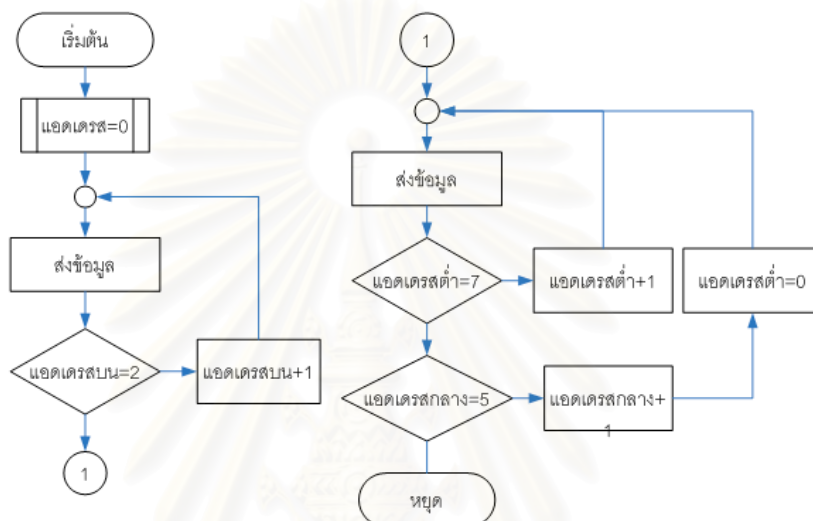
ตาราง 5.5 ตำแหน่งของข้อมูลที่จะทำการส่ง

Address			ข้อมูล	Address			ข้อมูล
High	Med	Low		High	Med	Low	
0	0	0	ไบต์เริ่ม 1 (FF)	2	3	0	ลองจิจูด(min)(7..1)
1	0	0	ไบต์เริ่ม 2 (FF)	2	3	1	ลองจิจูด(min)(0)ลองจิจูด(Dec)(15..10)
2	0	0	มุมม้วนตัว(15..9)	2	3	2	ลองจิจูด(Dec)(9..3)
2	0	1	มุมม้วนตัว(8..2)	2	3	3	ลองจิจูด(Dec)(2..0)ทิศทาง(15..12)
2	0	2	มุมม้วนตัว(1..0)มุมเงย(15..11)	2	3	4	ทิศทาง(11..5)
2	0	3	มุมเงย(10..4)	2	3	5	ทิศทาง(4..0)พาริตี31(7..6)
2	0	4	มุมเงย(3..0)ความดันสถิต(23..21)	2	3	6	พาริตี31(5..0)พาริตี30(7)
2	0	5	ความดันสถิต(20..16)พาริตี01(7..6)	2	3	7	พาริตี30(6..0)
2	0	6	พาริตี01(5..0)พาริตี00(7)	2	4	0	ความเร็วพื้น(15..9)
2	0	7	พาริตี00(6..0)	2	4	1	ความเร็วพื้น(8..2)
2	1	0	ความดันสถิต(15..9)	2	4	2	ความเร็วพื้น(1..0)สถานะ(7..3)
2	1	1	ความดันสถิต(8..2)	2	4	3	สถานะ(2..0)ความสูง(23..20)
2	1	2	ความดันสถิต(1..0)ความดันแตกต่าง(23..19)	2	4	4	ความสูง(19..13)
2	1	3	ความดันแตกต่าง(18..12)	2	4	5	ความสูง(12..8)พาริตี41(7..6)
2	1	4	ความดันแตกต่าง(11..5)	2	4	6	พาริตี41(5..0)พาริตี40(7)
2	1	5	ความดันแตกต่าง(4..0)พาริตี11(7..6)	2	4	7	พาริตี40(6..0)
2	1	6	พาริตี11(5..0)พาริตี10(7)	2	5	0	ความสูง(7..1)
2	1	7	พาริตี10(6..0)	2	5	1	ความสูง(0)เครื่องหมายสูง(7..2)
2	2	0	ละติจูด(deg)(7..1)	2	5	2	เครื่องหมายสูง(1..0)UTC(23..19)
2	2	1	ละติจูด(deg)(0)ละติจูด(min)(7..2)	2	5	3	UTC(18..12)
2	2	2	ละติจูด(min)(1..0)ละติจูด(dec)(15..11)	2	5	4	UTC(11..5)
2	2	3	ละติจูด(dec)(10..4)	2	5	5	UTC(4..0)พาริตี51(7..6)
2	2	4	ละติจูด(dec)(3..0)ลองจิจูด(Deg)(7..5)	2	5	6	พาริตี51(5..0)พาริตี50(7)
2	2	5	ลองจิจูด(Deg)(4..0)พาริตี21(7..6)	2	5	7	พาริตี50(6..0)
2	2	6	พาริตี21(5..0)พาริตี20(7)				
2	2	7	พาริตี20(6..0)				

### 5.1.8. การควบคุมการส่งข้อมูล

จากรูปที่ 5.12 ข้อมูลที่ส่งให้กับโมเด็มไร้สายภาคอากาศมีขนาด 50 ไบต์ เริ่มต้นส่งด้วย ไบต์เริ่มคืออักขระ FF จำนวน 2 ไบต์ซึ่งอยู่ในตำแหน่งแอดเดรสบนเป็น 0 และ 1 ส่วนไบต์ข้อมูลการ บินมีจำนวน 44 ไบต์ ณ ตำแหน่งแอดเดรสบนเป็น 2 แอดเดรสกลางจะบอกถึงหมายเลขบล็อกและ

แอดเดรสตัวบอกตำแหน่งไบต์ข้อมูลภายในบล็อก การส่งไบต์ข้อมูลเริ่มต้นจากไบต์กลางเป็น 0 คือการส่งข้อมูลในบล็อก 0 จากนั้นเพิ่มไบต์ต่ำทีละ 1 ไบต์จนกว่าไบต์ต่ำเป็น 7 ซึ่งก็คือการส่งข้อมูลในบล็อก 7 ไบต์ จากนั้นทำการเพิ่มไบต์กลาง 1 แอดเดรสคือส่งข้อมูลในบล็อกถัดไป ทำเช่นนี้ จนถึงแอดเดรสที่ 5 คือบล็อกที่ 5 โฟลว์ชาร์ตอธิบายไพอโตคอลของการส่งข้อมูลการบินดังรูปที่ 5.12



รูปที่ 5.12 โฟลว์ชาร์ตการส่งไพอโตคอลของข้อมูลการบิน

## 5.2. การออกแบบและพัฒนาโปรแกรมแสดงผล

โปรแกรมแสดงผลทำหน้าที่ในการแสดงผลเครื่องวัดประกอบการบินและแผนที่ ให้ผู้ใช้สามารถบันทึกและอ่านข้อมูลการบินขณะทำการบินจากคอมพิวเตอร์ หรือในหน่วยความจำแฟลชซึ่งอยู่ในคอนโทรลเลอร์ของชุดภาคอากาศ การออกแบบซอฟต์แวร์เพื่อให้ใช้งานสะดวกและเป็นมาตรฐานจึงเลือกใช้ระบบปฏิบัติการ Windows และพัฒนาโปรแกรมด้วยภาษา Visual C++ โปรแกรมแสดงผลประกอบด้วย 2 ส่วนคือส่วนการบันทึกข้อมูลและส่วนการแสดงผล

### 5.2.1. ส่วนการบันทึกข้อมูล

การบันทึกข้อมูลสามารถทำได้ 2 รูปแบบคือการบันทึกด้วยอุปกรณ์เก็บข้อมูลและการบันทึกลงในฮาร์ดดิสก์

#### 1. การส่งคำสั่งไปควบคุมการบันทึกข้อมูลในอุปกรณ์เก็บข้อมูล

จากรูปที่ 5.13 ในการบันทึกข้อมูลด้วยหน่วยความจำแฟลชด้วยอุปกรณ์เก็บข้อมูลจะส่งงานด้วยการส่งอักขระ 'W' หลังจากนั้นจะคอยเป็นเวลา 100 มิลลิวินาทีจึงส่งชื่อไฟล์นามสกุล FLG ไปยังอุปกรณ์เก็บข้อมูลโดยชื่อไฟล์จะต้องมีขนาด 8 ตัวอักษร ข้อมูลในไฟล์เป็นชนิดไบนารี



รูปที่ 5.13 การส่งคำสั่งไปควบคุมการบันทึกข้อมูลในอุปกรณ์เก็บข้อมูล

## 2. การบันทึกข้อมูลลงในฮาร์ดดิสก์

การบันทึกข้อมูลลงในฮาร์ดดิสก์จะใช้นามสกุล PLT โดยไฟล์นี้จะบรรจุข้อมูลที่โปรแกรมแสดงผลสามารถคำนวณได้ เพื่อใช้ในการตรวจสอบการบันทึกข้อมูลในไฟล์เป็นชนิดเท็กซ์ที่โดยผู้ใช้งานต้องเลือกที่จะบันทึกข้อมูลของอุปกรณ์ใด ตัวอย่างข้อมูลภายในไฟล์ PLT สามารถแสดงได้ดังนี้

```
index,Time,Roll,Pitch,Alt,STP,TAS,DFFP,Latitude,Longitude,distance,GC,GS,GPSHigh,RMC_STS, UTC
;B0_Err,B1_Err,B2_Err,B3_Err,B4_Err,B5_Err,Byte Tm,Frame Tm
```

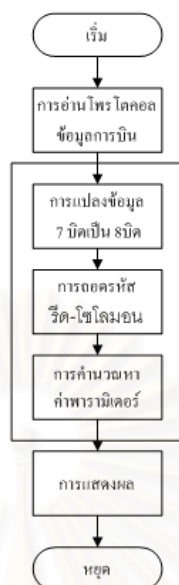
```
0,11:31:10,,,,,14.1222,99.9249,2.1412,23.0000,76.0000,2096.4504,A,4:31:4,0,0,0,0,0,144,3*
```

```
1,11:31:10,,,,,14.1222,99.9249,2.1412,23.0000,76.0000,2096.4504,A,4:31:4,0,0,0,0,0,16,0*
```

ลักษณะข้อมูลที่บันทึกในไฟล์ PLT ในบรรทัดแรกจะบอกให้ทราบถึงชนิดข้อมูลที่บันทึก โดยข้อมูลแต่ละชนิดจะถูกขึ้นด้วยอักขระลูกน้ำ ‘,’ เพื่อบอกให้ทราบว่าข้อมูลที่เก็บเป็นข้อมูลของอะไรบ้าง จากนั้นในบรรทัดถัดไปจะเป็นข้อมูลที่เก็บโดยขึ้นต้นด้วยอักขระแท็บ (Tab) และจบลงด้วยอักขระดอกจัน ‘\*’ โดยสามารถเปิดไฟล์ PLT นี้ได้ด้วยโปรแกรมเอ็กเซล โดยเลือกตัวแบ่งข้อมูลเป็นอักขระลูกน้ำ ‘,’ และดอกจัน ‘\*’

### 5.2.2. ส่วนการแสดงผลข้อมูล

จากรูปที่ 5.14 ขั้นตอนในการแสดงผลข้อมูลประกอบด้วยการอ่านโปรโตคอลข้อมูลการบันทึก การประมวลผลข้อมูลและการแสดงผล



รูปที่ 5.14 ขั้นตอนการแสดงผล

## 1. การอ่านโปรโตคอลของข้อมูลการบิน

การอ่านโปรโตคอลของข้อมูลการบินสามารถอ่านได้ 2 ทางคือการอ่านข้อมูลจากพอร์ตอนุกรมและการอ่านข้อมูลจากไฟล์นามสกุล FLG ซึ่งบันทึกจากอุปกรณ์เก็บข้อมูล โดยโปรโตคอลของข้อมูลการบินประกอบด้วยไบต์เริ่มคืออักขระ FF จำนวน 2 ไบต์ จากนั้นเป็นไบต์ข้อมูล 48 ไบต์

## 2. การประมวลผลข้อมูล

การประมวลผลข้อมูลประกอบด้วย 3 ฟังก์ชันคือฟังก์ชันการแปลงข้อมูล 7 LSB เป็น 8 บิต ฟังก์ชันการถอดรหัสวีต-ไซโลมอนและฟังก์ชันการคำนวณหาค่าพารามิเตอร์ทางการบิน

### 2.1. ฟังก์ชันแปลงข้อมูล 7 LSB เป็น 8 บิต

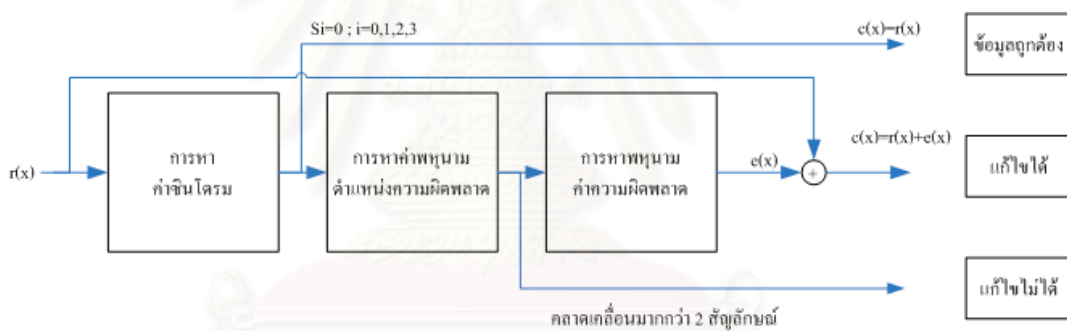
เนื่องจากโปรโตคอลการบินที่ภาคอากาศส่งมายังภาคพื้นดินเป็นข้อมูลที่แปลงจากข้อมูล 8 บิตเป็นข้อมูลขนาด 7 LSB ดังนั้นในฝั่งโปรแกรมแสดงผลจะต้องแปลงกลับจากข้อมูล 7 LSB เป็นข้อมูล 8 บิตเสียก่อนซึ่งการจัดเรียงข้อมูลดังตารางที่ 5.6

ตาราง 5.6 การจัดเรียงข้อมูลตามตำแหน่งแอดเดรสเมื่อแปลง 7 LSB เป็น 8 บิต

อินพุต0	อินพุต1	อินพุต2	อินพุต3	อินพุต4	อินพุต5	อินพุต6	อินพุต7
อินพุต 0(6..0)	อินพุต 1(5..0)	อินพุต 2(4..0)	อินพุต 3(3..0)	อินพุต 4(2..0)	อินพุต 5(1..0)	อินพุต 6(0)	
อินพุต 1(6)	อินพุต 2(6..5)	อินพุต 3(6..4)	อินพุต 4(6..3)	อินพุต 5(6..2)	อินพุต 6(6..1)	อินพุต 7(6..0)	
เอาต์พุต0	เอาต์พุต1	เอาต์พุต2	เอาต์พุต3	เอาต์พุต4	เอาต์พุต5	เอาต์พุต6	

## 2.2. ฟังก์ชันการถอดรหัสรีด-โซโลมอน[13],[14],[15],[16]

โพรโตคอลข้อมูลการรับที่ส่งจากภาคอากาศได้ถูกเข้ารหัสรีด-โซโลมอน(14,10)เพื่อใช้ในการแก้ไขความผิดพลาดจากการอ่านข้อมูลในฝั่งขารับประกอบด้วย 10 สัญลักษณ์ข้อมูล และ 4 สัญลักษณ์พาริตีที่แก้ไขความผิดพลาดได้ 2 สัญลักษณ์ ดังนั้นสิ่งแรกที่ภาคพื้นต้องกระทำเมื่อได้รับข้อมูลจากภาคอากาศคือต้องทำการถอดรหัสรีด-โซโลมอนเพื่อแก้ไขความผิดพลาดที่อาจเกิดขึ้นได้ รหัสรีด-โซโลมอนที่ภาคพื้นได้รับ  $r(x)$  คือรหัสข้อความต้นทาง  $c(x)$  บวกกับค่าความผิดพลาด  $e(x)$  ดังนั้นหากต้องการให้ได้ข้อความต้นทาง  $c(x)$  ที่ถูกต้องจึงต้องนำรหัสรีด-โซโลมอนที่ภาคพื้นได้รับ  $r(x)$  มาแก้ไขด้วยค่าผิดพลาด  $e(x)$  หรืออาจจะสรุปได้ว่าการถอดรหัสรีด-โซโลมอนก็คือการหาค่าความผิดพลาด  $e(x)$  นั้นเอง การถอดรหัสรีด-โซโลมอนสามารถที่จะตำแหน่งและขนาดของความผิดพลาด และยังสามารแก้ไขความผิดพลาดที่เกิดขึ้นได้ จากรูปที่ 5.15 แสดงขั้นตอนการถอดรหัสรีดโซโลมอนประกอบด้วย การหาค่าซินโดรม การหาค่าพหุนามตำแหน่งความผิดพลาดและการหาพหุนามค่าความผิดพลาด โดยรายละเอียดมีดังนี้



รูปที่ 5.15. ขั้นตอนการถอดรหัสรีด-โซโลมอน

### 2.2.1. การหาค่าซินโดรม

การหาค่าซินโดรมคือการหาฟังก์ชันที่บอกถึงตำแหน่งและขนาดของความผิดพลาดที่มีโอกาสที่จะเกิดขึ้นและแก้ไขได้โดยความสัมพันธ์ระหว่างค่าซินโดรม ตำแหน่งและขนาดความผิดพลาดสามารถเขียนในรูปสมการได้ดังสมการ 5.3

$$s(x) = \sum_{k=0}^{n-1} e_k (\alpha^j)^k \quad \dots\dots\dots(5.3)$$

โดย  $\alpha^{j_1}, \alpha^{j_2}, \dots, \alpha^{j_4}$  คือตัวแปรตำแหน่งที่เกิดความผิดพลาด และ  $e_{j_1}, e_{j_2}, \dots, e_{j_4}$  คือตัวแปรค่าความผิดพลาด



การหาค่าจีนโดรมกระทำโดยการหารชุดสัญลักษณะ  $r(x)$  ที่รับได้ด้วยพหุนามที่เป็นตัวประกอบของพหุนามตัวกำเนิด  $g(x)$  แต่ละตัวได้แก่  $(x + \alpha), (x + \alpha^2), \dots, (x + \alpha^4)$  ซึ่งได้กำหนดไว้ตั้งแต่การเข้ารหัสรีด-โซโลมอน ดังสมการ 5.4

$$r(x) = a_i(x)(x + \alpha^i) + b_i(x) \quad , i = 1, 2, 3, 4 \dots \dots \dots (5.4)$$

ผลที่ได้จากการหารประกอบด้วยสองส่วนคือ ผลหาร  $a(x)$  และเศษจากการหาร  $b(x)$  โดยเศษที่เหลือจากการหาร  $b_i(x)$  ก็คือค่าจีนโดรม  $s_i$  นั้นเองซึ่งสามารถเขียนได้ดังสมการ 5.5

$$s_i = \text{rem} \left[ \frac{r(x)}{x + \alpha^i} \right] \quad , i = 1, 2, 3, 4 \quad \dots \dots \dots (5.5)$$

หากไม่มีความผิดพลาดเกิดขึ้นเศษที่เหลือจากการหาร  $b_i(x)$  หรือค่าจีนโดรม  $s_i$  ทั้งหมดจะมีค่าเป็น 0

**2.2.2. การคำนวณหาพหุนามตำแหน่งความผิดพลาด**

หลังจากที่ได้ค่าจีนโดรมแล้วขั้นตอนต่อไปคือการคำนวณหาตัวแปรตำแหน่งความผิดพลาดโดยการนำตัวแปรตำแหน่งความผิดพลาด  $\alpha^{j_1}, \alpha^{j_2}, \dots, \alpha^{j_4}$  มาสร้างสมการพหุนามขึ้นมาเรียกว่าพหุนามตำแหน่งความผิดพลาด  $\Lambda(x)$  ดังสมการ 5.6

$$\Lambda(x) = \prod_{k=1}^v (1 + \alpha^{j_k} x) \quad \dots \dots \dots (5.6)$$

เมื่อ  $v$  คือจำนวนตำแหน่งที่ผิดพลาด

เมื่อได้พหุนามตำแหน่งความผิดพลาดแล้ว ให้หาสัมประสิทธิ์ของพหุนามนี้ สัมประสิทธิ์ของพหุนามที่ได้คือส่วนกลับของตำแหน่งความผิดพลาด

**2.2.3. การคำนวณหาพหุนามค่าความผิดพลาด**

หลังจากที่ได้ค่าจีนโดรมแล้วขั้นตอนต่อไปคือการคำนวณหาตัวแปรค่าความผิดพลาด  $e_{j_1}, e_{j_2}, \dots, e_{j_4}$  มาสร้างสมการพหุนามขึ้นมาเรียกว่าพหุนามค่าความผิดพลาด  $\Omega(x)$  ซึ่งสามารถสร้างพหุนามค่าความผิดพลาด  $\Omega(x)$  ได้จากการนำพหุนามตำแหน่งความผิดพลาด  $\Lambda(x)$  มาคูณกับพหุนามจีนโดรม  $s(x)$  ดังสมการ 5.7

$$\Omega(x) = \Lambda(x)s(x) \quad \dots\dots\dots(5.7)$$

จากนั้นจึงคำนวณหาค่าความผิดพลาด  $e_{j_1}, e_{j_2}, \dots, e_{j_v}$  ด้วยสมการ 5.8

$$e_{j_m} = \frac{\Omega(\alpha^{-j_m})}{\prod_{\substack{l=1 \\ l \neq m}}^v (1 + \alpha^{j_l} \alpha^{-j_m})} \quad \dots\dots\dots(5.8)$$

หลังจากได้ค่าความผิดพลาดและตำแหน่งที่ผิดพลาด  $e(x)$  แล้วจึงนำค่าที่ได้ไปแก้ไขข้อมูลที่ได้รับ  $r(x)$  ให้ได้ชุดรหัสที่ถูกต้อง  $c(x)$

จากขั้นตอนการถอดรหัสรีด-ไซโลมอนข้างต้นสามารถแสดงให้เห็นว่ารหัสรีด-ไซโลมอนมีความสามารถในการตรวจหาตำแหน่งความผิดพลาดอีกทั้งยังสามารถแก้ไขความเคลื่อนคลื่อน ณ ตำแหน่งนั้นๆได้อีกด้วย

### 2.3. ฟังก์ชันการคำนวณหาค่าพารามิเตอร์จากข้อมูลการบิน

#### 2.3.1. การคำนวณหาค่าพารามิเตอร์จากความดันสถิตและความดันแตกต่าง[17]

การคำนวณความสูง  $h$  หน่วยเป็นฟุตจากความดันสถิต  $p$  หน่วยเป็นนิ้วปรอทนั้นคำนวณได้จากสมการ 5.9

$$h = 145442.1570 \times \left[ 1 - \frac{p}{29.92126} \right]^{0.1902631} \quad \dots\dots\dots(5.9)$$

การคำนวณหาความเร็วอากาศ  $tas$  หน่วยเป็นน็อตต์จากความดันสถิต  $p$  และความดันแตกต่าง  $dp$  หน่วยเป็นนิ้วปรอทสามารถคำนวณได้ตามสมการ 5.10 5.11และ5.12

$$m = \sqrt{5 \times \left( \left( \frac{dp}{p} + 1 \right)^{\frac{2}{7}} - 1 \right)} \quad \dots\dots\dots(5.10)$$

$$cs = 38.967854 \sqrt{(t + 273.15)} \quad \dots\dots\dots(5.11)$$

$$tas = m \times cs \quad \dots\dots\dots(5.12)$$

โดย  $cs$  คือความเร็วเสียง ณ ความสูงใดๆหน่วยเป็นน็อตต์  
 $m$  คือเลขมัค  
 $t$  คืออุณหภูมิ

**2.3.2. การคำนวณหาค่าพารามิเตอร์จากใจโรสโคป [10]**

เนื่องจากการรับข้อมูลจากใจโรสโคปนั้น ข้อมูลมีขนาด 16 บิต(data)จะต้องแปลงกลับมาเป็นค่ามุม ( angle )หน่วยเป็นองศาของมุมม้วนตัวและมุมเงยด้วยสมการ 5.13

$$angle = \frac{data \times 180}{32768} \dots\dots\dots(5.13)$$

**5.3. โปรแกรมแสดงผลการบิน**



รูปที่ 5.16 การแสดงผลสัญลักษณ์เครื่องบินบนแผนที่และเครื่องวัดประกอบการบิน

ในการควบคุมบ.เข้าบินผ่านหน้าจอคอมพิวเตอร์ กรณีที่บ.เข้าบินอยู่ห่างเกินกว่าระยะ 2 กิโลเมตร ผู้บังคับบ.เข้าบินจำเป็นต้องได้รับข้อมูลต่างๆ จากรูปที่ 5.16 สามารถแบ่งการแสดงผลเป็น 2 ประเภทคือ การแสดงแผนที่และการแสดงผลเครื่องวัดประกอบการบิน ลักษณะสำคัญดังนี้

### 5.3.1. การแสดงแผนที่



รูปที่ 5.17 การแสดงผลสัญลักษณ์เครื่องบินบนแผนที่

จากรูปที่ 5.17 การแสดงแผนที่ที่พัฒนาขึ้นโดยโปรแกรม MapInfo MapX ซึ่งเป็นโปรแกรม แอพลิเคชันที่พัฒนาโดยบริษัท แม็พอินโฟ จำกัด โดยไฟล์ที่เก็บรายละเอียดของแผนที่เป็นไฟล์นามสกุล TAB ความละเอียดแผนที่ 130x130 จุดต่อนิ้ว บนพิกัดมาตรฐาน WGS84

คุณสมบัติการแสดงผลแผนที่คือ แสดงไอคอนของเครื่องบินโดยสามารถเปลี่ยนทิศทางของ ไอคอนตามทิศทางของเครื่องบินที่เกิดขึ้นจริง อีกทั้งยังแสดงเส้นทางการบินตามเส้นทางการบินของ บ.เป่าบินที่เกิดขึ้นจริงนับตั้งแต่จุดเริ่มต้น



รูปที่ 5.18 ทูลบาร์ช่วยเหลือการใช้งานแผนที่

จากรูปที่ 5.18 การแสดงแผนที่ที่มีทูลบาร์สำหรับช่วยเหลือการใช้งานแผนที่ ภายในประกอบไปด้วย 10 ปุ่มคือปุ่มลูกศร ปุ่มเพิ่มขนาดแผนที่ ปุ่มลดขนาดแผนที่ ปุ่มเลื่อนแผนที่ ปุ่มเซตกึ่งกลาง ปุ่มหาระยะห่างปุ่มรูปแบบไอคอน ปุ่มเพิ่ม/ลดไฟล์แผนที่ ปุ่มรูปแบบเส้นทางการบิน และปุ่มลบเส้นทางการบิน ซึ่งแต่ละปุ่มมีลักษณะการใช้งานตามลำดับดังนี้

- ปุ่มลูกศร ปุ่มนี้ใช้กับงานทั่วไป
- ปุ่มเพิ่มขนาดแผนที่ ผู้ใช้สามารถเห็นรายละเอียดของแผนที่มากขึ้นแต่พื้นที่ในการมองลดลง
- ปุ่มลดขนาดแผนที่ ผู้ใช้สามารถเห็นพื้นที่ในการมองมากขึ้น แต่รายละเอียดแผนที่จะลดลง
- ปุ่มเลื่อนแผนที่ ผู้ใช้สามารถเลื่อนแผนที่ไปยังที่ที่ต้องการได้เพื่อให้ทราบรายละเอียดของแผนที่ในพื้นที่นั้น
- ปุ่มเซตกึ่งกลาง กำหนดตำแหน่งปัจจุบันเป็นจุดกึ่งกลางกรอบแผนที่
- ปุ่มหาระยะห่างเมื่อกดปุ่มนี้แล้วลากเมาส์ออกไปโดยคลิกเมาส์ค้างไว้จะแสดงระยะรัศมีที่ห่างออกไปหน่วยเป็นกิโลเมตร
- ปุ่มรูปแบบไอคอน สามารถเปลี่ยนรูปแบบ ขนาดและสีไอคอนเครื่องบินได้
- ปุ่มเพิ่ม/ลดไฟล์แผนที่ที่สามารถเพิ่มไฟล์แผนที่และลดไฟล์แผนที่เพื่อแสดงผลในการแสดงแผนที่
- ปุ่มรูปแบบเส้นทางบินสามารถเปลี่ยนรูปแบบ ขนาดและสีเส้นทางบินได้
- ปุ่มลบเส้นทางบินสามารถลบเส้นทางบินที่มีอยู่ในขณะนี้

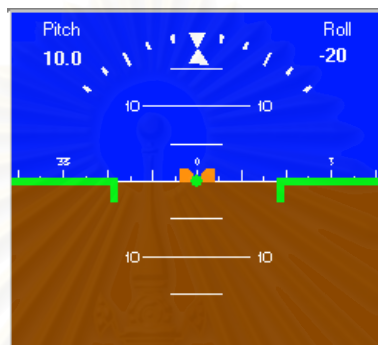
### 5.3.2. การแสดงผลเครื่องวัดประกอบการบิน



รูปที่ 5.19 หน้าปัดเครื่องวัดประกอบการบิน

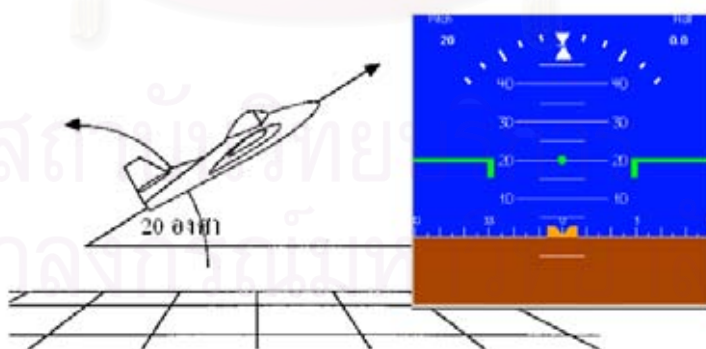
จากรูปที่ 5.19 การแสดงผลเครื่องวัดประกอบการบินพัฒนาขึ้นโดยโปรแกรม GMS Aircraft Instruments เป็นโปรแกรมเอกทีพีเอ็กพัฒนาโดยบริษัท โกลบอลเมจิคซอฟต์แวร์ จำกัด ประกอบด้วยเครื่องวัดความสูง เครื่องวัดท่าทางการบิน เครื่องวัดทิศทาง เครื่องวัดความเร็ว อากาศ เครื่องวัดความสูงจากระดับน้ำทะเลมาตรฐานและเครื่องวัดความเร็วพื้น เครื่องวัดประกอบการบินแต่ละชนิดมีลักษณะดังนี้

### 1. เครื่องวัดท่าทางการบิน



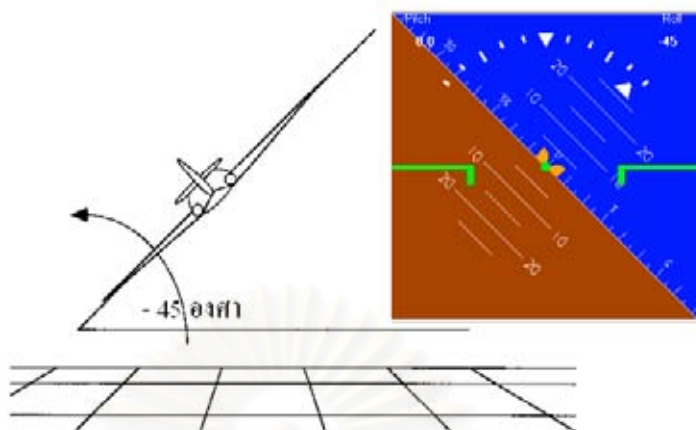
รูปที่ 5.20 เครื่องวัดท่าทางการบินของโปรแกรม GMS Aircraft Instrument

จากรูปที่ 5.20 เครื่องวัดท่าทางการบินของโปรแกรม GMS Aircraft Instrument มีลักษณะกรอบภายนอกเป็นสี่เหลี่ยมแล้วแบ่งออกเป็น 2 ส่วนในสภาวะการบินระดับด้านบนจะเป็นสีน้ำตาลหมายถึงท้องฟ้า ด้านล่างเป็นสีน้ำตาลหมายถึงพื้นดินหัวมุมบนด้านขวาจะบอกมุมเงย หัวมุมบนด้านซ้ายจะบอกมุมม้วนตัว โดยค่ามุมเงยและมุมม้วนตัวได้รับจากไจโรสโคป ตัวอย่างการแสดงผลเครื่องวัดท่าทางการบินมีรายละเอียดสำคัญดังนี้



รูปที่ 5.21 เครื่องวัดท่าทางการบินเมื่ออบ.เข้าบินเงยทำมุม 20 องศากับแนวระดับ

จากรูปที่ 5.21 เมื่ออบ.เข้าบินเงยทำมุม 20 องศากับแนวระดับจะเห็นว่าเครื่องวัดท่าทางการบินจะมีสีน้ำตาลคือท้องฟ้ามากกว่าสีน้ำตาลคือดินและเส้นวัดระดับอยู่ในแนว 20 องศา



รูปที่ 5.22 เครื่องวัดท่าทางการบินเมื่อเครื่องบินม้วนตัวทำมุม -45 องศา กับแนวระดับ

จากรูปที่ 5.22 เมื่อเครื่องบินม้วนตัวทำมุม -45 องศา กับแนวระดับ จะเห็นว่ามุมของเส้นระดับในเครื่องวัดท่าทางการบินจะมีลักษณะการแสดงผลตรงข้ามกับแนวของปีกคือไม่ว่าปีกของเครื่องบินทำมุมอย่างไร มุมของเส้นระดับในเครื่องวัดท่าทางการบินจะตรงข้ามกัน

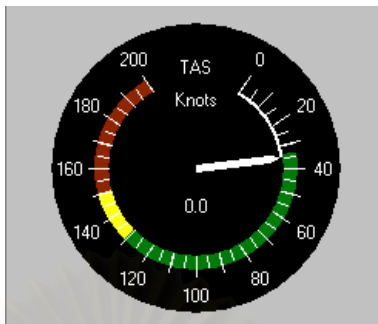
## 2. เครื่องวัดความสูง



รูปที่ 5.23 เครื่องวัดความสูงของโปรแกรม GMS Aircraft Instrument

จากรูปที่ 5.23 เครื่องวัดความสูงของโปรแกรม GMS Aircraft Instrument จะมีเข็มอยู่ 2 เข็ม เข็มยาวสุดแสดงความสูงในหลัก 100 ฟุตและเข็มสั้นแสดงหลัก 1,000 ฟุตและมีช่องตัวเลข ด้านซ้ายและขวา 2 ช่อง ช่องซ้ายแสดงหลัก 10,000 ฟุต ช่องขวาแสดงความสูง ณ ตำแหน่ง สนามบินค่าความสูงที่แสดงคำนวณจากความดันสถิตซึ่งได้รับจากทรานส์ดีวเซอร์วัดความดันสถิต

### 3. เครื่องวัดความเร็วอากาศ



รูปที่ 5.24 เครื่องวัดความเร็วอากาศของโปรแกรม GMS Aircraft Instrument

จากรูปที่ 5.24 เครื่องวัดความเร็วอากาศของโปรแกรม GMS Aircraft Instrument มีลักษณะเป็นวงกลมและมีตัวเลขบอกค่าความเร็วอากาศอยู่ในช่วง 0 ถึง 200 น็อตต์ และยังมีแถบสี 3 สี บอกถึงระดับการเตือนในการใช้ความเร็วขณะบินบิน สีเขียวคือปลอดภัยช่วง 0 ถึง 130 น็อตต์ สีเหลืองคือระวังช่วง 130 ถึง 150 น็อตต์ และสีแดงคืออันตรายช่วง 150 ถึง 200 น็อตต์ ค่าความเร็วอากาศที่ได้คำนวณจากความดันสถิต และความดันแตกต่าง ซึ่งได้รับจากทรานส์ดิวเซอร์วัดความดันสถิตและความดันแตกต่าง

### 4. เครื่องวัดทิศทาง



รูปที่ 5.25 เครื่องวัดทิศทางของโปรแกรม GMS Aircraft Instrument

จากรูปที่ 5.25 เครื่องวัดทิศทางของโปรแกรม GMS Aircraft Instrument มีลักษณะวงกลมโดยมีเครื่องบินอยู่ตรงกลางสามารถหมุนได้โดยรอบตัวเลขที่แสดงอยู่บนหน้าปัดจะแสดงโดยการตัดเลขศูนย์ออก เช่น เลข 6 หมายถึง 60 องศา หรือ 12 หมายถึง 120 องศา หากเครื่องบินหันทิศไปทางเลข 3 หมายถึงกำลังมุ่งหน้าทำมุม 30 องศากับทิศเหนือคือทิศตะวันออก หากเครื่องบินหันทิศไปทางเลข 18 หมายถึงกำลังมุ่งหน้าทำมุม 180 องศากับทิศเหนือคือทิศใต้ โดยค่าทิศทางได้รับจากจีพีเอส



## 5. เครื่องวัดความสูงจากระดับน้ำทะเลมาตรฐาน



รูปที่ 5.26 เครื่องวัดความสูงจากระดับน้ำทะเลมาตรฐานของโปรแกรม GMS Aircraft Instrument

จากรูปที่ 5.26 เครื่องวัดความสูงจากระดับน้ำทะเลมาตรฐานของโปรแกรม GMS Aircraft Instrument มีเข็มอยู่ 2 เข็ม เข็มยาวสุดแสดงความสูงในหลัก 100 ฟุตและเข็มสั้นแสดงหลัก 1,000 ฟุตและมีช่องตัวเลขด้านซ้ายและขวา 2 ช่อง ช่องซ้ายแสดงหลัก 10,000 ฟุต ช่องขวาจะไม่ใช้งานเพราะไม่ต้องกำหนดความสูง ณ ตำแหน่งสนามบิน ค่าความสูงที่แสดงเป็นค่าความสูงจากระดับน้ำทะเลซึ่งส่งมาจากจีพีเอส

## 6. เครื่องวัดความเร็วพื้น



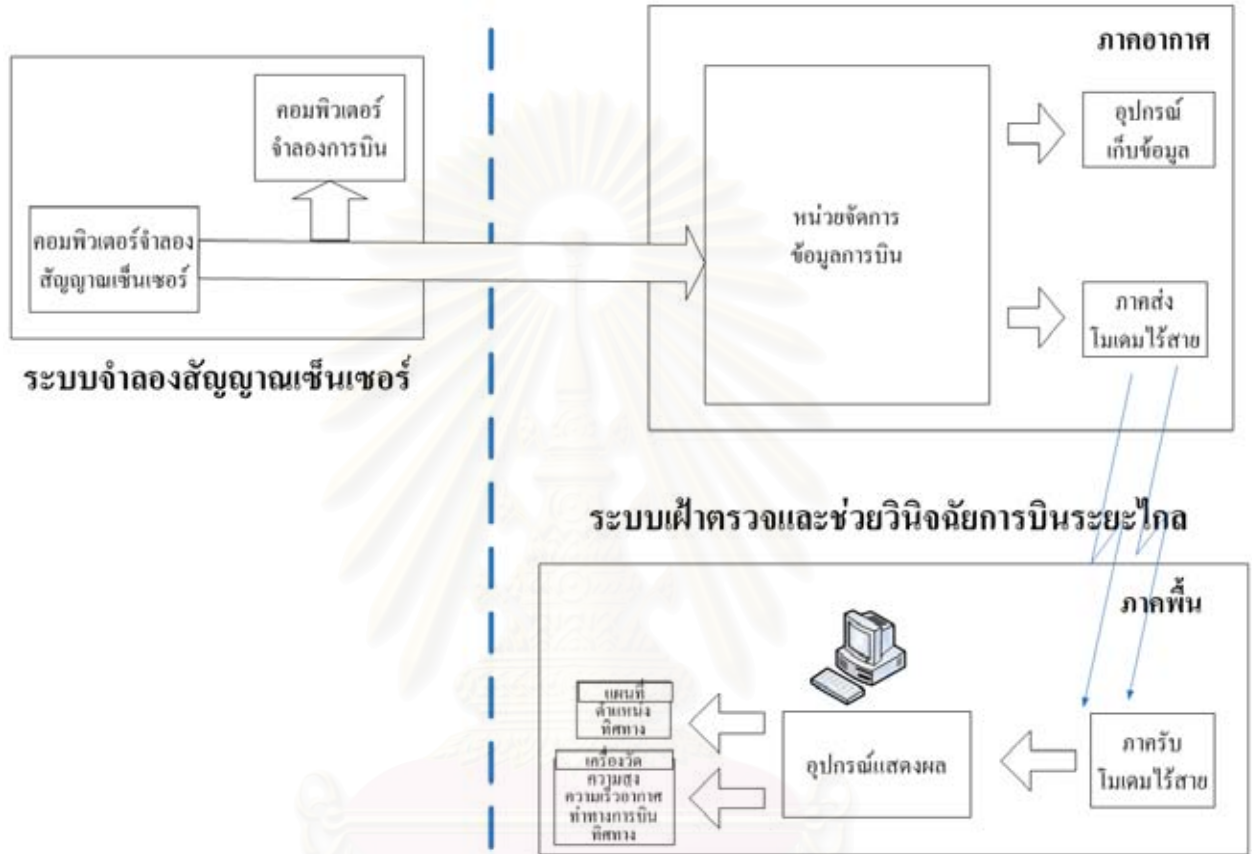
รูปที่ 5.27 เครื่องวัดความเร็วพื้นของโปรแกรม GMS Aircraft Instrument

จากรูปที่ 5.27 เครื่องวัดความเร็วพื้นของโปรแกรม GMS Aircraft Instrument มีลักษณะเป็นวงกลมและมีตัวเลขบอกค่าความเร็วอากาศอยู่ในช่วง 0 ถึง 200 น็อตต์ และยังมีแถบสี 3 สี บอกถึงระดับการเตือนในการใช้ความเร็วในการบิน สีเขียวคือปลอดภัยช่วง 0 ถึง 130 น็อตต์ สีเหลืองคือระวังช่วง 130 ถึง 150 น็อตต์ และสีแดงคืออันตรายช่วง 150 ถึง 200 น็อตต์ ค่าที่แสดงเป็นความเร็วพื้นซึ่งได้รับจากจีพีเอส

## บทที่ 6

### การทดสอบในห้องปฏิบัติการ

#### 6.1. ระบบจำลองสัญญาณเซ็นเซอร์



รูปที่ 6.1 โครงสร้างระบบจำลองสัญญาณเซ็นเซอร์

จากรูปที่ 6.1 การทดสอบในห้องปฏิบัติการเป็นการจำลองสัญญาณของเซ็นเซอร์ชนิดต่างๆโดยอาศัยคอมพิวเตอร์จำลอง เพื่อส่งสัญญาณจำลองไปทดสอบการทำงานของหน่วยจัดการข้อมูลการบินของคอนโทรลเลอร์ในภาคอากาศและทดสอบการทำงานของอุปกรณ์แสดงผลในภาคพื้น อุปกรณ์ทั้งหมดวางไว้บนโต๊ะทดลองในห้องปฏิบัติการวิจัย

ขณะทำการทดสอบจะมีการส่งและรับข้อมูลผ่านโมเด็มไร้สาย แต่เนื่องจากอุปกรณ์ทั้งหมดอยู่ในห้องปฏิบัติการการทดสอบโมเด็มไร้สายจึงทดสอบได้แค่การทำงานทั่วไป การทดสอบระยะทางในการสื่อสารจะทำการทดสอบในการทดสอบภาคสนามซึ่งจะกล่าวถึงในบทต่อไป

ระบบจำลองสัญญาณเซ็นเซอร์จะประกอบด้วยคอมพิวเตอร์จำลองสัญญาณเซ็นเซอร์ซึ่งได้มีการพัฒนาขึ้นในศูนย์วิทยาศาสตร์และพัฒนาระบบอาวุธกองทัพอากาศ คอมพิวเตอร์จำลอง

สัญญาณเซ็นเซอร์ดังกล่าวสามารถจำลองสัญญาณสัญญาณขาออกเซ็นเซอร์ต่างๆได้เช่น ใจโรสโคป ทรานส์ดิวเซอร์วัดความดันสถิตและทรานส์ดิวเซอร์วัดความดันแตกต่าง นอกจากนั้นศูนย์วิทยาศาสตร์และพัฒนาระบบอาวุธกองทัพอากาศยังได้พัฒนาคอมพิวเตอร์จำลองการบินที่สามารถรับสัญญาณจำลองจากคอมพิวเตอร์จำลองสัญญาณเซ็นเซอร์แล้วนำไปแสดงผลเป็นรูปหน้าปัดเครื่องวัดประกอบการบินบนหน้าจอมอนิเตอร์ดังรูปที่ 6.2



รูปที่ 6.2 (ซ้าย)คอมพิวเตอร์จำลองการบิน(กลาง)อุปกรณ์แสดงผลการบินภาคพื้นพัฒนาขึ้นและ(ขวา)คอมพิวเตอร์จำลองสัญญาณเซ็นเซอร์

## 6.2. การทดสอบในห้องปฏิบัติการ

การทดสอบในห้องปฏิบัติการจะเริ่มจากการทดสอบฟังก์ชันรีด-โซโลมอน การทดสอบการถอดรหัสใจโรสโคป การทดสอบการถอดรหัสทรานส์ดิวเซอร์วัดความดันสถิตและการทดสอบการถอดรหัสความดันแตกต่างการทดสอบเหล่านี้จะเริ่มต้นจากการทดสอบการอ่านค่าข้อมูลการบินที่ได้จากหน่วยจัดการข้อมูลการบินได้แก่ การอ่านค่า ละติจูดและลองจิจูดของจีพีเอส การอ่านค่ามุมเงยและมุมม้วนตัวของใจโรสโคป การอ่านค่าความดันสถิตจากทรานส์ดิวเซอร์วัดความดันสถิต และการอ่านค่าความดันแตกต่างจากทรานส์ดิวเซอร์วัดความดันแตกต่าง

จากนั้นจะทำการทดสอบการแสดงผลของอุปกรณ์แสดงผลเพื่อให้ทราบถึงความถูกต้องของการแสดงผล เช่นการแสดงผลเครื่องวัดประกอบการบินได้แก่ เครื่องวัดท่าทางการบิน และ เครื่องวัดสูง

### 6.2.1. การทดสอบฟังก์ชันรีด-ไซโลมอน

เพื่อแก้ไขความผิดพลาดที่อาจเกิดขึ้นขณะส่งสัญญาณโดยโมเด็มไร้สาย ในวิทยานิพนธ์นี้ จึงได้สร้างฟังก์ชันรีด-ไซโลมอน(14,10)ซึ่งประกอบด้วยสัญลักษณ์ข้อมูล 10 สัญลักษณ์และสัญลักษณ์พาริตี 4 สัญลักษณ์ มีความสามารถในการตรวจหาความผิดพลาดและมีความสามารถแก้ไขความผิดพลาดได้ 2 สัญลักษณ์แต่ละสัญลักษณ์มีขนาด 4 บิต ในการทดสอบนี้เป็นการทดสอบว่าฟังก์ชันรีด-ไซโลมอน(14,10)สามารถตรวจหาความผิดพลาดและสามารถแก้ไขความผิดพลาดได้ 2 สัญลักษณ์จริงหรือไม่

การทดสอบการทำงานของฟังก์ชันการถอดรหัสรีด-ไซโลมอนในอุปกรณ์แสดงผลเริ่มจากกำหนดข้อมูลถูกต้องที่จะส่งในรหัสรีด-ไซโลมอนเป็น {0,1,3,5,6,0,0,9,3,3,1,3,2,4,4} จากนั้นจะทำการทดสอบ 4 ครั้งโดยเริ่มจากการส่งข้อมูลที่ถูกต้องแล้วส่งข้อมูลที่มีความผิดพลาด 1 ตำแหน่ง 2 ตำแหน่งและ 3 ตำแหน่ง ผลลัพธ์ที่ได้จะถูกบันทึกเป็นไฟล์ PLT เนื่องจากโพรโตคอลของการบินประกอบด้วยรหัสรีด-ไซโลมอนจำนวน 6 บล็อกโดยเลขแทนตำแหน่งความผิดพลาดของแต่ละบล็อกจะแสดงเป็นเลขฐานสองโดยจะอยู่ในฟิลด์ 16 17 18 19 20 และ 21 ของไฟล์ PLT เมื่อให้อักขระ ',' เป็นตัวคั่น หากพบตำแหน่งความผิดพลาด 1 และ 2 ตำแหน่งสามารถตรวจหาความผิดพลาดและสามารถแก้ไขความผิดพลาดนั้นได้ ส่วนความผิดพลาด 3 ตำแหน่งนั้นสามารถตรวจสอบได้แต่ไม่สามารถแก้ไขความผิดพลาดได้โดยจะแสดงเป็นเลข 16,383 หรือ "111111111111" ในเลขฐานสองคือกำหนดให้ผิดทั้ง 14 ตำแหน่ง ผลการทดสอบเป็นดังนี้

```

#####
recd[14] = 0;
recd[13] = 1;
recd[12] = 3;
recd[11] = 5;
recd[10] = 6;
recd[9] = 0;
recd[8] = 0;
recd[7] = 9;
recd[6] = 3;
recd[5] = 3;
recd[4] = 1;
recd[3] = 3;
recd[2] = 2;
recd[1] = 4;
recd[0] = 4;
#####
1,01:08:33,27.1912,0.8075,,,,,,,,,0,0,0,0,0,100,2*
2,01:08:33,27.1912,0.8075,,,,,,,,,0,0,0,0,0,100,2*
3,01:08:33,27.1912,0.8075,,,,,,,,,0,0,0,0,0,100,2*
4,01:08:33,27.1912,0.8075,,,,,,,,,0,0,0,0,0,100,2*
5,01:08:33,27.1912,0.8075,,,,,,,,,0,0,0,0,0,50,1*
6,01:08:34,27.1912,0.8075,,,,,,,,,0,0,0,0,0,150,3*
7,01:08:34,27.1912,0.8075,,,,,,,,,0,0,0,0,0,100,2*
8,01:08:34,27.1912,0.8075,,,,,,,,,0,0,0,0,0,100,2*
9,01:08:34,27.1912,0.8075,,,,,,,,,0,0,0,0,0,58,1*
10,01:08:34,27.1912,0.8075,,,,,,,,,0,0,0,0,0,200,4*
11,01:08:34,27.1912,0.8075,,,,,,,,,0,0,0,0,0,192,4*
12,01:08:34,27.1912,0.8075,,,,,,,,,0,0,0,0,0,108,2*
13,01:08:34,27.1912,0.8075,,,,,,,,,0,0,0,0,0,92,2*

```

รูปที่ 6.3 ผลการทดสอบครั้งที่ 1 เมื่อยังไม่มีผิดพลาด

```

////////////////////////////////////
recd[14] = 0;
recd[13] = 1 ;
recd[12]=3;
recd[11 ]=5 ;
recd[10] =6;
recd[9] =0 ;
recd[8] =0;
recd[7] = 9 ;
recd[6] =3;
recd[5] =3 ;
recd[4] =1;
recd[3]=3 ;
recd[2] =2;
recd[1] = 4 ;
recd[0] =0;//recd[0] =4;
////////////////////////////////////
0,01:36:21,27.1912,0.8075,,,,,,,,,,,,,1,1,1,1,1,750,15*
1,01:36:22,27.1912,0.8075,,,,,,,,,,,,,1,1,1,1,1,150,3*
2,01:36:22,27.1912,0.8075,,,,,,,,,,,,,1,1,1,1,1,150,3*
3,01:36:22,27.1912,0.8075,,,,,,,,,,,,,1,1,1,1,1,100,2*
4,01:36:22,27.1912,0.8075,,,,,,,,,,,,,1,1,1,1,1,150,3*
5,01:36:22,27.1912,0.8075,,,,,,,,,,,,,1,1,1,1,1,116,2*
6,01:36:22,27.1912,0.8075,,,,,,,,,,,,,1,1,1,1,1,134,3*
7,01:36:22,27.1912,0.8075,,,,,,,,,,,,,1,1,1,1,1,100,2*
8,01:36:22,27.1912,0.8075,,,,,,,,,,,,,1,1,1,1,1,100,2*
9,01:36:23,27.1912,0.8075,,,,,,,,,,,,,1,1,1,1,1,200,4*
10,01:36:23,27.1912,0.8075,,,,,,,,,,,,,1,1,1,1,1,100,2*
11,01:36:23,27.1912,0.8075,,,,,,,,,,,,,1,1,1,1,1,100,2*
12,01:36:23,27.1912,0.8075,,,,,,,,,,,,,1,1,1,1,1,150,3*
13,01:36:23,27.1912,0.8075,,,,,,,,,,,,,1,1,1,1,1,200,4*
    
```

รูปที่ 6.4 ผลการทดสอบครั้งที่ 2 เมื่อกำหนดความผิดพลาด 1 ตำแหน่งคือตำแหน่ง 0

```

////////////////////////////////////
recd[14] = 0;
recd[13] = 1 ;
recd[12]=3;
recd[11 ]=5 ;
recd[10] =6;
recd[9] =0 ;
recd[8] =0;
recd[7] = 9 ;
recd[6] =3;
recd[5] =3 ;
recd[4] =1;
recd[3]=3 ;
recd[2] =2;
recd[1] = 4 ;
recd[0] =7;// recd[0] =4;
////////////////////////////////////
0,02:02:41,27.1912,0.8075,,,,,,,,,,,,,129,129,129,129,129,342,7*
1,02:02:41,27.1912,0.8075,,,,,,,,,,,,,129,129,129,129,129,76,2*
2,02:02:41,27.1912,0.8075,,,,,,,,,,,,,129,129,129,129,129,50,1*
3,02:02:41,27.1912,0.8075,,,,,,,,,,,,,129,129,129,129,129,50,1*
4,02:02:41,27.1912,0.8075,,,,,,,,,,,,,129,129,129,129,129,50,1*
5,02:02:41,27.1912,0.8075,,,,,,,,,,,,,129,129,129,129,129,40,0*
6,02:02:42,27.1912,0.8075,,,,,,,,,,,,,129,129,129,129,129,18,1*
7,02:02:42,27.1912,0.8075,,,,,,,,,,,,,129,129,129,129,129,74,1*
8,02:02:42,27.1912,0.8075,,,,,,,,,,,,,129,129,129,129,129,50,1*
9,02:02:42,27.1912,0.8075,,,,,,,,,,,,,129,129,129,129,129,34,1*
10,02:02:42,27.1912,0.8075,,,,,,,,,,,,,129,129,129,129,129,42,1*
11,02:02:42,27.1912,0.8075,,,,,,,,,,,,,129,129,129,129,129,42,1*
12,02:02:42,27.1912,0.8075,,,,,,,,,,,,,129,129,129,129,129,50,1*
13,02:02:42,27.1912,0.8075,,,,,,,,,,,,,129,129,129,129,129,58,1*
14,02:02:42,27.1912,0.8075,,,,,,,,,,,,,129,129,129,129,129,42,1*
    
```

รูปที่ 6.5 ผลการทดสอบครั้งที่ 3 เมื่อกำหนดความผิดพลาด 2 ตำแหน่งคือตำแหน่ง 0 และ 7

```

////////////////////////////////////
recd[14] = 0;
recd[13] = 1 ;
recd[12]=3;
recd[11 ]=5 ;
recd[10] =6;
recd[9] =0 ;
recd[8] =0;
recd[7] = 9 ;
recd[6] =3;
recd[5] =3 ;
recd[4] =1;
recd[3]=3 ;
recd[2] =2;
recd[1] = 5 ;//recd[1] =4 ;
recd[0] =7;// recd[0] =4;
////////////////////////////////////
0,22:59:07,45.0000,35.0000,,,,,,,,,,,,,16383,16383,16383,16383,16383,16383,232,5*
1,22:59:07,45.0000,35.0000,,,,,,,,,,,,,16383,16383,16383,16383,16383,16383,64,1*
2,22:59:07,45.0000,35.0000,,,,,,,,,,,,,16383,16383,16383,16383,16383,16383,48,1*
3,22:59:07,45.0000,35.0000,,,,,,,,,,,,,16383,16383,16383,16383,16383,16383,72,2*
4,22:59:07,45.0000,35.0000,,,,,,,,,,,,,16383,16383,16383,16383,16383,16383,40,0*
5,22:59:08,45.0000,35.0000,,,,,,,,,,,,,16383,16383,16383,16383,16383,16383,72,2*
6,22:59:08,45.0000,35.0000,,,,,,,,,,,,,16383,16383,16383,16383,16383,16383,40,1*
7,22:59:08,45.0000,35.0000,,,,,,,,,,,,,16383,16383,16383,16383,16383,16383,32,0*
8,22:59:08,45.0000,35.0000,,,,,,,,,,,,,16383,16383,16383,16383,16383,16383,48,1*
9,22:59:08,45.0000,35.0000,,,,,,,,,,,,,16383,16383,16383,16383,16383,16383,32,1*
    
```

รูปที่ 6.6 ผลการทดสอบครั้งที่ 4 เมื่อกำหนดความผิดพลาด 3 ตำแหน่งคือตำแหน่ง 0 1 และ 7



ผลการทดสอบพบว่าข้อมูลที่อ่านได้คือ ตำแหน่ง ลองจิจูดที่  $100^{\circ} 35.562'$  และ ละติจูดที่  $13^{\circ} 56.472'$  ซึ่งตรงกับตำแหน่งอ้างอิง และเมื่อแสดงตำแหน่งบนเข้าบินบนแผนที่ด้วยโปรแกรม แสดงผลภาคพื้นที่ยิ่งแสดงให้เห็นว่าสามารถที่จะแสดงผลในตำแหน่งที่ถูกต้อง

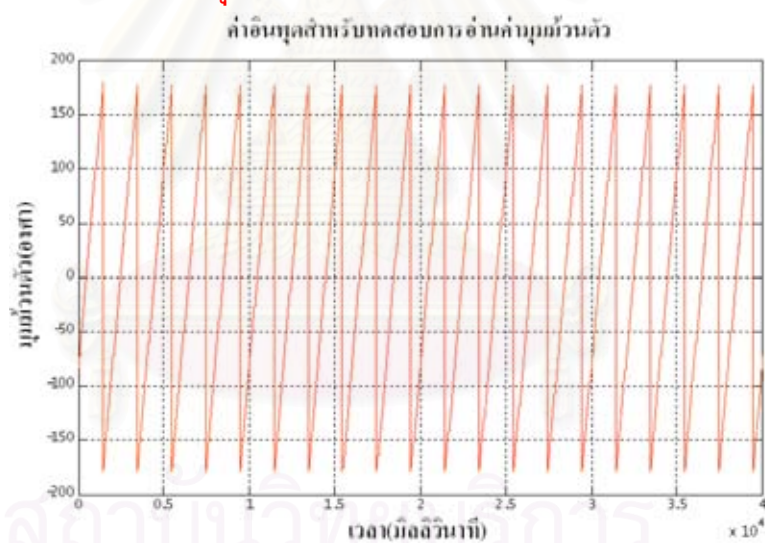
ทั้งหมดที่กล่าวมาสามารถสรุปได้ว่าความถูกต้องของค่าละติจูดและลองจิจูดที่ได้จากการ ถอดรหัสจีพีเอสและการแสดงผลตำแหน่งสามารถแสดงได้ถูกต้อง

### 6.2.3. การทดสอบการถอดรหัสใจโรสโคป

การทดสอบการถอดรหัสใจโรสโคปจะทำการตรวจสอบความถูกต้องของค่ามุมเงยและมุม ม้วนตัวที่ถอดจากสัญญาณใจโรสโคปว่าถูกต้องหรือไม่

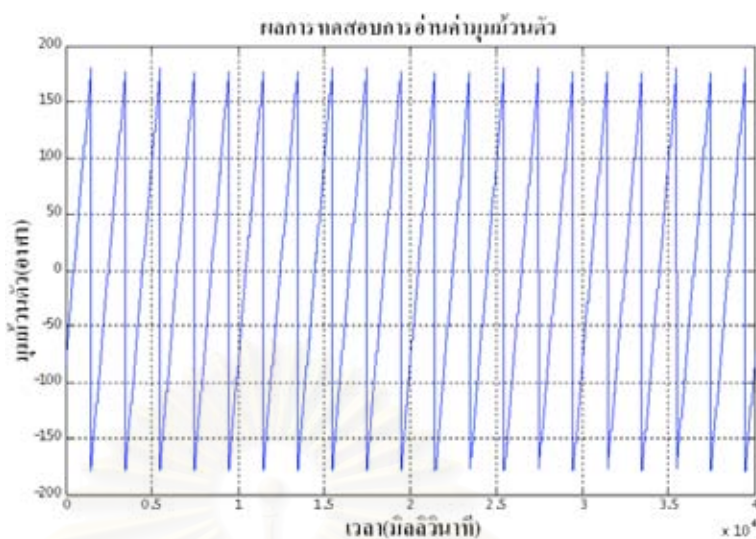
การทดสอบเริ่มต้นด้วยการส่งสัญญาณใจโรสโคปที่สร้างขึ้นจากคอมพิวเตอร์จำลอง สัญญาณเซ็นเซอร์ให้กับหน่วยจัดการข้อมูลการบินจากนั้นทำการบันทึกข้อมูลเป็นไฟล์ PLT แล้ว นำข้อมูลที่ได้มาจัดเป็นตารางด้วยโปรแกรมไมโครซอฟต์เอ็กเซลล์สุดท้ายวิเคราะห์ค่าที่ได้ด้วย โปรแกรมแมทแล็บ

#### 1. การทดสอบการอ่านค่ามุมม้วนตัว



รูปที่ 6.8 ค่าอินพุตสำหรับทดสอบการอ่านค่ามุมม้วนตัว

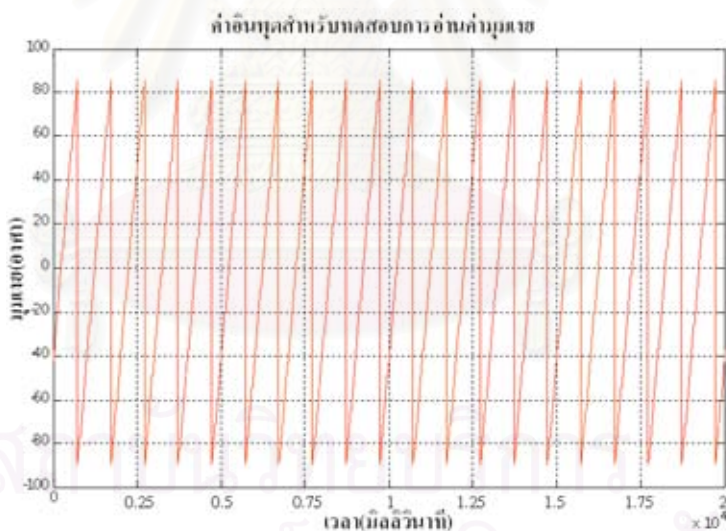
การทดสอบการอ่านค่ามุมม้วนตัว สัญญาณทดสอบจะเป็นสัญญาณที่มีค่าเพิ่มจากค่าต่ำสุดซึ่งมีค่า  $-180$  องศาและค่อยๆเพิ่มขึ้นไปถึงค่าสูงสุดซึ่งมีค่า  $+180$  องศา ใจโรสโคปที่นำมาใช้มี อัตราการเพิ่มของมุมม้วนตัวไม่เกิน  $200$  องศาต่อวินาที ดังนั้นจึงกำหนดให้อัตราการเพิ่มของ สัญญาณมีค่าใกล้เคียงโดยมีค่าเท่ากับ  $180$  องศาต่อวินาทีซึ่งก็เป็นค่าที่เพียงพอแล้วเนื่องจากใน สภาวะการบินจริงหากเกิดการเพิ่มของมุมม้วนตัวมากเกินไปผู้ควบคุมจะไม่สามารถควบคุมเข้า บินได้ สัญญาณทดสอบจะถูกส่งซ้ำๆตลอดเวลาดังรูปที่ 6.8



รูปที่ 6.9 ผลการทดสอบการอ่านค่ามุมม้วนตัว

ผลการทดสอบพบว่ามุมม้วนตัวที่อ่านได้อยู่ในช่วง  $-180$  องศาถึง  $+180$  องศาอัตราการเพิ่มของมุมม้วนตัวมีค่าเท่ากับ  $180$  องศาต่อวินาที ดังรูปที่ 6.9 ซึ่งลักษณะตรงกับสัญญาณอินพุต

## 2. การทดสอบการอ่านค่ามุมเมย

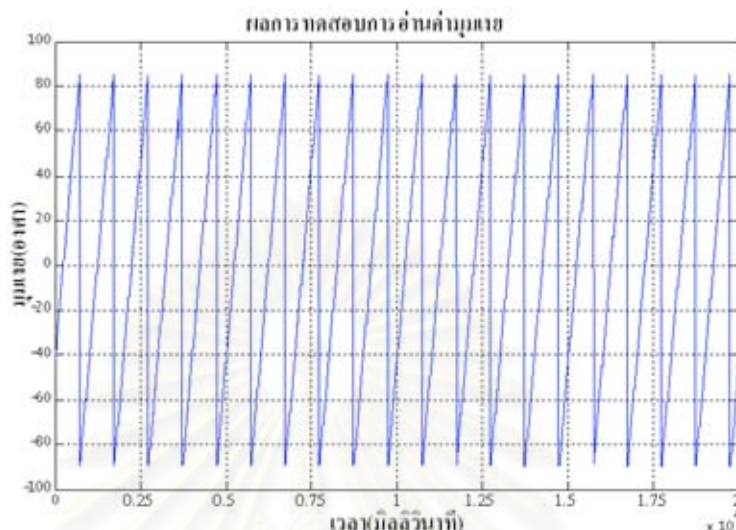


รูปที่ 6.10 ค่าอินพุตสำหรับทดสอบการอ่านค่ามุมเมย

การทดสอบการอ่านค่ามุมเมย สัญญาณทดสอบจะเป็นสัญญาณที่มีค่าเพิ่มจากค่าต่ำสุดซึ่งมีค่า  $-90$  องศาและค่อยๆเพิ่มขึ้นไปถึงค่าสูงสุดซึ่งมีค่า  $+90$  องศา ไซโรสโคปที่นำมาใช้มีอัตราการเพิ่มของมุมเมยไม่เกิน  $200$  องศาต่อวินาที ดังนั้นจึงกำหนดให้อัตราการเพิ่มของสัญญาณมีค่าใกล้เคียงโดยมีค่าเท่ากับ  $180$  องศาต่อวินาทีซึ่งก็เป็นค่าที่เพียงพอแล้วเนื่องจากในสภาวะการบิน



จริงหากเกิดการเพิ่มของมุมเงยมากเกินไปผู้ควบคุมจะไม่สามารถควบคุม.เข้าบินได้ สัญญาณทดสอบจะถูกส่งซ้ำๆตลอดเวลาดังรูปที่ 6.10



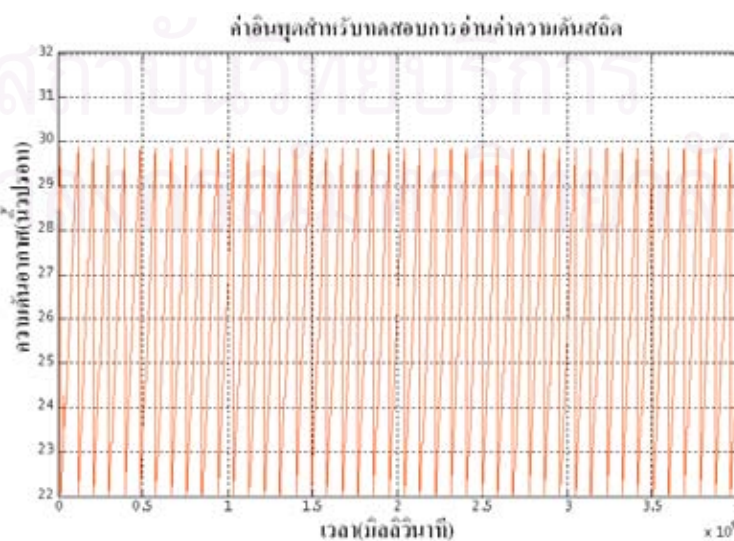
รูปที่6.11 ผลการทดสอบการอ่านค่ามุมเงย

ผลการทดสอบพบว่าค่ามุมเงยที่อ่านได้อยู่ในช่วง  $-90$  องศาถึง  $90$  องศา มีอัตราการเพิ่มของมุมเงยมีค่าเท่ากับ  $180$  องศาต่อวินาทีดังรูปที่ 6.11 ซึ่งลักษณะตรงกับสัญญาณอินพุต

จากผลการทดสอบการอ่านค่ามุมเงยและมุมม้วนตัวปรากฏว่าเอาต์พุตมีลักษณะตรงกับสัญญาณอินพุตจึงสรุปได้ว่าขบวนการถอดรหัสไวรัสโคปสามารถทำงานได้ถูกต้อง

#### 6.2.4. การทดสอบการถอดรหัสทรานส์ดีวเซอร์วัดความดันสถิต

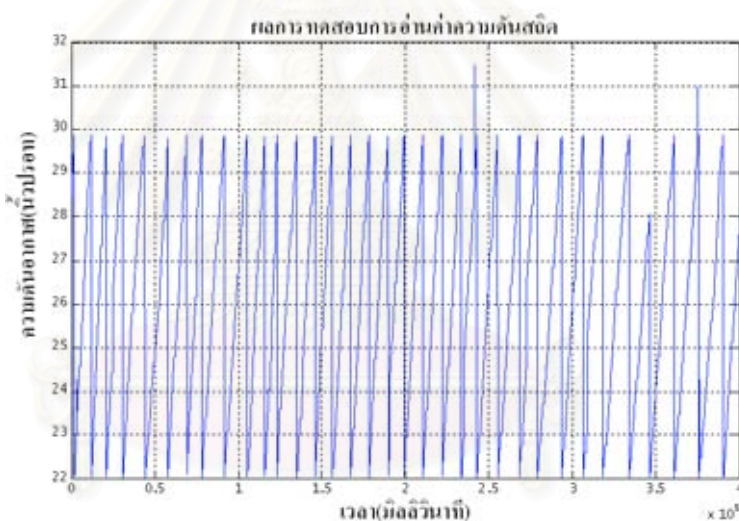
การทดสอบการถอดรหัสทรานส์ดีวเซอร์วัดความดันสถิตเพื่อทำการตรวจสอบความถูกต้องของค่าความดันสถิตที่ถอดจากสัญญาณทรานส์ดีวเซอร์วัดความดันสถิตว่าถูกต้องหรือไม่



รูปที่ 6.12 ค่าอินพุตสำหรับทดสอบการอ่านค่าความดันสถิต

การทดสอบเริ่มต้นด้วยการส่งสัญญาณทรานส์ดิวเซอร์วัดความดันสถิตที่สร้างขึ้นจากคอมพิวเตอร์จำลองสัญญาณเซ็นเซอร์ให้กับหน่วยจัดการข้อมูลการบินจากนั้นทำการบันทึกข้อมูลเป็นไฟล์ PLT แล้วนำข้อมูลที่ได้อ่านมาจัดเป็นตารางด้วยโปรแกรมไมโครซอฟต์เอ็กเซลส์สุดท้ายวิเคราะห์ค่าที่ได้ด้วยโปรแกรมแมทแล็บ

เนื่องจากในการบินของบ.เป่าบินมีค่าความสูงไม่เกิน 3,000 ฟุต โดยความดันอากาศที่ระดับน้ำทะเลมาตรฐานมีค่าเท่า 29.92 นิ้วปรอทและทุกๆ ความสูง 1000 ฟุต ค่าความดันอากาศจะลดลง 1 นิ้วปรอทโดยในการทดสอบให้ความสูงมากที่สุดประมาณ 8,000 ฟุตซึ่งมีค่ามากกว่าความสูงมากสุดของบ.เป่าบินซึ่งความสูงนี้วัดความดันได้ 22 นิ้วปรอท โดยสัญญาณทดสอบจะเป็นสัญญาณที่มีค่าเพิ่มจากค่าความดันต่ำสุดคือ 22 นิ้วปรอท ค่อยๆเพิ่มขึ้นไปถึงค่าความดันสูงสุด 29.92 นิ้วปรอทด้วยอัตราการเพิ่มของสัญญาณ 0.792 นิ้วปรอทต่อวินาที หรือความสูงเพิ่มขึ้นด้วยอัตรา 800 ฟุตต่อวินาที สัญญาณทดสอบจะถูกส่งเข้าๆตลอดเวลาดังรูปที่ 6.12

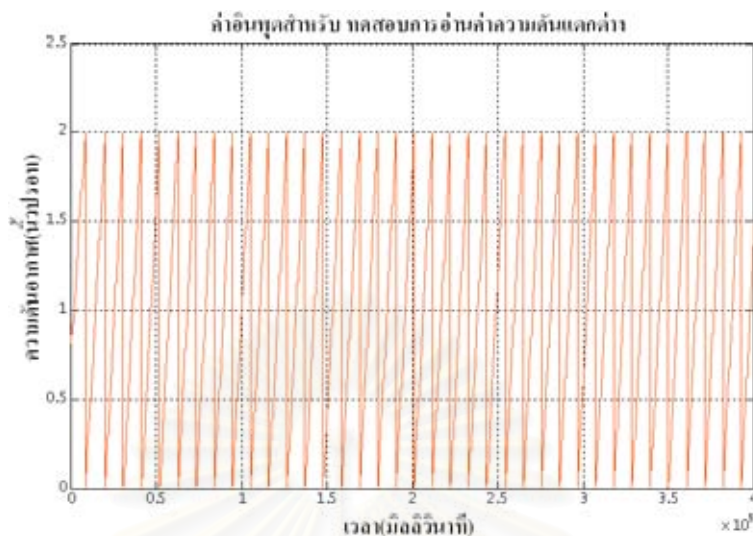


รูปที่ 6.13 ผลการทดสอบการอ่านค่าความดันสถิต

ผลการทดสอบพบว่าค่าความดันสถิตที่อ่านได้อยู่ในช่วง 22 นิ้วปรอทถึง 29.92 นิ้วปรอทด้วยอัตราการเพิ่มของสัญญาณ 0.792 นิ้วปรอทต่อวินาที ดังรูปที่ 6.13 ซึ่งมีลักษณะตรงกับอินพุตจึงสรุปได้ว่าขบวนการถอดรหัสทรานส์ดิวเซอร์วัดความดันสถิตสามารถทำงานได้ถูกต้อง

#### 6.2.5. การทดสอบการถอดรหัสทรานส์ดิวเซอร์วัดความดันแตกต่าง

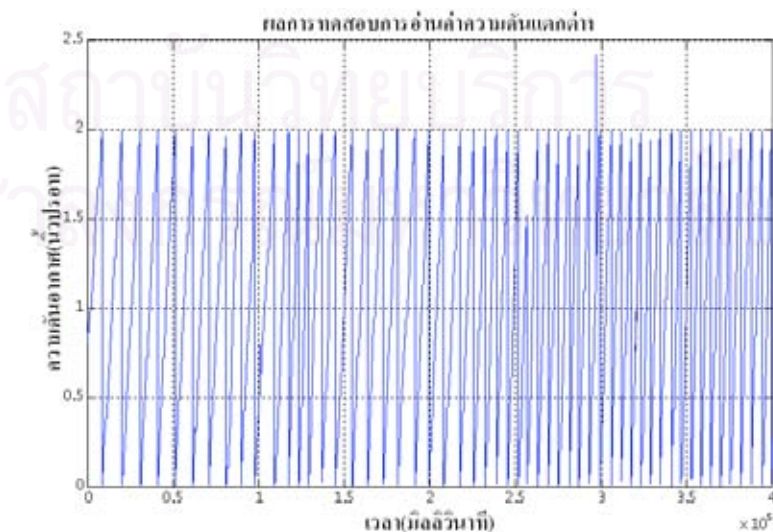
การทดสอบการถอดรหัสทรานส์ดิวเซอร์วัดความดันแตกต่างเพื่อทำการตรวจสอบความถูกต้องของค่าความดันแตกต่างที่ถอดจากสัญญาณทรานส์ดิวเซอร์วัดความดันแตกต่างว่าถูกต้องหรือไม่



รูปที่ 6.14 ค่าอินพุตสำหรับทดสอบการอ่านค่าความดันแตกต่าง

การทดสอบเริ่มด้วยการส่งสัญญาณทรานส์ดีวเซอร์วัดความดันแตกต่างที่สร้างขึ้นจากคอมพิวเตอรืจำลองสัญญาณเซ็นเซอร์ให้หน่วยจัดการข้อมูลการบินจากนั้นบันทึกข้อมูลเป็นไฟล์ PLT นำข้อมูลที่ได้มาจัดตารางด้วยโปรแกรมเอ็กเซลล์สุดท้ายวิเคราะห์ค่าด้วยโปรแกรมแมทแล็บ

เนื่องจากในการบินของบ.เป่าบินมีค่าความเร็วอากาศไม่เกิน 160 นอตต์โดยในการทดสอบให้ความเร็วอากาศมากที่สุดประมาณ 240 นอตต์ซึ่งมีค่ามากกว่าความเร็วอากาศมากที่สุดของบ.เป่าบินโดยสามารถอ่านค่าความดันแตกต่างได้ประมาณ 2 นิ้วปรอท สัญญาณทดสอบจะเป็นสัญญาณที่มีค่าเพิ่มขึ้นจากค่าต่ำสุดคือ 0 นิ้วปรอท ค่อยๆเพิ่มขึ้นไปถึงค่าสูงสุด 2 นิ้วปรอท ด้วยอัตราการเพิ่มของสัญญาณ 0.2 นิ้วปรอทต่อวินาที หรือความเร็วอากาศเพิ่มขึ้นด้วยอัตรา 24 นอตต์ต่อวินาที สัญญาณทดสอบจะถูกส่งเข้าๆตลอดเวลาดังรูปที่ 6.14



รูปที่ 6.15 ผลการทดสอบการอ่านค่าความดันแตกต่าง

ผลการทดสอบพบว่าค่าความดันแตกต่างที่อ่านได้อยู่ในช่วง 0 นิ้วปรอทถึง 2 นิ้วปรอท ด้วยอัตราการเพิ่มของสัญญาณ 0.2 นิ้วปรอทต่อวินาทีดังรูปที่ 6.15 ซึ่งมีลักษณะตรงกับอินพุตจึงสรุปได้ว่าขบวนการถอดรหัสทรานส์ดีวเซอร์วัดความดันแตกต่างสามารถทำงานได้ถูกต้อง

### 6.2.6. การทดสอบการแสดงผลเครื่องวัดประกอบการบิน

จากรูปที่ 6.16 6.17 6.18 และ 6.19 แสดงการทดสอบการแสดงผลของอุปกรณ์แสดงผล ทำการทดสอบโดยการจำลองสัญญาณสัญญาณไอโรสโคป ทรานส์ดีวเซอร์วัดความดันสถิตและความดันแตกต่างด้วยคอมพิวเตอร์จำลองสัญญาณเซ็นเซอร์ซึ่งขณะเดียวกันก็จะส่งสัญญาณจำลองทั้งสามไปแสดงค่าที่คอมพิวเตอร์จำลองการบินด้วยเพื่อทำหน้าที่เปรียบเทียบและตรวจสอบการแสดงผลของอุปกรณ์แสดงผล สัญญาณจำลองทั้งสามจะถูกส่งให้หน่วยจัดการข้อมูลการบินของภาคอากาศซึ่งจะถูกส่งต่อไปยังอุปกรณ์แสดงผลภาคพื้น อุปกรณ์แสดงผลจะแสดงสัญญาณจำลองทั้งสามเป็นค่าปรากฏบนหน้าจอโดยแสดงด้วยเครื่องวัดท่าทางการบินและเครื่องวัดความสูง จากนั้นจะทำการอ้างค่าที่ปรากฏบนหน้าจออุปกรณ์แสดงผลเปรียบเทียบและตรวจสอบกับค่าที่อ่านได้จากหน้าจอของคอมพิวเตอร์จำลองการบิน



รูปที่ 6.16 เปรียบเทียบการแสดงผลเครื่องวัดท่าทางการบิน



รูปที่ 6.17 เปรียบเทียบการแสดงผลเครื่องวัดท่าทางการบิน



รูปที่ 6.18 เปรียบเทียบการแสดงผลเครื่องวัดความสูง



รูปที่ 6.19 เปรียบเทียบการแสดงผลเครื่องวัดความสูง

จากผลการทดสอบพบว่า การแสดงผลเครื่องวัดท่าทางการบินและเครื่องวัดความสูงของอุปกรณ์แสดงผลภาคพื้นและคอมพิวเตอร์จำลองการบินซึ่งทำหน้าที่เป็นการแสดงผลอ้างอิงทำงานตรงกัน จึงสรุปได้ว่าอุปกรณ์แสดงผลภาคพื้นที่พัฒนาขึ้นสามารถแสดงผลเครื่องวัดประกอบการบินได้ถูกต้อง

สถาบันวิทยบริการ  
จุฬาลงกรณ์มหาวิทยาลัย

## บทที่ 7

### การทดสอบภาคสนาม

#### 7.1. การทดสอบการสื่อสารไร้สายและจีพีเอส

เพื่อทดสอบความสามารถของการสื่อสารไร้สายและจีพีเอส ว่าสามารถทำงานได้ไกลเกินกว่า 8 กิโลเมตรหรือไม่ จึงทำการการติดตั้งโมเด็มไร้สาย และจีพีเอสติดตั้งเข้ากับเครื่องบินฝึกแบบ 19 (PC-9) ดังรูปที่ 7.1 จากนั้นตรวจสอบคุณภาพสัญญาณการรับข้อมูลตำแหน่งจากจีพีเอส โดยทำการทดสอบ ณ.โรงเรียนการบินฯ กำแพงแสน จ.นครปฐม เมื่อวันที่ 20 มกราคม 2549



รูปที่ 7.1 ลักษณะเครื่องบินฝึกแบบ 19

##### 7.1.1. การติดตั้งระบบภาคอากาศ

ในการติดตั้งระบบภาคอากาศอุปกรณ์ที่นำมาติดตั้งได้แก่ จีพีเอส หน่วยจัดการข้อมูลการบินและภาคส่งโมเด็มไร้สาย โดยจีพีเอสติดตั้งบริเวณด้านบนคอนโซลของนักบินหลังดังรูปที่ 7.2 หน่วยจัดการข้อมูลการบินติดตั้งบริเวณด้านข้างภายในห้องนักบินดังรูปที่ 7.3 และภาคส่งโมเด็มไร้สายติดตั้งบริเวณฝาครอบห้องนักบินดังรูปที่ 7.4



รูปที่ 7.2 ตำแหน่งติดตั้งจีพีเอสบริเวณด้านบนคอนโซลของนักบินหลัง



รูปที่ 7.3 ตำแหน่งติดตั้งหน่วยจัดการข้อมูลการบินบริเวณด้านข้างภายในห้องนักบิน





รูปที่ 7.4 ตำแหน่งติดตั้งภาคส่งโมเด็มไร้สายบริเวณฝาครอบห้องนักบิน

### 7.1.2. การติดตั้งระบบภาคพื้น

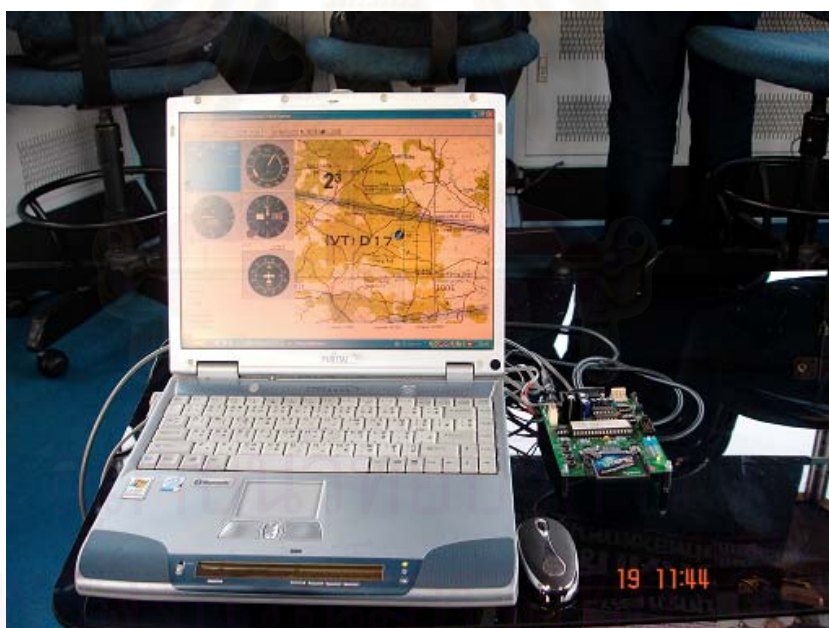
เพื่อให้ภาครับโมเด็มไร้สายภาคพื้นสามารถรับสัญญาณที่ถูกส่งมาจากภาคส่งโมเด็มไร้สายภาคอากาศได้ชัดเจนที่สุดจึงนำภาครับโมเด็มไร้สายและอุปกรณ์แสดงผลไปติดตั้งบนหอบังคัมการบินซึ่งมีความสูงเหนือระดับน้ำทะเล 30 ฟุต ดังแสดงในรูปที่ 7.5 7.6 และ 7.7



รูปที่ 7.5 หอบังคัมการบินซึ่งใช้ในการติดตั้งระบบภาคพื้น



รูปที่ 7.6 ตำแหน่งที่ใช้ในการติดตั้งภาครับวิทยุไร้สาย

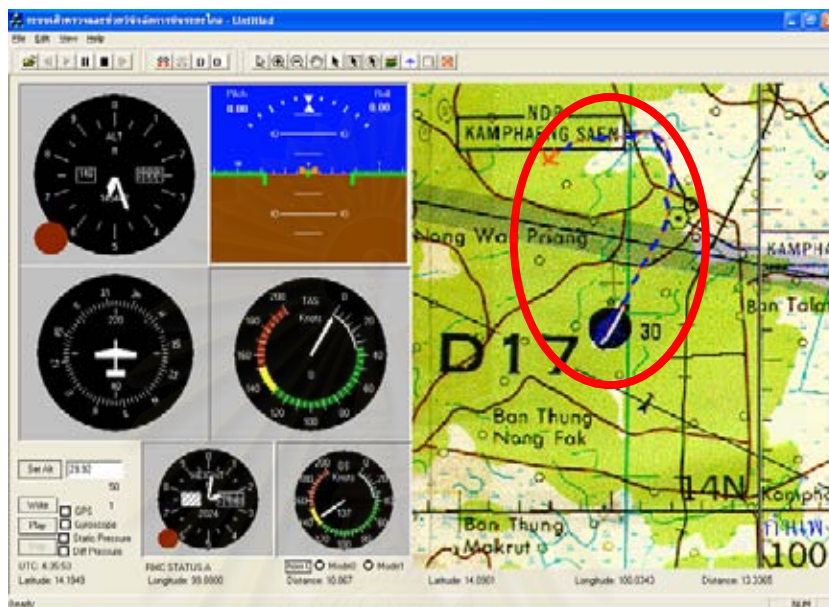


รูปที่ 7.7 ลักษณะอุปกรณ์แสดงผลการบินเมื่อพร้อมใช้งาน

### 7.1.3. ผลการทดสอบ

ในการทดสอบการบิน เส้นทางการบิน(Flight Path)จะบินอยู่ในบริเวณด้านทิศเหนือของ สนามบินในระยะ 10 กิโลเมตรและบินวนกลับเข้าสู่สนามบินคิดเป็น 1 รอบ ทำการบินเช่นนี้ซ้ำกัน จำนวน 10 รอบใช้เวลาในการบินทดสอบประมาณ 2 ชั่วโมง การเก็บข้อมูลเก็บค่าตำแหน่ง ระยะ

ห่าง จำนวนไมล์ที่ได้รับและจำนวนเฟรมที่ได้รับซึ่งผลการทดสอบพบว่าสามารถรับข้อมูลในระยะ 10 กิโลเมตรได้เป็นอย่างดี และสามารถให้ข้อมูลแผนที่ได้ใกล้เคียงกับตำแหน่งจริง ดังรูปที่ 7.8 รูปที่ 7.9 และรูปที่ 7.10



รูปที่ 7.8 เส้นทางการบินของเครื่องบินฝึกแบบ 19 ในขณะที่เริ่มบินขึ้นจากสนามบิน



รูปที่ 7.9 เส้นทางการบินของเครื่องบินฝึกแบบ 19 ในขณะที่บินเข้าสู่สนามบิน



รูปที่ 7.10 เส้นทางการบินทั้งหมดของเครื่องบินฝึกแบบ 19 ที่ทำการทดสอบ

ผลการทดสอบปรากฏว่าสามารถแสดงผลเส้นทางการบินและทิศทางการบินได้ถูกต้อง และไม่พบข้อขัดข้องจากการสื่อสารไร้สายแต่อย่างใด สรุปได้ว่าระบบสามารถทำงานได้ไกลเกินกว่า 8 กิโลเมตร

## 7.2. การทดสอบการใช้งานร่วมกับบ.เป่าบิน

ในการใช้งานบ.เป่าบินนั้นต้องขึ้นกับวงรอบการฝึกของกองทัพอากาศซึ่งในหนึ่งปีอนุญาตให้ทำการฝึกบ.เป่าบินได้ 1 ครั้งเนื่องจากในการฝึกแต่ละครั้งจะต้องมีหน่วยงานรับผิดชอบหลายหน่วยงานและใช้งบประมาณหลายแสนบาท เมื่อวันที่ 24 กรกฎาคม 2548 กองทัพอากาศได้อนุมัติให้ทำการฝึกบิน ณ.กองบิน 2 อ.โคกกระเทียม จ.ลพบุรี ดังนั้นจึงจำเป็นต้องทำการทดสอบในวันดังกล่าวทั้งๆที่ระบบที่พัฒนายังไม่เสร็จสมบูรณ์ วัตถุประสงค์ในการทดสอบนี้เพื่อพิสูจน์ว่าระบบที่พัฒนาขึ้นสามารถช่วยให้ผู้บังคับบ.เป่าบินสามารถที่จะบังคับการบินที่ระยะไกลเกินกว่าระยะสายตามองเห็นประมาณ 2 กิโลเมตร โดยการติดตั้งเซนเซอร์ คอนโทรลเลอร์จัดการข้อมูลการบิน อุปกรณ์บันทึกข้อมูลและภาคส่งโมเด็มไร้สายเข้ากับบ.เป่าบินโดยเซนเซอร์ที่ติดตั้งประกอบด้วย จีพีเอส ไจโรสโคป ทรานส์มิวเซอร์วัดความดันอากาศสถิตและความดันแตกต่าง

### 7.2.1. การติดตั้งระบบภาคอากาศ

การติดตั้งระบบภาคอากาศได้ทำการติดตั้งอุปกรณ์ทั้งหมดคือ ไจโรสโคป จีพีเอส ทรานส์มิวเซอร์วัดความดันอากาศสถิตและความดันแตกต่าง หน่วยจัดการข้อมูลการบินและภาคส่ง

โมเด็มไร้สายเข้ากับบ.เป่าบินโดยจีพีเอส ทราวนส์มิวเซอร์วัดความดันอากาศสถิตและความดันแตกต่าง อยู่บริเวณตอนกลางดังรูปที่ 7.11 ไจโรสโคป และหน่วยจัดการข้อมูลการบิน อยู่บริเวณตอนท้ายดังรูปที่ 7.12 ส่วนภาคส่งโมเด็มไร้สายอยู่บริเวณใต้ฝาปิดสัมภาระของบ.เป่าบินดังรูปที่ 7.13 จากนั้นต่อท่อที่เชื่อมจากจากชุดท่อปิโต-สแตติกซึ่งติดตั้งบริเวณชายปีกด้านซ้ายของเครื่องบินดังรูปที่ 7.14 เข้ากับทราวนส์มิวเซอร์วัดความดันสถิตและต่าง โดยทราวนส์มิวเซอร์วัดความดันสถิตต่อเฉพาะท่อปิโต ส่วนทราวนส์มิวเซอร์วัดความดันแตกต่างต่อทั้งท่อปิโตและท่อสแตติก



รูปที่ 7.11 ตำแหน่งการวางจีพีเอส ทราวนส์มิวเซอร์วัดความดันอากาศสถิตและความดันแตกต่างติดตั้งบริเวณตอนกลางของบ.เป่าบิน



รูปที่ 7.12 ตำแหน่งการวางใจไวไฟโคปและหน่วยจัดการข้อมูลการบินติดตั้งบริเวณตอน  
กลางของบ.เป่าบิน



รูปที่ 7.13 ภาคส่งโมเต็มไร้สายอยู่บริเวณใต้ฝาปิดสัมภาระของบ.เป่าบิน



รูปที่ 7.14 ชุดท่อปิโต-สแตติกติดตั้งบริเวณชายปีกด้านซ้ายของบ.เป่าบิน

เมื่อติดตั้งอุปกรณ์เข้ากับบ.เป่าบินเรียบร้อยแล้วจึงติดตั้งบ.เป่าบินเข้ากับเครื่องปล่อยบ.เป่าบินดังรูปที่ 7.15 โดยเครื่องปล่อยบ.เป่าบินนี้จะใช้หลักการเดียวกันกับการยิงหนังสติ๊กคือจะมีสายพานร้งทำหน้าที่เป็นตัวส่งแรงให้กับบ.เป่าบินเพื่อติดบ.เป่าบินไปข้างหน้า เมื่อลมสัมพันธ์ปะทะกับปีกทำให้เกิดแรงยกได้ปีกช่วยให้บ.เป่าบินสามารถบินขึ้นได้ดังรูปที่ 7.16 จากนั้นจึงทำการควบคุมบ.เป่าบินด้วยชุดบังคับการบินภาคพื้น



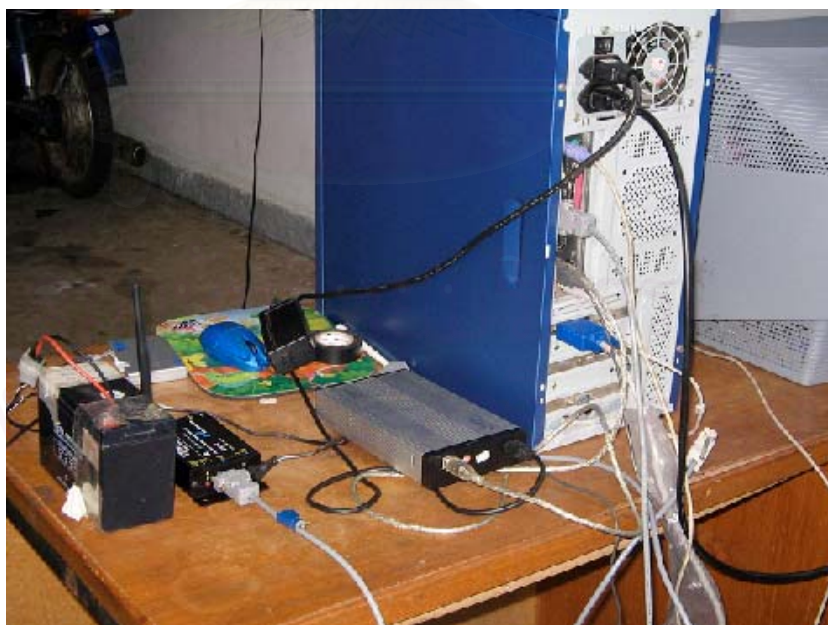
รูปที่ 7.15 บ.เป่าบินเมื่อติดตั้งเข้ากับเครื่องปล่อยบ.เป่าบิน



รูปที่ 7.16 บ.เป่าบินออกจากเครื่องปล่อยบ.เป่าบิน

### 7.2.2. การติดตั้งระบบภาคพื้น

จากรูปที่ 7.17 และ 7.18 การติดตั้งระบบภาคพื้นได้ทำการติดตั้งภาครับโมเด็มไร้สายและอุปกรณ์แสดงผลที่บริเวณลานจอดรถเนื่องจากเป็นบริเวณที่ไม่มีสิ่งกีดขวางที่มีผลทำให้กำลังสัญญาณวิทยุลดลง



รูปที่ 7.17 ภาครับโมเด็มไร้สายเชื่อมต่อกับอุปกรณ์แสดงผลการบิน

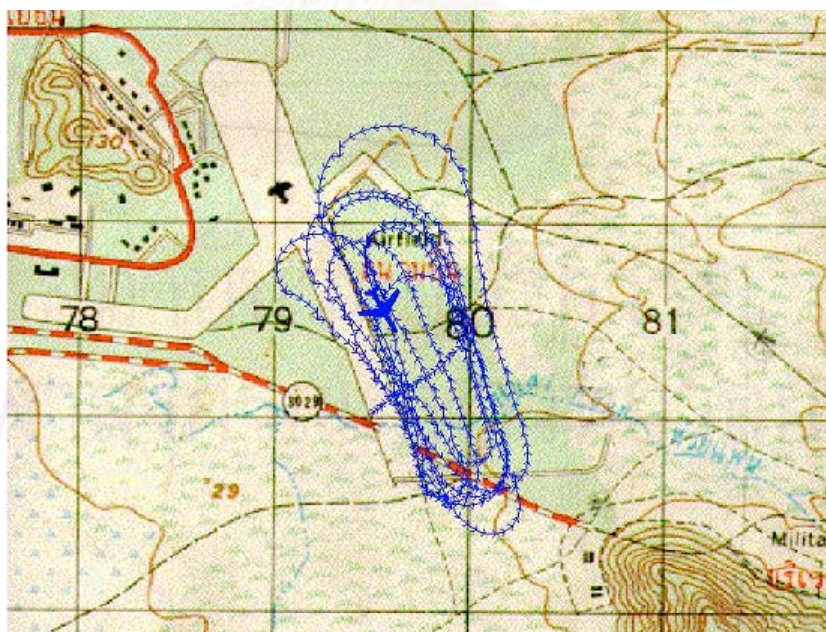




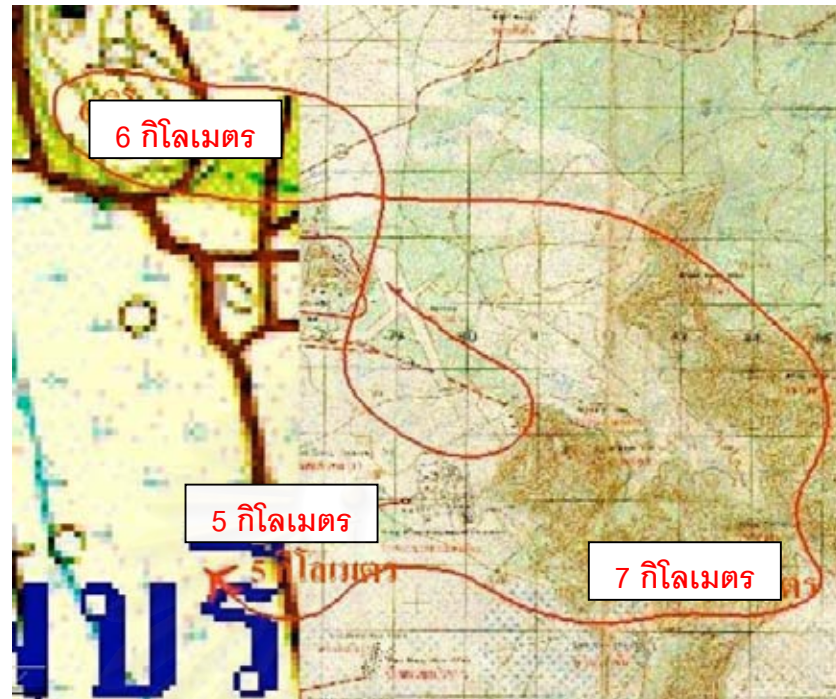
รูปที่ 7.18 การแสดงผลของอุปกรณ์แสดงผลการบิน

### 7.2.3. ผลการทดสอบ

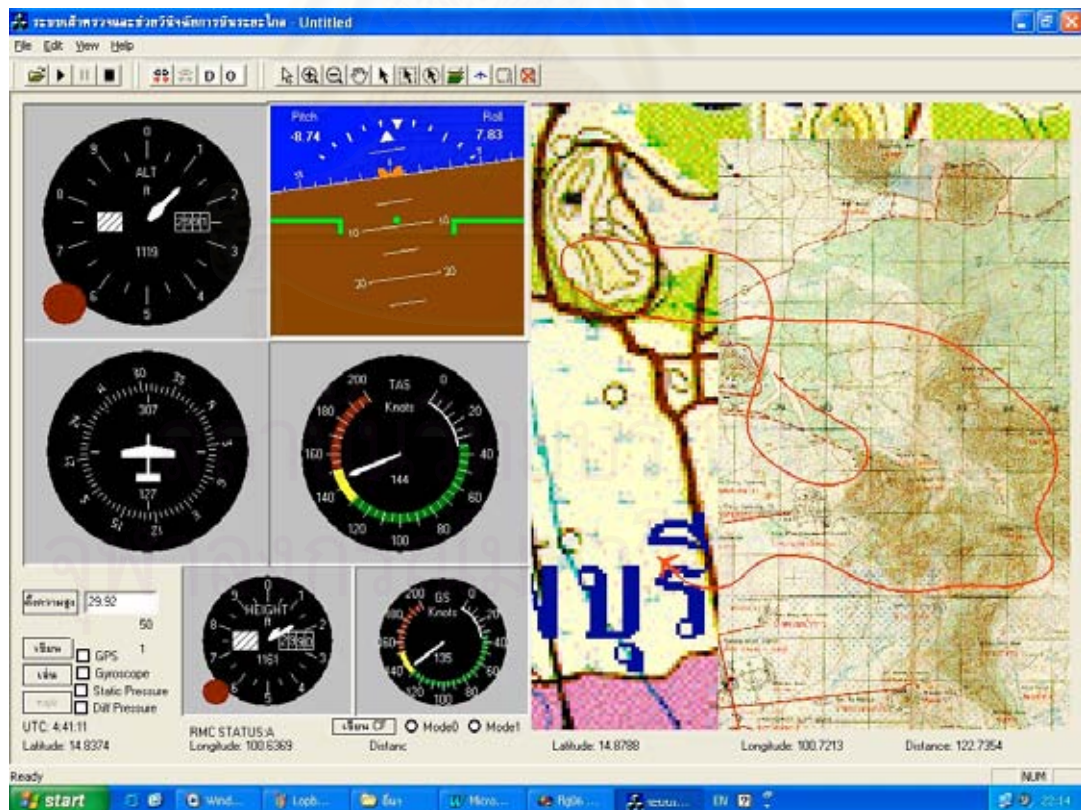
การทดสอบได้ทำการบิน 2 ครั้ง ครั้งแรกบินตามปกติคือบินในระยะสายตาคือ 2 กิโลเมตร เหมือนการบินที่เคยปฏิบัติตามปกติ และครั้งที่สองบินในระยะเกินกว่าระยะสายตาโดยบินในระยะไกลถึง 7 กิโลเมตร



รูปที่ 7.19 ผลการบินครั้งแรกบินตามปกติในระยะ 2 กิโลเมตร



รูปที่ 7.20 ผลการบินครั้งที่สองบินระยะเกินกว่าระยะสายตาประมาณ 7 กิโลเมตร



รูปที่ 7.21 ผลการบินครั้งที่สองแสดงแผนที่และเครื่องวัดประกอบการบิน

จากรูปที่ 7.20 และ 7.21 แสดงผลการทดสอบการบินในครั้งที่สอง โดยทำการบินในระยะ 7 กิโลเมตรนั้นพบว่า การแสดงแผนที่ การแสดงเครื่องวัดความสูงและการแสดงเครื่องวัดความเร็ว อากาศซึ่งรับข้อมูลจาก จีพีเอส ทราบส์ดิวเซอร์วัดความดันสถิตและความดันแตกต่างทำงานได้ดี คือสามารถแสดงตำแหน่ง ทิศทาง เส้นทางการบิน ความสูงและความเร็วอากาศได้ดี แต่การทำงานของเครื่องวัดท่าทางการบินซึ่งรับสัญญาณจากไจโรสโคปนั้นมีลักษณะภาพกระตุกเป็นบางช่วงใช้งานได้ไม่ดีนัก

การทดสอบภาคสนามได้ทำการทดสอบกับบ.เป่าบินก่อนที่ระบบยังไม่ได้รับการทดสอบในห้องปฏิบัติการจนแน่ใจก่อน เนื่องจากบ.เป่าบินมีกำหนดการบินเพียงปีละครั้งเดียว และแต่ละครั้งใช้เงินดำเนินการจำนวนหลายแสนบาท อย่างไรก็ตามจากผลการทดสอบกับบ.เป่าบินทำให้ทราบว่าระบบมีปัญหาสัญญาณรบกวนระหว่างการส่งและรับสัญญาณด้วยโมเด็มไร้สาย ขณะทำการทดสอบกับบ.เป่าบินยังไม่ได้มีการเข้ารหัสมีเพียงแต่การทดสอบความผิดพลาด(Error Correcting) ด้วยวิธีการเช็คซั่ม หลังจากการทดสอบกับบ.เป่าบินได้มีการพัฒนาการเข้ารหัสรีด—ไซโลมอนซึ่งนอกจากจะสามารถตรวจสอบความผิดพลาดแล้วยังสามารถแก้ไขความผิดพลาด (Error Correcting) ได้ จากนั้นได้ทำการทดสอบกับเครื่องบินฝึกแบบ 19 ซึ่งให้ผลการทดสอบเป็นที่น่าพอใจ ระบบสามารถทำงานได้อย่างถูกต้อง โดยได้ทดสอบที่ระยะ 10 กิโลเมตร จำนวน 10 รอบ นาน 2 ชั่วโมง

สถาบันวิทยบริการ  
จุฬาลงกรณ์มหาวิทยาลัย

## บทที่ 8

### สรุปผลและข้อเสนอแนะ

#### 8.1. สรุปผล

วิทยานิพนธ์ฉบับนี้ได้ทำการออกแบบและพัฒนาระบบเฝ้าตรวจและช่วยวินิจฉัยการบินระยะไกล ระบบประกอบด้วยภาคอากาศและภาคพื้น ภาคอากาศประกอบด้วยชุดเซ็นเซอร์ หน่วยจัดการข้อมูลการบิน อุปกรณ์เก็บข้อมูลและภาคส่งโมเด็มไร้สาย ชุดเซ็นเซอร์ประกอบด้วยจีพีเอส ใจโรสโคปและทรานส์ดิวเซอร์วัดความดันอากาศจำนวน 2 ตัว ภาคพื้นดินประกอบด้วยภาครับโมเด็มไร้สายและอุปกรณ์แสดงผล

ส่วนสำคัญที่สุดคือการทำให้อุปกรณ์จัดการข้อมูลการบินสามารถอ่านข้อมูลจีพีเอส ใจโรสโคปและทรานส์ดิวเซอร์วัดความดันสถิตและความดันแตกต่างซึ่งมีโพโตคอลแตกต่างกัน ขณะทำการส่งและรับข้อมูลด้วยโมเด็มไร้สายอาจเกิดสัญญาณรบกวนได้จึงใช้เทคนิคการเข้ารหัสและถอดรหัสรีด-โซโลมอนเพื่อให้สามารถตรวจหาความผิดพลาดเนื่องจากสัญญาณรบกวนและแก้ไขผิดพลาดที่เกิดขึ้นได้ไม่เกิน 2 สัญลักษณ์

ระบบเฝ้าตรวจและช่วยวินิจฉัยการบินระยะไกลที่ออกแบบและพัฒนามีความสามารถในการแสดงแผนที่คือแสดงตำแหน่งและทิศทางการบินและแสดงผลเครื่องวัดประกอบการบินได้แก่ เครื่องวัดท่าทางการบิน เครื่องวัดความเร็วอากาศและเครื่องวัดความสูง อีกทั้งยังมีอุปกรณ์เก็บข้อมูลเพื่อใช้เป็นข้อมูลสำรอง และใช้ภาครับและภาคส่งโมเด็มไร้สายซึ่งตามคุณลักษณะเฉพาะ (Specification) ของเครื่องสามารถสื่อสารได้ไกลถึง 22 กิโลเมตร

ในการทดสอบนั้นได้แบ่งการทดสอบเป็น 2 ส่วนคือส่วนของการทดสอบในห้องปฏิบัติการ และการทดสอบภาคสนาม การทดสอบในห้องปฏิบัติการทำการทดสอบการถอดรหัสเซ็นเซอร์ได้แก่ ใจโรสโคป ทรานส์ดิวเซอร์วัดความดันสถิตและความดันแตกต่าง และตรวจสอบการแสดงผลเครื่องวัดประกอบการบินของโปรแกรมแสดงผลภาคพื้นโดยเทียบกับการแสดงผลของคอมพิวเตอร์จำลองการบิน ผลปรากฏว่าระบบสามารถถอดรหัสเซ็นเซอร์ได้ถูกต้องและสามารถแสดงผลเครื่องวัดประกอบการบินได้ถูกต้องจึงสามารถสรุปได้ว่าการทำงานของฟังก์ชันถอดรหัสใจโรสโคป ทรานส์ดิวเซอร์วัดความดันสถิตและความดันแตกต่าง อีกทั้งการแสดงผลเครื่องวัดประกอบการบินสามารถทำงานได้จริง ส่วนการทดสอบภาคสนามได้แบ่งเป็น 2 ครั้งครั้งแรกคือวันที่ 24 กรกฎาคม 2548 ได้ทำการทดสอบการใช้งานร่วมกับบ.เป้าบินโดยติดตั้งใจโรสโคป จีพีเอส ทรานส์ดิวเซอร์วัดความดันสถิตและความดันแตกต่าง หน่วยจัดการข้อมูลการบิน อุปกรณ์เก็บข้อมูลและภาคส่งโมเด็มไร้สายเข้ากับบ.เป้าบิน ภาคพื้นประกอบด้วยภาครับโมเด็มไร้สายและ

อุปกรณ์แสดงผลและทำการบินในระยะไกลกว่าระยะสายตาที่ประมาณ 8 กิโลเมตรในการทดสอบ ครั้งนี้เป็นทดสอบครั้งแรกโดยที่ยังไม่ได้แก้ไขการถอดรหัสและการแสดงมาก่อนซึ่งผลปรากฏว่าการแสดงแผนที่ได้แก่การแสดงตำแหน่งและเส้นทางการบินสามารถทำงานได้ถูกต้องส่วนการแสดงผลเครื่องวัดประกอบการบินได้แก่การแสดงผลเครื่องวัดสูงและเครื่องวัดความเร็วอากาศสามารถทำงานได้ถูกต้องยกเว้นการแสดงผลเครื่องวัดประกอบการบินเกิดการกระตุกของภาพจึงต้องนำระบบไปแก้ไขและทำการทดสอบในห้องปฏิบัติการ ครั้งที่สองคือวันที่ 20 มกราคม 2549 ได้ทำการทดสอบกับเครื่องบินฝึกแบบ 19 ที่ระยะ 10 กิโลเมตรจำนวน 10 รอบนาน 2 ชั่วโมง ในการทดสอบครั้งนี้ได้ทำการแก้ไขข้อขัดข้องจากการทดสอบภาคสนามครั้งแรกโดยการเพิ่มการเข้ารหัสรีด-โซโลมอนที่สามารถแก้ไขความผิดพลาดที่เกิดขึ้นจากสัญญาณรบกวน ผลปรากฏว่าสามารถแสดงแผนที่ซึ่งได้แก่การแสดงผลตำแหน่งของเครื่องบินและเส้นทางการบินที่ระยะ 10 กิโลเมตรได้ถูกต้อง

จากผลการทดสอบในห้องปฏิบัติการและในภาคสนามทำให้สามารถสรุปได้ว่าระบบเฝ้าตรวจและช่วยวินิจฉัยการบินระยะไกลที่พัฒนาขึ้นสามารถนำไปใช้เป็นอุปกรณ์ช่วยให้ผู้บังคับบ.เป่าบินสามารถควบคุม.เป่าบินผ่านหน้าจอคอมพิวเตอร์ในระยะไกลกว่าระยะสายตาโดยสามารถควบคุมได้ไกลถึง 10 กิโลเมตรเป็นอย่างน้อยทำให้ผู้บังคับบ.เป่าบินสามารถอยู่ห่างจากจุดที่จรวดกระทบ.เป่าบินมากกว่าเดิมได้ โดยอาจจะอยู่ที่บริเวณฐานปล่อยจรวดเพื่อความปลอดภัยของผู้บังคับบ.เป่าบินและลดความผิดพลาดในการสื่อสารกับผู้ควบคุมการยิงขีปนาวุธ

## 8.2. ปัญหาและข้อเสนอแนะ

การทดสอบระบบกับบ.เป่าบินเป็นการทดสอบขณะที่ระบบยังไม่มีเข้ารหัสรีด-โซโลมอนทำให้มีความผิดพลาด แม้ว่าจะได้มีการเข้ารหัสรีด-โซโลมอนในภายหลังแล้วนำไปทดสอบกับเครื่องบินฝึกแบบ 19 และให้ผลทดสอบเป็นที่น่าพอใจ ก่อนที่นำระบบไปใช้งานจริงน่าจะได้นำระบบที่พัฒนาแล้วเสร็จนี้ไปทดสอบกับบ.เป่าบินอีกครั้ง เพื่อความแน่ใจและเพื่อเป็นการฝึกทักษะการควบคุมผ่านหน้าจอคอมพิวเตอร์ของผู้บังคับบ.เป่าบิน

ระบบเฝ้าตรวจและช่วยวินิจฉัยการบินระยะไกลนี้สามารถนำไปใช้เป็นอุปกรณ์ช่วยฝึกของศิษย์การบินโดยสามารถนำมาใช้วัดและวิเคราะห์ผลการบินของศิษย์การบินได้ และยังสามารถนำไปพัฒนาเป็นอุปกรณ์บันทึกผลการทดสอบการบิน(Flight Test)เพื่อใช้เก็บข้อมูลจากเซ็นเซอร์อื่นๆ เพื่อนำไปวิเคราะห์ข้อมูลที่ได้จากเซ็นเซอร์ นอกจากนี้ยังสามารถนำไปพัฒนาเป็นระบบเครื่องบินไร้คนขับ(UAV) เพื่อใช้ในการลาดตระเวนทางอากาศ

## รายการอ้างอิง

- 1 การควบคุมทิศทางการบิน[Online]. แหล่งที่มา :  
[http://www.thaitechnics.com/fly/control\\_t.html](http://www.thaitechnics.com/fly/control_t.html) [2001]
- 2 AOA [Online]. Available from :  
[http://www.centennialofflight.gov/essay/Dictionary/angle\\_of\\_attack/DI5.htm](http://www.centennialofflight.gov/essay/Dictionary/angle_of_attack/DI5.htm) [2001].
- 3 Flight Instruments - Level 3 [Online]. Available from :  
<http://www.allstar.fiu.edu/aero/FlightIns.htm>. [2004].
- 4 เครื่องวัดประกอบการบิน[Online]. แหล่งที่มา :  
<http://www.rcyaso.com/paper/meter.htm>
- 5 เครื่องวัดประกอบการบิน [Online]. แหล่งที่มา:  
[http://www.catc.or.th/catclub/am/story/story\\_instru/instrument.htm](http://www.catc.or.th/catclub/am/story/story_instru/instrument.htm) [2003].
- 6 Global Positioning System Overview [Online]. Available from:  
<http://www.colorado.edu/geography/gcraft/notes/gps/gps.html> [2000].
- 7 Global Positioning System [Online]. Available from:  
[http://www.tpub.com/content/USMC/mcr3161a/css/mcr3161a\\_82.htm](http://www.tpub.com/content/USMC/mcr3161a/css/mcr3161a_82.htm) .
- 8 GARMIN. GPS Guide for beginners. Kansas: GARMIN, 2000.
- 9 Michael A. Miller. Introduction to Digital and Data Communications St. Paul : West Publishing, 1992.
- 10 Crossbow Technology . VG400 Series User's Manual. California : Crossbow Technology , 2002.
- 11 Solid State Electronics Center. Precision Pressure Transducer PPT and PPTR User's Manual. New York : Honeywell , 2000.
- 12 GARMIN. GPS 35 TracPak Technical Specification . Kansas : GARMIN, 2000.
- 13 Stephen B. Wicker. Error Control Systems for Digital Communication and Storage. New Jersey : Prentice-Hall, 1995.
- 14 K.Sam Shanmugam. Digital and Analog Communication System. New York : John Willey & Sons, 1979.
- 15 Reed-Solomon Codes [Online]. Available from :  
[http://www.cs.cmu.edu/afs/cs.cmu.edu/project/pscico-guyb/realworld/www/reedsolomon/reed\\_solomon\\_codes.html](http://www.cs.cmu.edu/afs/cs.cmu.edu/project/pscico-guyb/realworld/www/reedsolomon/reed_solomon_codes.html)

16 ลัญฉกร วุฒิสัทธฤกุลฤจ. เทคโนโลยีสื่อสารไร้สาย CDMA. กรุงเทพฯ : สำนักพิมพ์แห่งจุฬาลงกรณ์มหาวิทยาลัย, 2548.

17 Aviation Formulary [Online]. Available from: <http://williams.best.vwh.net/avform.htm>.



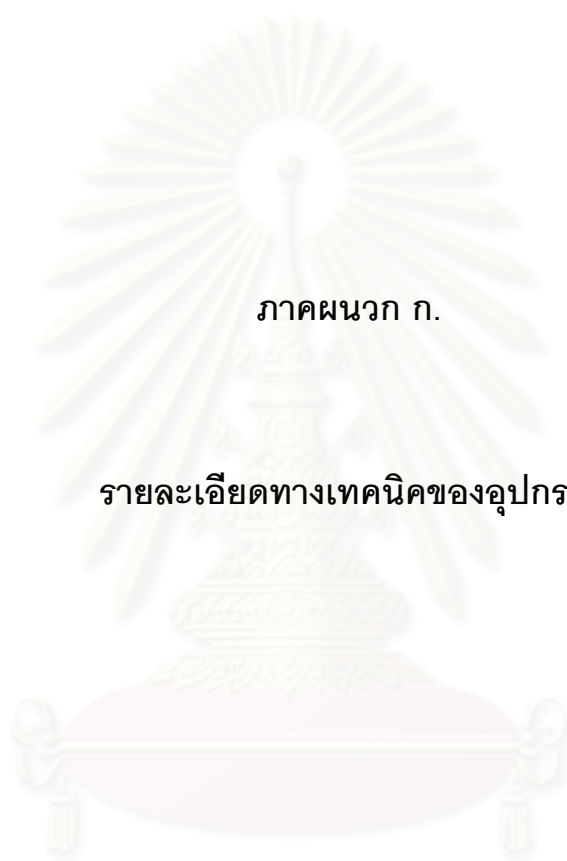
สถาบันวิทยบริการ  
จุฬาลงกรณ์มหาวิทยาลัย



ภาคผนวก

สถาบันวิทยบริการ  
จุฬาลงกรณ์มหาวิทยาลัย





ภาคผนวก ก.

รายละเอียดทางเทคนิคของอุปกรณ์

สถาบันวิทยบริการ  
จุฬาลงกรณ์มหาวิทยาลัย

## ก.1. จีพีเอส

### GPS35

#### Specifications

##### Performance

Receiver: Differential-ready 12 parallel channel receiver tracks and uses up to twelve satellites to compute and update a position.

Acquisition Times:

- 15 seconds warm (all data known)
- 45 seconds cold (initial position, time and almanac known, ephemeris unknown)
- 5 minutes AutoLocate<sup>®</sup> (almanac known, initial position and time unknown)
- 5 minutes search the sky (no data known)

Update Rate: 1 second, continuous (programmable from 1 second to 15 minutes)

Accuracy:

- Differential GPS (DGPS): 5 meters RMS
- Non-differential GPS: 15 meters RMS (100 meters with Selective Availability at maximum)

Velocity accuracy: 0.1 m/s RMS steady state (subject to Selective Availability)

Dynamics: 999 knots; 6g's

Interfaces:

- Dual-channel RS-232 compatible with user-selectable baud rate (1200, 2400, 4800, 9600)
- NMEA 0183 version 2.0 ASCII output (GPALM, GPGGA, GPGSA, GPGSV, GPRMC, GPVTG, PGRME, PGRMT, PGRMV, PGRMF, LCGLL, LCVTG)

Inputs:

- Initial position, date, and time (not required)
- Earth datum and differential mode configuration command, almanac

Outputs:

- Position, velocity, and time
- Receiver and satellite status
- Differential reference station ID and RTCM data age
- Geometry and error estimates

Raw measurement output for both pseudorange and phase data

PWR\_DN power down power management under logic level control

Real-time Differential Correction input (RTCM format)

PPS (pulse per second) output (does not include the GPS 35 PC or GPS 35 USB)

Antenna: Built in

#### Physical

Size: 2.22" (w) x 3.79" (l) x 1.05" (h) (56.4mm x 96.3mm x 26.7mm)

Weight: 3.88 oz. (110 g), not including cable

Environmental:

- Operating Temperature: -30°C to +80°C (internal temperature)
- Storage Temperature: -40°C to +80°C

#### Power

Input Voltage:

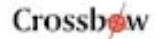
- 6 to 40 VDC, unregulated
- Typically draws 80 mA @ 12 VDC

Backup Power: Internal rechargeable 3V Lithium coin cell battery, up to 10 year life



สถาบันวิทยบริการ  
จุฬาลงกรณ์มหาวิทยาลัย

ก.2. ไจโรสโคป



# VG

## SOLID-STATE VERTICAL GYRO

- ▼ Roll and Pitch Angle Measurement In High Dynamic Environments
- ▼ High Stability MEMS Sensors
- ▼ High Range Gyro and Accel Options
- ▼ Enhanced Performance Using Kalman Filter Algorithm

### Applications

- ▼ UAV Control
- ▼ Platform Stabilization
- ▼ Avionics



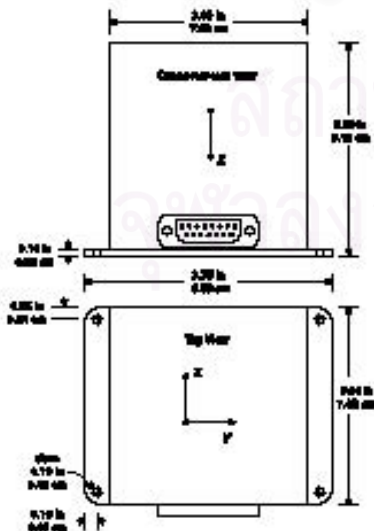
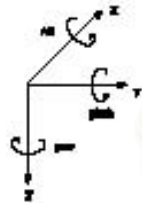
### VG400CA (DMU-HDX)

The VG400CA is a high performance, solid-state vertical gyro intended for airborne applications such as UAV control, Avionics, and Platform Stabilization. This high reliability, strap-down inertial subsystem provides attitude measurement with static and dynamic accuracy comparable to traditional spinning mass vertical gyros.

This VG400 series product builds on the performance of the VG300 series. It features higher performance sensors, including silicon MEMS accelerometers and gyroscopes with lower noise and improved bias stability.

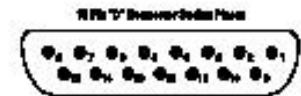
The VG400CA achieves its excellent performance by employing proprietary Kalman Filter algorithms to determine stabilized roll and pitch angles in static and dynamic conditions. The Kalman Filter Implementation results in a continuous on-line gyro bias calibration, and an adaptive attitude measurement that is stabilized by the long term gravity reference. Output data is provided in both analog and digital (RS-232) formats.

Each Inertial System comes with a User's Manual offering helpful hints on programming, installation, and product information. In addition, Crossbow's GYRO-VIEW software is included to assist you in system development and evaluation, and allows you to perform data acquisition.



Inertial systems

Specifications	VG400CA-100	VG400CA-200	Remarks
<b>Performance</b>			
Update Rate (Hz)	> 75	> 75	Continuous Update Mode
Start-up Time Valid Data (sec)	< 1	< 1	
Fully Stabilized Data (sec)	< 60	< 60	Under static conditions
<b>Attitude</b>			
Range: Roll, Pitch (°)	± 180, ± 90	± 180, ± 90	
Static Accuracy (°)	± 0.5	± 1.0	
Dynamic Accuracy (° rms)	2.0	2.5	
Resolution (°)	< 0.1	< 0.1	
<b>Angular Rate</b>			
Range: Roll, Pitch, Yaw (°/sec)	± 100	± 200	
Bias: Roll, Pitch, Yaw (°/sec)	≤ ± 1.0	≤ ± 1.0	Scaled sensor mode
Bias: Roll/Pitch (°/sec)	≤ ± 0.05	≤ ± 0.05	Angle mode
Scale Factor Accuracy (%)	< 1	< 1	
Non-Linearity (% FS)	< 0.3	< 0.3	
Resolution (°/sec)	< 0.025	< 0.05	
Bandwidth (Hz)	> 10	> 10	-3 dB point
Random Walk (°/hr <sup>1/2</sup> )	< 0.85	< 1.7	
<b>Acceleration</b>			
Input Range: X/Y/Z (g)	± 2	± 10	
Bias: X/Y/Z (mg)	≤ ± 8.5	≤ ± 12	
Scale Factor Accuracy (%)	< 1	< 1	
Non-Linearity (% FS)	< 1	< 1	
Resolution (mg)	< 0.25	< 1.25	
Bandwidth (Hz)	> 10	> 10	-3 dB point
Random Walk (m/s/hr <sup>1/2</sup> )	< 0.1	< 0.5	
<b>Environment</b>			
Operating Temperature (°C)	-40 to +71	-40 to +71	
Non-Operating Temperature (°C)	-55 to +85	-55 to +85	
Non-Operating Vibration (g rms)	6	6	20 Hz - 2 KHz random
Non-Operating Shock (g)	1000	1000	1 ms half sine wave
<b>Electrical</b>			
Input Voltage (VDC)	9 to 30	9 to 30	
Input Current (mA)	< 250	< 250	
Power Consumption (W)	< 3	< 3	at 12 VDC
Digital Output Format	RS-232	RS-232	See "Digital Data Format"
Analog Range (VDC)	± 4.096	± 4.096	Pins 8, 9, 10, 12, 13, 14
	0 to 5.0	0 to 5.0	Pins 5, 6, 7
<b>Physical</b>			
Size (in)	3.0 x 3.75 x 3.20	3.0 x 3.75 x 3.20	Includ. mounting flanges
(cm)	7.62 x 9.53 x 8.13	7.62 x 9.53 x 8.13	Includ. mounting flanges
Weight (lbs)	< 1.3	< 1.3	
(kg)	< 0.59	< 0.59	
Connector	15 pin sub-miniature "D" female		

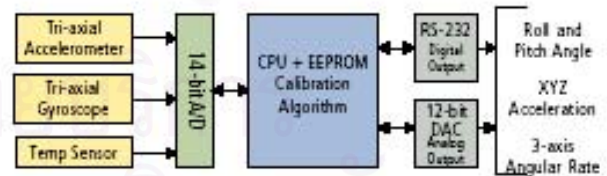


Pin	Signal
1	RS-232 Transmit Data
2	RS-232 Receive Data
3	Input Power
4	Ground
5	X-axis accel voltage <sup>1</sup>
6	Y-axis accel voltage <sup>1</sup>
7	Z-axis accel voltage <sup>1</sup>
8	Roll-axis angular rate <sup>2</sup>
9	Pitch-axis angular rate <sup>2</sup>
10	Yaw-axis angular rate <sup>2</sup>
11	NC - Factory use only
12	Roll angle/X-axis acceleration <sup>3</sup>
13	Pitch angle/Y-axis acceleration <sup>3</sup>
14	Not used/Z-axis acceleration <sup>3</sup>
15	NC - Factory use only

- Notes:
- 1 The accelerometer voltage outputs are taken directly from the accelerometers without compensation or scaling.
  - 2 The angular rate analog outputs are scaled to represent degrees/second. Outputs are created by a DAC converter.
  - 3 Actual output depends on VG measurement mode.

Pin Diagram

Notes  
 1 All analog output are fully buffered and are designed to interface directly to data acquisition equipment.  
 Specifications subject to change without notice



Vertical Gyro Block Diagram

Ordering Information

Model	Previous Model	Description	Gyro (°/sec)	Accel (g)
VG400CA-100	DMU-HDX	Solid-State Vertical Gyro	± 100	± 2
VG400CA-200	DMU-HDX	Solid-State Vertical Gyro	± 200	± 10

## ก.3. ทรานส์ดิวเซอร์วัดความดันอากาศ

**Honeywell**

SENSOR PRODUCTS

**Precision Pressure Transducer****PPT****APPLICATIONS**

- Avionics
- Instrumentation and Analytical Equipment
- Flow and Pressure Calibrators
- Meteorology
- Laboratory and Medical Instruments
- Process Control
- Flight Test

± 0.05%  
Accuracy  
from  
-40 to 85°C

Many  
Software  
Features

Digital  
and  
Analog

**H**oneywell's precision pressure transducer (PPT) offers extraordinary value with high accuracy over a wide temperature range. The PPT combines proven silicon sensor technology with microprocessor-based signal conditioning to provide an extremely smart pressure transducer. Available in a compact, rugged design, the PPT has many software features that support a wide range of applications.



CE Qualified  
ISO 9001

**FEATURES AND BENEFITS**

**High Accuracy:** ± 0.05% FS typical accuracy from -40 to 85°C

**Simplifies system design**—no additional signal compensation needed to gain the benefits of a very accurate sensor.

**Smart, Digital Sensing & Control**

**Efficient data acquisition**—connect up to 89 units on a multidrop bus using built-in RS485 capability.

**Easily interfaces** directly to a PC via communication ports.

**Closes the loop**—smart PPT makes control decisions.

**Versatile and Configurable**

**Works with existing and new systems**—all units have 0-5V analog and either RS232 or RS485 digital outputs.

**Handles most dry gas media.**

**Optimizes output**—user-configurable pressure units, sampling, update rate.

**Flags problems**—internal diagnostics set flags, provide alarms.

**User-Selectable Software Features**

Baud Rate, Parity Setting  
Continuous Broadcast  
ASCII or Binary Output  
Temperature Output (°C or °F)

Deadband, Sensitivity  
Tare Value  
Configurable Analog Output  
And more...

# PPT

# SENSOR PRODUCTS

## SPECIFICATIONS

### Performance Specifications<sup>(1)</sup>

**Accuracy:** (from -40 to 85°C)  
 Digital: ± 0.05% FS Typ., ± 0.10% FS Max.  
 Analog: ± 0.06% FS Typ., ± 0.12% FS Max.  
 Temperature: ± 1°C (at sensing element)

**Temperature Range:**  
 Operating: -40 to 85°C (-40 to 185°F)  
 Storage: -55 to 90°C (-67 to 194°F)

**Sample Rate:** 8.33ms to 51.2min  
**Update Rate:** 8.33ms to 12s

**Resolution:**  
 Digital: Up to 10 PPM  
 Analog: 1.22mV steps (12 bits)

**Response Delay:**  
 (1000/update rate) + 1ms, maximum 17ms  
**Long Term Stability:** 0.025% FS max per yr

### Mechanical Specifications

**Pressure Ranges and Type:**  
 See ordering information.  
**Static Pressure (Differential only):**  
 ≤ 150psi: no effect on accuracy of PPT  
 > 150psi: out of spec, returns spec ≤ 150psi

**Media Compatibility:**  
 Suitable for non-condensing, non-corrosive,  
 and non-combustible gases.  
*PPTTR available for other gases and fluids.*  
**Weight:** 5 oz. (142gm) without fittings

### Electrical Specifications

**Power Requirements:**  
 Supply Voltage: 5.5 to 30 VDC  
                             Standard    CE  
 Operating Current: 17-30mA    22-35mA  
 Standby Current: 11mA    16mA  
**Analog Output:** 0-5 V (User adjustable)

### Environmental Features<sup>(2)</sup>

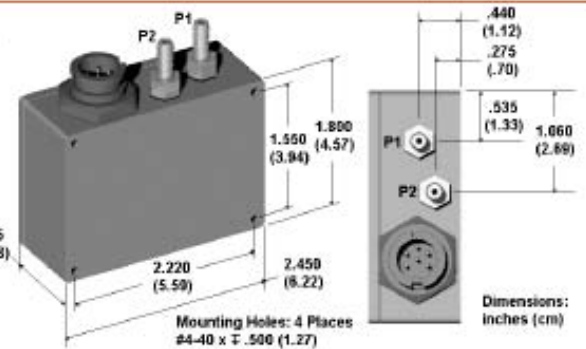
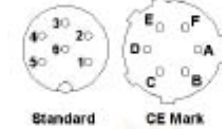
**Overpressure:** 3x FS, maximum 600 psi  
**Burst Pressure:** 3x FS, maximum 700psi  
**Mechanical Shock:** 1500g, 0.5ms half sine  
**Temp Shock:** 24 1-hr cycles, -40 to 85°C  
**Vibration:** 0.5in or 20G's, 20 Hz - 2K Hz

(1) Accuracy is the sum of worst case linearity, repeatability, hysteresis, thermal effects and calibration errors from -40 to 85°C. Typical is the average of absolute value of errors at all pressures and temperatures. Full scale for differential ranges is the sum of + and - ranges. Pressure range 1 psi gauge has digital accuracy of ± 0.10% FS typical, ± 0.20% FS maximum; analog accuracy of ± 0.12% FS typical, ± 0.24% FS maximum.

(2) Exposure to overpressure will not permanently affect calibration or accuracy of unit. Burst pressure is the sum of the measured pressure plus the static pressure and exceeding it may result in media escape. Mechanical Shock tested per MIL-STD-883D, M2002.3, Cond B. Vibration tested per MIL-STD-883D, M2007.2, Cond A. (3) CE Mark tested per EN50061-1, EN50062-1. Connector MII-C-26482, Shell Size #10, 6-pin #20 size.

## CASE OUTLINE

Std	CE	Signal Name
1	A	RS-232 (TD) / RS-485 (B)
2	B	RS-232 (RD) / RS-485 (A)
3	C	Case Ground
4	D	Common Ground (GD)
5	E	DC Power In
6	F	Analog Output



## ORDERING INFORMATION

Example: PPT0100AWN2VA-A

PPT Precision Pressure Transducer			
FULL SCALE PRESSURE RANGE			
	Absolute	Gauge	Differential
0001	n/a	1 PSI (1)	± 1 PSI
0002	n/a	2 PSI	± 2 PSI
0005	n/a	5 PSI	± 5 PSI
0010	n/a	10 PSI	± 10 PSI
0015	15 PSI	n/a	n/a
0020	20 PSI	20 PSI	± 20 PSI
0050	50 PSI	50 PSI	± 50 PSI
0100	100 PSI	100 PSI	± 100 PSI
0300	300 PSI	300 PSI	± 300 PSI
0500	500 PSI	500 PSI	± 500 PSI

Type	P1 Pressure	P2 Pressure
A Absolute	0 (vacuum) to FS	N/A
G Gauge	Reference to FS	Reference
D Differential	+FS to -FS rel. to P2	+FS to -FS rel. to P1

P1 PRESSURE CONNECTION	
Absolute, Gauge, Differential	
W	Brass barbed (1/4 inch)
X	Brass Swagelok™ (1/8 inch female)
R	Brass barbed, right angle (1/4 inch)
F	Filter (blocks debris)

P2 PRESSURE CONNECTION	
Gauge, Differential	
W	Brass barbed (1/4 inch)
X	Brass Swagelok™ (1/8 inch female)
R	Brass barbed, right angle (1/4 inch)
F	Filter (blocks debris)
Absolute	
N	Not Applicable

OUTPUTS	
2V	RS-232 digital, 0-5V analog
5V	RS-485 digital, 0-5V analog

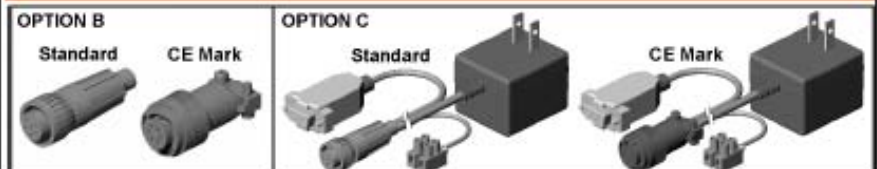
  

ELECTRICAL CONFIGURATION AND CONNECTION	
A	Standard, 6-pin plastic connector
B	CE Mark (3), 6-pin metal connector

OPTIONS	
A	Demonstration Kit
B	Mating Connector (See below)
C	Power Supply/Data Cable (See below)

PPT 0100 A W N 2V A -A



Honeywell reserves the right to make changes to any products or technology herein to improve reliability, function or design. Honeywell does not assume any liability arising out of the application or use of any product or circuit described herein; neither does it convey any license under its patent rights nor the rights of others. Covered by one or more of the following US Patents: 4,918,992 and 4,788,521.



## ก.4. ชิพเบอร์ MAX-232

19-4323; Rev 14; 8/04

**MAXIM****+5V-Powered, Multichannel RS-232 Drivers/Receivers****General Description**

The MAX220–MAX249 family of line drivers/receivers is intended for all EIA/TIA-232E and V.28/V.24 communications interfaces, particularly applications where  $\pm 12V$  is not available.

These parts are especially useful in battery-powered systems, since their low-power shutdown mode reduces power dissipation to less than  $5\mu W$ . The MAX225, MAX233, MAX235, and MAX245/MAX246/MAX247 use no external components and are recommended for applications where printed circuit board space is critical.

**Applications**

Portable Computers  
Low-Power Modems  
Interface Translation  
Battery-Powered RS-232 Systems  
Multidrop RS-232 Networks

*AutoShutdown and UCSP are trademarks of Maxim Integrated Products, Inc.*

**Next-Generation Device Features**

- ◆ For Low-Voltage, Integrated ESD Applications  
MAX3222E/MAX3232E/MAX3237E/MAX3241E/  
MAX3246E: +3.0V to +5.5V, Low-Power, Up to  
1Mbps, True RS-232 Transceivers Using Four  
0.1 $\mu F$  External Capacitors (MAX3246E Available  
in a UCSP™ Package)
- ◆ For Low-Cost Applications  
MAX221E:  $\pm 15kV$  ESD-Protected, +5V, 1 $\mu A$ ,  
Single RS-232 Transceiver with AutoShutdown™

**Ordering Information**

PART	TEMP RANGE	PIN-PACKAGE
MAX220CPE	0°C to +70°C	16 Plastic DIP
MAX220CSE	0°C to +70°C	16 Narrow SO
MAX220CWE	0°C to +70°C	16 Wide SO
MAX220C/D	0°C to +70°C	Dice*
MAX220EPE	-40°C to +85°C	16 Plastic DIP
MAX220ESE	-40°C to +85°C	16 Narrow SO
MAX220EWE	-40°C to +85°C	16 Wide SO
MAX220EJE	-40°C to +85°C	16 CERDIP
MAX220MJE	-55°C to +125°C	16 CERDIP

*Ordering information continued at end of data sheet.  
\*Contact factory for dice specifications.*

**Selection Table**

Part Number	Power Supply (V)	No. of RS-232 Drivers/Rx	No. of Ext. Caps	Nominal Cap. Value ( $\mu F$ )	SHDN & Three-State	Rx Active in SHDN	Data Rate (kbps)	Features
MAX220	+5	2/2	4	0.047/0.33	No	—	120	Ultra-low-power, industry-standard pinout
MAX222	+5	2/2	4	0.1	Yes	—	200	Low-power shutdown
MAX223 (MAX213)	+5	4/5	4	1.0 (0.1)	Yes	✓	120	MAX241 and receivers active in shutdown
MAX225	+5	5/5	0	—	Yes	✓	120	Available in SO
MAX230 (MAX200)	+5	5/0	4	1.0 (0.1)	Yes	—	120	5 drivers with shutdown
MAX231 (MAX201)	+5 and +7.5 to +13.2	2/2	2	1.0 (0.1)	No	—	120	Standard +5/+12V or battery supplies; same functions as MAX232
MAX232 (MAX202)	+5	2/2	4	1.0 (0.1)	No	—	120 (64)	Industry standard
MAX232A	+5	2/2	4	0.1	No	—	200	Higher slew rate, small caps
MAX233 (MAX203)	+5	2/2	0	—	No	—	120	No external caps
MAX233A	+5	2/2	0	—	No	—	200	No external caps, high slew rate
MAX234 (MAX204)	+5	4/0	4	1.0 (0.1)	No	—	120	Replaces 1488
MAX235 (MAX205)	+5	5/5	0	—	Yes	—	120	No external caps
MAX236 (MAX206)	+5	4/3	4	1.0 (0.1)	Yes	—	120	Shutdown, three state
MAX237 (MAX207)	+5	5/3	4	1.0 (0.1)	No	—	120	Complements IBM PC serial port
MAX238 (MAX208)	+5	4/4	4	1.0 (0.1)	No	—	120	Replaces 1488 and 1489
MAX239 (MAX209)	+5 and +7.5 to +13.2	3/5	2	1.0 (0.1)	No	—	120	Standard +5/+12V or battery supplies; single-package solution for IBM PC serial port
MAX240	+5	5/5	4	1.0	Yes	—	120	DIP or flatpack package
MAX241 (MAX211)	+5	4/5	4	1.0 (0.1)	Yes	—	120	Complete IBM PC serial port
MAX242	+5	2/2	4	0.1	Yes	✓	200	Separate shutdown and enable
MAX243	+5	2/2	4	0.1	No	—	200	Open-line detection simplifies cabling
MAX244	+5	8/10	4	1.0	No	—	120	High slew rate
MAX245	+5	8/10	0	—	Yes	✓	120	High slew rate, int. caps, two shutdown modes
MAX246	+5	8/10	0	—	Yes	✓	120	High slew rate, int. caps, three shutdown modes
MAX247	+5	8/0	0	—	Yes	✓	120	High slew rate, int. caps, nine operating modes
MAX248	+5	8/8	4	1.0	Yes	✓	120	High slew rate, selective half-chip enables
MAX249	+5	6/10	4	1.0	Yes	✓	120	Available in quad flatpack package

**MAXIM**

Maxim Integrated Products 1



## +5V-Powered, Multichannel RS-232 Drivers/Receivers

### ABSOLUTE MAXIMUM RATINGS—MAX220/222/232A/233A/242/243

Supply Voltage (V <sub>CC</sub> )	-0.3V to +6V	18-Pin Plastic DIP (derate 11.11mW/°C above +70°C)	589mW
V <sub>+</sub> (Note 1)	(V <sub>CC</sub> - 0.3V) to +14V	20-Pin Plastic DIP (derate 8.00mW/°C above +70°C)	440mW
V <sub>-</sub> (Note 1)	+0.3V to +14V	16-Pin Narrow SO (derate 8.70mW/°C above +70°C)	596mW
Input Voltages		16-Pin Wide SO (derate 9.52mW/°C above +70°C)	762mW
T <sub>IN</sub>	-0.3V to (V <sub>CC</sub> - 0.3V)	18-Pin Wide SO (derate 9.52mW/°C above +70°C)	762mW
R <sub>IN</sub> (Except MAX220)	±30V	20-Pin Wide SO (derate 10.00mW/°C above +70°C)	800mW
R <sub>IN</sub> (MAX220)	±25V	20-Pin SSOP (derate 8.00mW/°C above +70°C)	640mW
T <sub>OUT</sub> (Except MAX220) (Note 2)	±15V	16-Pin CERDIP (derate 10.00mW/°C above +70°C)	800mW
T <sub>OUT</sub> (MAX220)	±13.2V	18-Pin CERDIP (derate 10.53mW/°C above +70°C)	842mW
Output Voltages		Operating Temperature Ranges	
T <sub>OUT</sub>	±15V	MAX2 <sub>AC</sub> , MAX2 <sub>C</sub>	0°C to +70°C
R <sub>OUT</sub>	-0.3V to (V <sub>CC</sub> + 0.3V)	MAX2 <sub>AE</sub> , MAX2 <sub>E</sub>	-40°C to +65°C
Driver/Receiver Output Short Circuited to GND	Continuous	MAX2 <sub>AM</sub> , MAX2 <sub>M</sub>	-55°C to +125°C
Continuous Power Dissipation (T <sub>A</sub> = +70°C)		Storage Temperature Range	-55°C to +160°C
16-Pin Plastic DIP (derate 10.53mW/°C above +70°C)	842mW	Lead Temperature (soldering, 10s) (Note 3)	+300°C

Note 1: For the MAX220, V<sub>+</sub> and V<sub>-</sub> can have a maximum magnitude of 7V, but their absolute difference cannot exceed 13V.

Note 2: Input voltage measured with T<sub>OUT</sub> in high-impedance state, SHDN or V<sub>CC</sub> = 0V.

Note 3: Maximum reflow temperature for the MAX225\_WI and MAX233A\_WP is +220°C.

Stresses beyond those listed under "Absolute Maximum Ratings" may cause permanent damage to the device. These are stress ratings only, and functional operation of the device at these or any other conditions beyond those indicated in the operational sections of the specifications is not implied. Exposure to absolute maximum rating conditions for extended periods may affect device reliability.

### ELECTRICAL CHARACTERISTICS—MAX220/222/232A/233A/242/243

(V<sub>CC</sub> = +5V ±10%, C1-C4 = 0.1μF, MAX220, C1 = 0.047μF, C2-C4 = 0.33μF, T<sub>A</sub> = T<sub>MIN</sub> to T<sub>MAX</sub>, unless otherwise noted.)

PARAMETER	CONDITIONS		MIN	TYP	MAX	UNITS
<b>RS-232 TRANSMITTERS</b>						
Output Voltage Swing	All transmitter outputs loaded with 3kΩ to GND		±5	±8		V
Input Logic Threshold Low				1.4	0.8	V
Input Logic Threshold High	All devices except MAX220		2	1.4		V
	MAX220: V <sub>CC</sub> = 5.0V		2.4			
Logic Pullup/Input Current	All except MAX220, normal operation			5	40	μA
	SHDN = 0V, MAX222/MAX242, shutdown, MAX220			±0.01	±1	
Output Leakage Current	V <sub>CC</sub> = 5.5V, SHDN = 0V, V <sub>OUT</sub> = ±15V, MAX222/MAX242			±0.01	±10	μA
	V <sub>CC</sub> = SHDN = 0V	V <sub>OUT</sub> = ±15V		±0.01	±10	
		MAX220, V <sub>OUT</sub> = ±12V			±25	
Data Rate				200	116	kbps
Transmitter Output Resistance	V <sub>CC</sub> = V <sub>+</sub> = V <sub>-</sub> = 0V, V <sub>OUT</sub> = ±2V		300	10M		Ω
Output Short-Circuit Current	V <sub>OUT</sub> = 0V		±7	±22		mA
	MAX220				±60	
<b>RS-232 RECEIVERS</b>						
RS-232 Input Voltage Operating Range					±30	V
	MAX220				±25	
RS-232 Input Threshold Low	V <sub>CC</sub> = 5V	All except MAX243 R <sub>2IN</sub>	0.8	1.3		V
		MAX243 R <sub>2IN</sub> (Note 4)	-3			
RS-232 Input Threshold High	V <sub>CC</sub> = 5V	All except MAX243 R <sub>2IN</sub>		1.8	2.4	V
		MAX243 R <sub>2IN</sub> (Note 4)		-0.5	-0.1	

## +5V-Powered, Multichannel RS-232 Drivers/Receivers

### ELECTRICAL CHARACTERISTICS—MAX220/222/232A/233A/242/243 (continued)

( $V_{CC} = +5V \pm 10\%$ ,  $C1-C4 = 0.1\mu F$ , MAX220,  $C1 = 0.047\mu F$ ,  $C2-C4 = 0.33\mu F$ ,  $T_A = T_{MIN}$  to  $T_{MAX}$ , unless otherwise noted.)

PARAMETER	CONDITIONS		MIN	TYP	MAX	UNITS
RS-232 Input Hysteresis	All except MAX220/MAX243, $V_{CC} = 5V$ , no hysteresis in SHDN		0.2	0.5	1	V
	MAX220		0.3			
	MAX243		1			
RS-232 Input Resistance	$T_A = +25^\circ C$ (MAX220)		3	5	7	k $\Omega$
			3	5	7	
TTL/CMOS Output Voltage Low	$I_{OUT} = 3.2mA$		0.2			V
	$I_{OUT} = 1.6mA$ (MAX220)		0.4			
TTL/CMOS Output Voltage High	$I_{OUT} = -1.0mA$		3.5	$V_{CC} - 0.2$		V
TTL/CMOS Output Short-Circuit Current	Sourcing $V_{OUT} = GND$		-2	-10		mA
	Sinking $V_{OUT} = V_{CC}$		10	30		
TTL/CMOS Output Leakage Current	SHDN = $V_{CC}$ or EN = $V_{CC}$ (SHDN = 0V for MAX222), $0V \leq V_{OUT} \leq V_{CC}$			$\pm 0.05$	$\pm 10$	$\mu A$
EN Input Threshold Low	MAX242			1.4	0.8	V
EN Input Threshold High	MAX242		2.0	1.4		V
Operating Supply Voltage			4.5		5.5	V
$V_{CC}$ Supply Current (SHDN = $V_{CC}$ ), figures 5, 6, 11, 19	No load	MAX220		0.5	2	$\mu A$
		MAX222/MAX232A/MAX233A/MAX242/MAX243		4	10	
	3k $\Omega$ load both inputs	MAX220		12		
		MAX222/MAX232A/MAX233A/MAX242/MAX243		15		
Shutdown Supply Current	MAX222/MAX242	$T_A = +25^\circ C$		0.1	10	$\mu A$
		$T_A = 0^\circ C$ to $+70^\circ C$		2	50	
		$T_A = -40^\circ C$ to $+85^\circ C$		2	50	
		$T_A = -55^\circ C$ to $+125^\circ C$		35	100	
SHDN Input Leakage Current	MAX222/MAX242				$\pm 1$	$\mu A$
SHDN Threshold Low	MAX222/MAX242			1.4	0.8	V
SHDN Threshold High	MAX222/MAX242		2.0	1.4		V
Transition Slew Rate	$C_L = 50pF$ to $2500pF$ , $R_L = 3k\Omega$ to $7k\Omega$ , $V_{CC} = 5V$ , $T_A = +25^\circ C$ , measured from $+3V$ to $-3V$ or $-3V$	MAX222/MAX232A/MAX233/MAX242/MAX243	6	12	30	V/ $\mu s$
		MAX220	1.5	3	30	
Transmitter Propagation Delay TLL to RS-232 (Normal Operation), Figure 1	$t_{PHLT}$	MAX222/MAX232A/MAX233/MAX242/MAX243		1.3	3.5	$\mu s$
		MAX220		4	10	
	$t_{PLHT}$	MAX222/MAX232A/MAX233/MAX242/MAX243		1.5	3.5	
		MAX220		5	10	

Note 4: MAX243  $R_{2OUT}$  is guaranteed to be low when  $R_{2IN}$  is  $\geq 0V$  or is floating.

## +5V-Powered, Multichannel RS-232 Drivers/Receivers

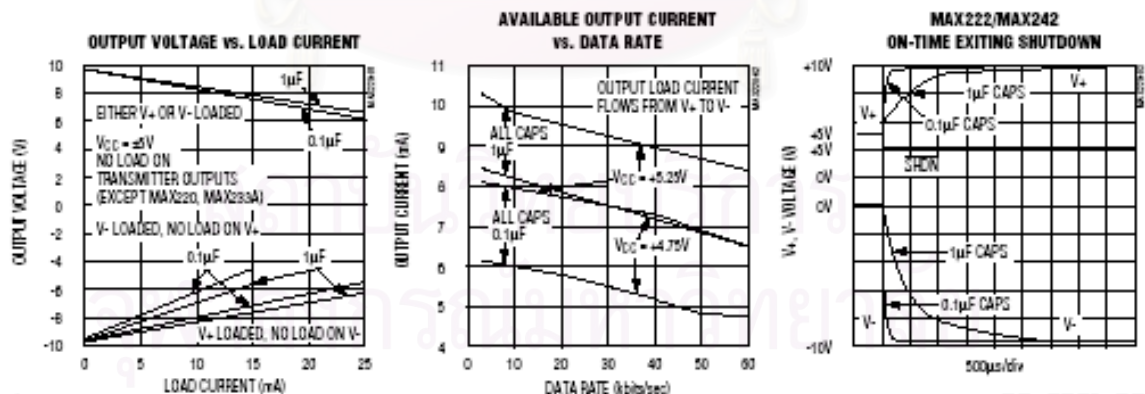
### ELECTRICAL CHARACTERISTICS—MAX220/222/232A/233A/242/243 (continued)

( $V_{CC} = +5V \pm 10\%$ , C1–C4 = 0.1 $\mu F$ , MAX220, C1 = 0.047 $\mu F$ , C2–C4 = 0.33 $\mu F$ ,  $T_A = T_{MIN}$  to  $T_{MAX}$ , unless otherwise noted.)

PARAMETER	CONDITIONS		MIN	TYP	MAX	UNITS
Receiver Propagation Delay RS-232 to TLL (Normal Operation), Figure 2	$t_{PHLR}$	MAX222/MAX232A/MAX233/ MAX242/MAX243	0.5	1		$\mu s$
		MAX220	0.6	3		
	$t_{PLHR}$	MAX222/MAX232A/MAX233/ MAX242/MAX243	0.6	1		
		MAX220	0.6	3		
Receiver Propagation Delay RS-232 to TLL (Shutdown), Figure 2	$t_{PHLS}$	MAX242	0.5	10		$\mu s$
	$t_{PHLS}$	MAX242	2.5	10		
Receiver-Output Enable Time, Figure 3	$t_{EP}$	MAX242		125	500	ns
Receiver-Output Disable Time, Figure 3	$t_{OP}$	MAX242		160	500	ns
Transmitter-Output Enable Time ( $\overline{SHDN}$ Goes High), Figure 4	$t_{ET}$	MAX222/MAX242, 0.1 $\mu F$ caps (includes charge-pump start-up)		250		$\mu s$
Transmitter-Output Disable Time ( $\overline{SHDN}$ Goes Low), Figure 4	$t_{DT}$	MAX222/MAX242, 0.1 $\mu F$ caps		600		ns
Transmitter + to - Propagation Delay Difference (Normal Operation)	$t_{PHLT} - t_{PLHT}$	MAX222/MAX232A/MAX233/ MAX242/MAX243		300		ns
		MAX220		2000		
Receiver + to - Propagation Delay Difference (Normal Operation)	$t_{PHLR} - t_{PLHR}$	MAX222/MAX232A/MAX233/ MAX242/MAX243		100		ns
		MAX220		225		

### Typical Operating Characteristics

#### MAX220/MAX222/MAX232A/MAX233A/MAX242/MAX243



## ก.5. บอร์ดเอฟพีซีเอ

### FPGA Discovery-III XC3S200 Board Manual

#### Introduction

The FPGA Discovery-III XC3S200 developed Board provides a low-cost, easy-to-use development and evaluation platform for Spartan-3 FPGA designs. It is shown in figure 1

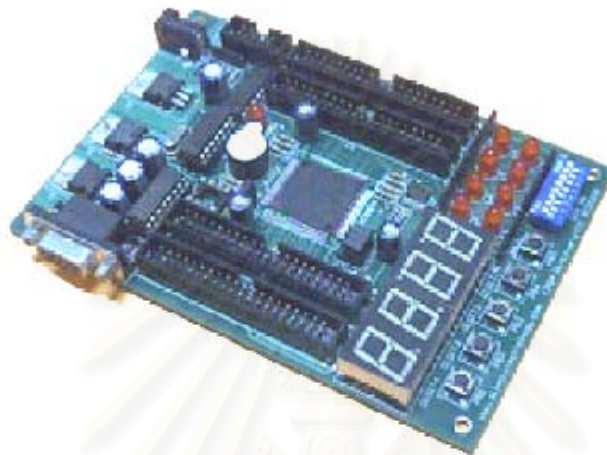


Figure 1 The FPGA Discovery-III XC3S200 developed Board

#### Features

- 1.) 200,000-gates Spartan-3 FPGA (XC3S200-4TQ144C)
  - Twelve 18K-bits block RAMs (216Kbits)
  - Twelve 18x18 hardware multipliers
  - Four Digital Clock Managers (DCMs)
- 2.) 1 Mbits Platform Flash PROM (XCF01SVO20C)
- 3.) Four Digits, seven-segments LED display
- 4.) Eight LED outputs
- 5.) One buzzer output
- 6.) Eight positions DIP switch
- 7.) Five momentary-contact push button switch
- 8.) 9-pin RS-232 Serial Port
- 9.) I2C socket for serial EEPROM (24LC  $\underline{x}$   $\underline{x}$ )
- 10.) Four 40-pins expansion connector ports (80 Bits 3.3V. I/O)
- 11.) JTAG port for low-cost download cable
- 12.) 25 MHz crystal oscillator

## ก.6. บอร์ดบันทึกข้อมูล

### ET-CFM V1.0



ET-CFM V1.0 ... เป็นบอร์ดที่ถูกออกแบบมาให้ต่อเข้ากับบอร์ดไมโครคอนโทรลเลอร์ต่างๆ ให้สามารถติดต่อเขียนอ่านข้อมูลกับหน่วยความจำประเภท CompactFlash ได้ โดยอยู่ในรูปแบบของ FILES แบบมาตรฐาน สามารถนำไปใช้ได้กับระบบของ DOS หรือของ WINDOWS ก็ได้ สามารถนำไปประยุกต์ใช้งานในภาคเก็บข้อมูลต่างๆ เช่น งานเก็บอัตโนมัติฯ อ่านข้อมูลต่างๆ เข้ามาหรือประมวลผลข้อมูล แล้วก็ทำการส่งข้อมูลนั้นๆ ผ่านทาง PORT RS232 ออกมายังบอร์ด ET-CFM ให้ทำการเก็บข้อมูลนั้นๆ เข้ายัง หน่วยความจำ COMPACTFLASH ที่เป็นหน่วยความจำที่มีราคาถูกที่สุดต่อขนาดของความจริง ทำให้สามารถนำไปใช้งานต่างๆ ได้ เช่น งานระบบ GPS บันทึกข้อมูลรถยนต์, DATA LOGGERS ต่างๆ, เครื่องวัดอุณหภูมิเครื่องเก็บข้อมูลต่างๆ

- สามารถใช้งานกับ CompactFlash ได้หลายขนาด เช่น ขนาด 32MB, 64MB, 128MB, 256MB หรือ 1GB
- รองรับหน่วยความจำ CompactFlash ได้สูงสุด 4GB
- บันทึกข้อมูลในระบบมาตรฐาน ไฟล์ FAT 16 ซึ่งสามารถนำไปใช้กับระบบ OS ของ DOS หรือ WINDOWS ได้
- ติดต่อสื่อสารอ่านเขียนข้อมูลเข้า CompactFlash ผ่านทาง PORT RS232, RS422 (OPTION) โดยสามารถตั้งอัตราการติดต่อได้ เช่น 9600, 19200, 38400 และ 57600 บิตต่อวินาที
- ปรกษณด้วยคำสั่งทำงานพื้นฐาน ที่ใช้ติดต่อกับ CompactFlash เช่น READ, WRITE, RESET, TIME RTC, DISK EMPTY
- มีระบบ RTC พร้อม BATTERY BACKUP ฐานเวลาพร้อมระบบกู้ข้อมูล กรณีแหล่งจ่ายไฟของตัวบอร์ดดับในขณะที่บันทึกข้อมูล
- PORT RS232 แบบ DB 9 PIN และแบบ 4 PIN ETT, RS422 ทั่วไปแบบ 6 PIN ETT
- ใช้ POWER SUPPLY DC 9 - 12VDC (DC ADAPTER 10VDC ของ ยี่ห้อ ราคา 130.- ส่วนที่ต้องซื้อเพิ่ม)
- ขนาดบอร์ด ET-CFM V1.0 11.7 x 9 CM
- ET-CFM V1.0 ประกอบด้วย ... บอร์ด ET-CFM V1.0, คู่มือการใช้งาน, CD-ROM ตัวอย่างโปรแกรม, สาย 9 PIN DB RS232, สาย 4 PIN หัวท้าย, DB 9 PIN ตัวผู้, COVER 9 PIN ...

## ก.7. โมเด็มไร้สาย

**9XTend-PKG-R™ RS-232/485 RF Modem****1 Watt, 900 MHz Radio Modem with built-in RS-232/485/422 Interfacing**

## XTend-PKG-R RF Modem Specifications

XTend 900 MHz RF Modem Specifications			
Performance	@ 9600 bps RF Data Rate	@ 115,200 bps RF Data Rate	
Transmit Power Output	1 mW - 1 W (software selectable)	1 mW - 1 W (software selectable)	
Indoor/Urban Range	Up to 3000' (900 m)	Up to 1500' (450 m)	
Outdoor RF line-of-sight Range	Up to 14 miles (22 km) w/ dipole antenna Up to 40 miles (64 km) w/ high-gain antenna	Up to 7 miles (11 km) w/ dipole antenna Up to 20 miles (32 km) w/ high-gain antenna	
Actual RF Data Rate (selectable using BR Command)	10,000 bps	120,000 bps	
Receiver Sensitivity	-110 dBm	-100 dBm	
Receive Current	110 mA	110 mA	
Idle Currents	16 sec cyclic sleep (SM=8)	20 mA	19 mA
	8 sec cyclic sleep (SM=7)	21 mA	19 mA
	4 sec cyclic sleep (SM=6)	24 mA	20 mA
	2 sec cyclic sleep (SM=5)	30 mA	22 mA
	1 sec cyclic sleep (SM=4)	39 mA	26 mA
Pin Sleep Power Down	17 mA	17 mA	
Serial Port Sleep Power Down	45 mA	45 mA	
<b>General</b>			
Frequency	902-928 MHz		
Spread Spectrum	FHSS (Frequency Hopping Spread Spectrum)		
Modulation	FSK (Frequency Shift Keying)		
Supported Network Topologies	Peer-to-Peer, Point-to-Point, Point-to-Multipoint & Multidrop		
Channel Capacity	10 hop sequences share 50 frequencies		
I/O Serial Data Rate (Baud)	1200 - 230400 bps (Software selectable)		
<b>Physical Properties</b>			
Size	2.75" x 5.50" x 1.124" (7.90 cm x 13.90 cm x 3.80 cm)		
Weight	7.1 oz. (200 g)		
Serial Connector	DB-9		
Operating Temperature	-40 to 85° C (Industrial)		
<b>Antenna</b>			
Connector	RPSMA (Reverse-polarity SMA)		
Type	1/2 wave dipole whip, 6.75" (17.1 cm), 2.1 dBi Gain		
Impedance	50 ohms unbalanced		
<b>Certifications (visit <a href="http://www.maxstream.net">www.maxstream.net</a> for complete list)</b>			
FCC Part 15.247	Pending		
Industry Canada (IC)	Pending		

## Specifications – Relative to user-selected TX Power Output

Power Requirements (TX currents relative to each TX Power Output option)					
Transmit Power Output	1 mW	10 mW	100 mW	500 mW	1 W
Transmit Current @9600 baud (9 VDC supply voltage)	110 mA	145 mA	250 mA	510 mA	900 mA
Transmit Current @115K baud (9 VDC supply voltage)	110 mA	140 mA	245 mA	500 mA	800 mA

**Long Range**

The XTend-PKG-R RF Modem delivers unprecedented range in a low-cost radio modem. Due to modem's 1 W power output & outstanding receiver sensitivity, users can experience up to 40 mile range in RF line-of-sight conditions and up to 20 miles in indoor/urban environments.

**AES Encryption**

When sending data over-the-air that commands secured wireless links, the XTend RF Modem provides 256-bit AES encryption – the highest encryption standard available.

**Receiver Sensitivity**

The modem's market-leading receiver sensitivity of -110 dBm (market average is -93 dBm) sets the modem apart from competing radios in terms of range and reliable communications.

**XII™**

MaxStream's XII (Interference Immunity) Technology filters interference coming from pagers and cellular.

**ISO**

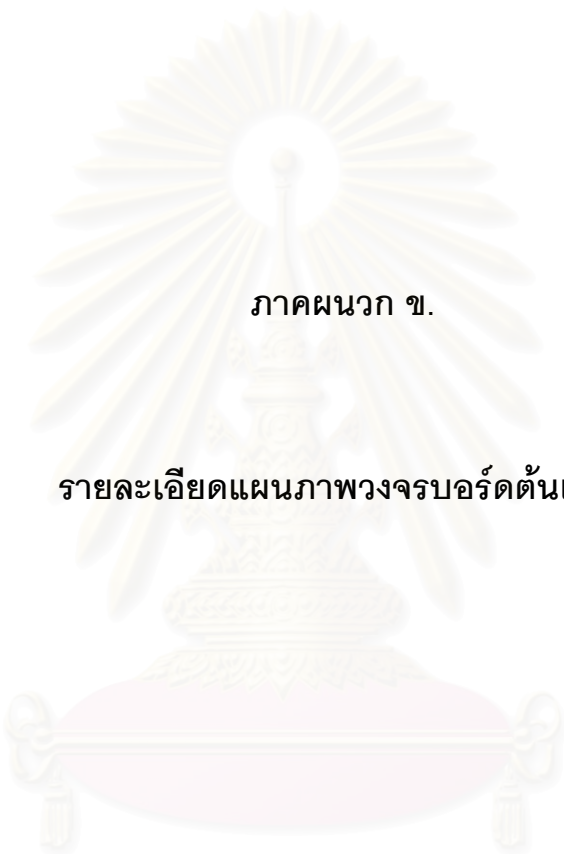
All MaxStream Radio Modems are manufactured under rigorous ISO 9001:2000 registered standards.

**World Class Support**

Free and unlimited technical support is included with every MaxStream Radio Modem sold.

**Call Today for Volume Pricing and Development Packages!**

Volume pricing incentives are available. Development packages provide an inexpensive means of experiencing MaxStream performance and support first-hand. The development packages include the hardware and software needed to rapidly create long range wireless links between devices.

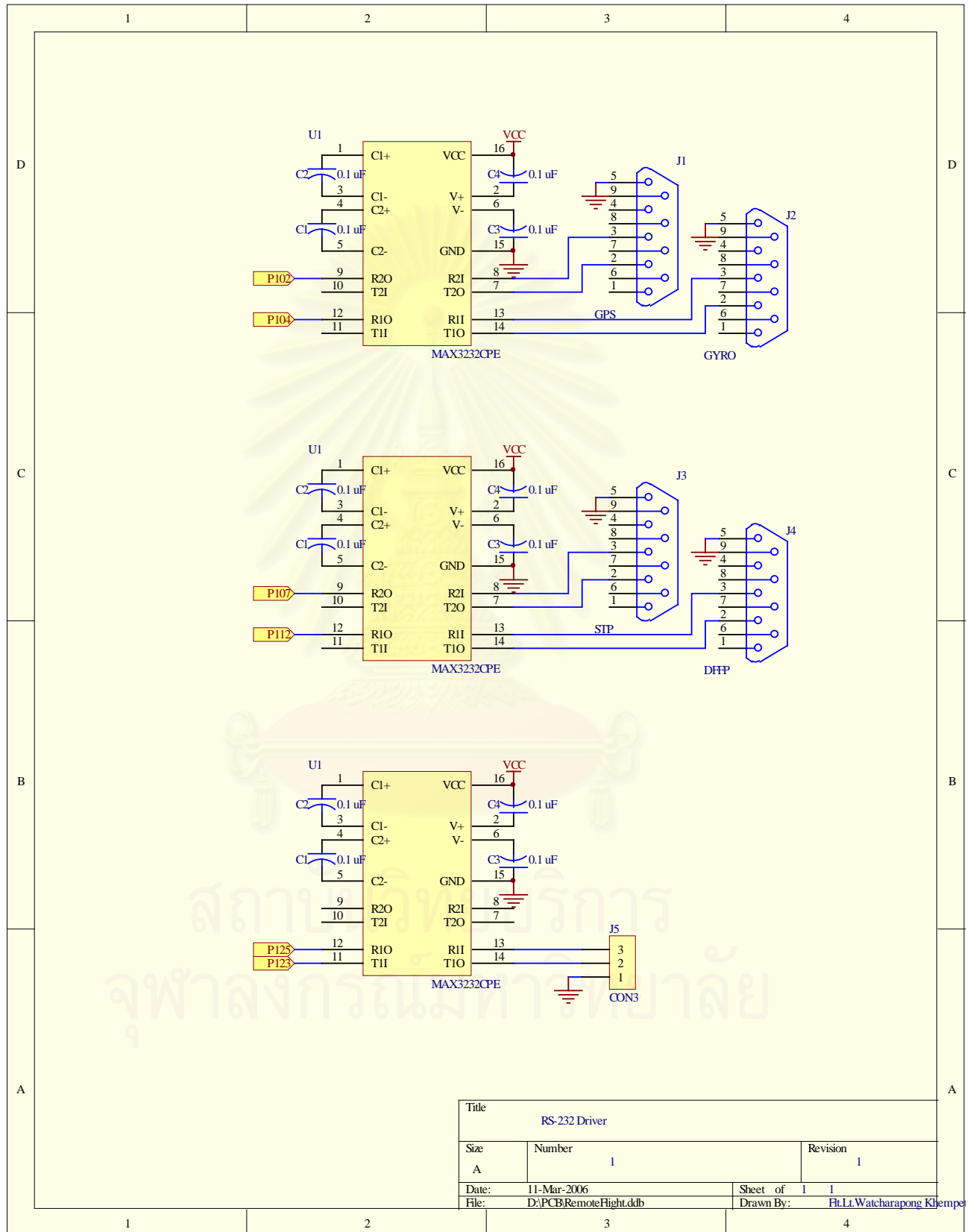


ภาคผนวก ข.

รายละเอียดแผนภาพวงจรบอร์ดต้นแบบ

สถาบันวิทยบริการ  
จุฬาลงกรณ์มหาวิทยาลัย

ข.1. วงจรขับ RS-232

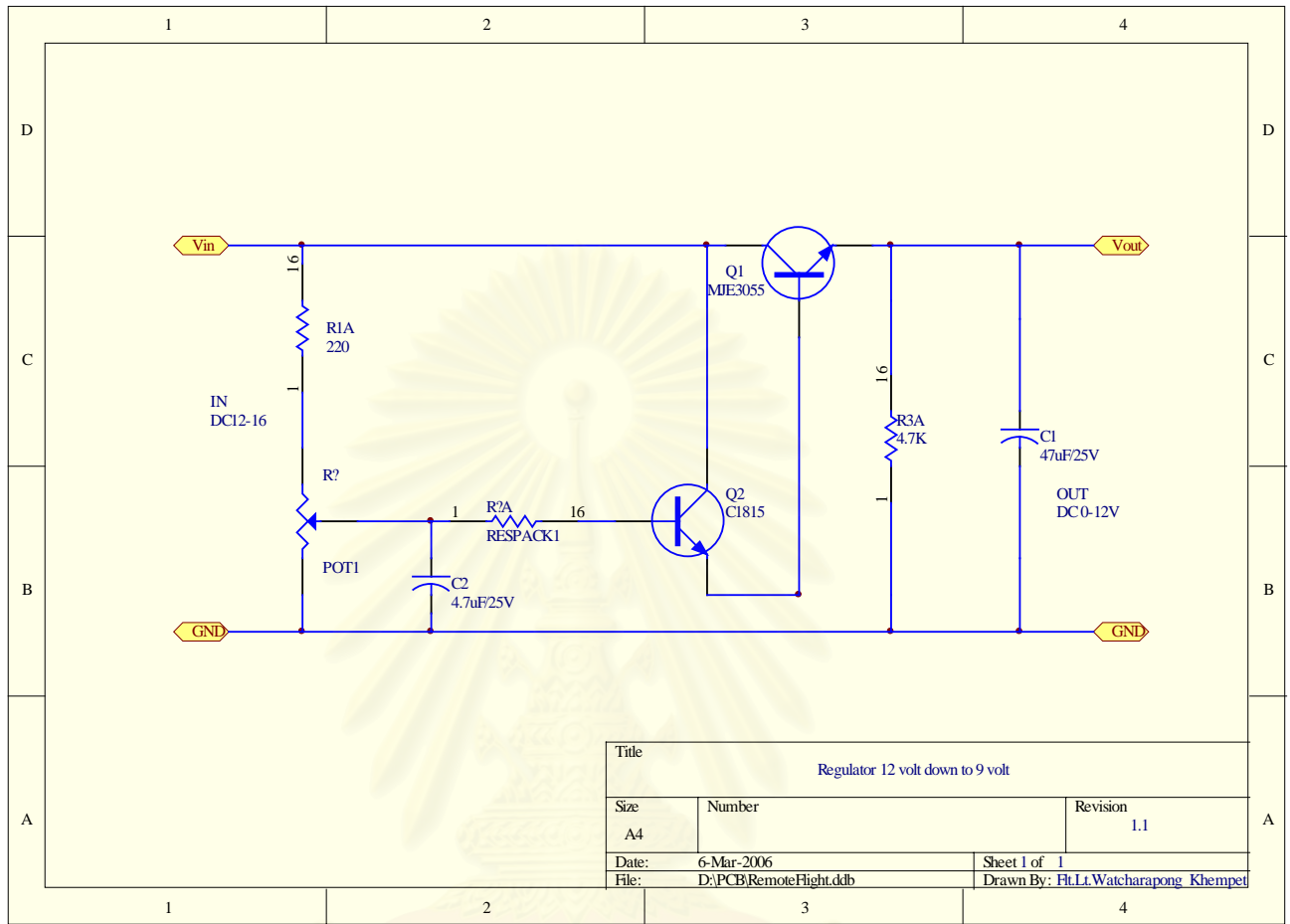


Title		
RS-232 Driver		
Size	Number	Revision
A	1	1
Date:	11-Mar-2006	Sheet of 1 1
File:	D:\PCB\RemoteFlight.ddb	Drawn By: Ft.Lt.Watcharapong Khemp

รูปที่ ข.1 วงจรขับ RS-232

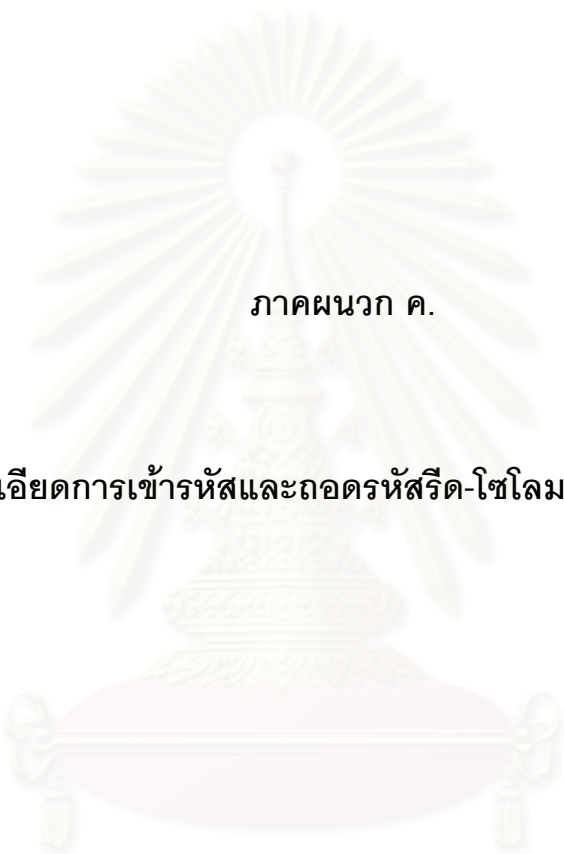


ข.2. วงจรแปลงแรงดัน



รูปที่ ข.2 วงจรแปลงแรงดัน

สถาบันวิทยบริการ  
จุฬาลงกรณ์มหาวิทยาลัย



ภาคผนวก ค.

รายละเอียดการเข้ารหัสและถอดรหัสรีด-ไซโลมอนด้วยภาษา C

สถาบันวิทยบริการ  
จุฬาลงกรณ์มหาวิทยาลัย

```
/*      rs.c      */
```

```
/* This program is an encoder/decoder for Reed-Solomon codes. Encoding is in
systematic form, decoding via the Berlekamp iterative algorithm.
```

```
In the present form , the constants mm, nn, tt, and kk=nn-2tt must be
specified (the double letters are used simply to avoid clashes with
other n,k,t used in other programs into which this was incorporated!)
```

```
Also, the irreducible polynomial used to generate GF(2**mm) must also be
entered -- these can be found in Lin and Costello, and also Clark and Cain.
```

```
The representation of the elements of GF(2**m) is either in index form,
where the number is the power of the primitive element alpha, which is
convenient for multiplication (add the powers modulo 2**m-1) or in
polynomial form, where the bits represent the coefficients of the
polynomial representation of the number, which is the most convenient form
for addition. The two forms are swapped between via lookup tables.
```

```
This leads to fairly messy looking expressions, but unfortunately, there
is no easy alternative when working with Galois arithmetic.
```

```
////////////////////////////////////////////////////////////////
```

```
#include <math.h>
```

```
#include <stdio.h>
```

```
#include <conio.h>
```

```
#define mm 4      /* RS code over GF(2**4) - change to suit */
```

```

#define nn 15      /* nn=2**mm -1  length of codeword */

#define tt 2//3    /* number of errors that can be corrected */

#define kk 11//9   /* kk = nn-2*tt */

int pp [mm+1] = { 1, 1, 0, 0, 1 }; /* specify irreducible polynomial coeffs */

int alpha_to [nn+1], index_of [nn+1], gg [nn-kk+1];

int recd [nn], data [kk], bb [nn-kk];

void generate_gf()

/* generate GF(2**mm) from the irreducible polynomial p(X) in pp[0]..pp[mm]

lookup tables: index->polynomial form  alpha_to[] contains j=alpha**i;

                polynomial form -> index form  index_of[j=alpha**i] = i

alpha=2 is the primitive element of GF(2**mm)

*/

{

register int i, mask ;

mask = 1 ;

alpha_to[mm] = 0 ;

for (i=0; i<mm; i++)

{ alpha_to[i] = mask ;

index_of[alpha_to[i]] = i ;

if (pp[i]!=0)

```

```

    alpha_to[mm] ^= mask ;

    mask <<= 1 ;

}

index_of[alpha_to[mm]] = mm ;

mask >>= 1 ;

for (i=mm+1; i<nn; i++)

{ if (alpha_to[i-1] >= mask)

    alpha_to[i] = alpha_to[mm] ^ ((alpha_to[i-1]^mask)<<1) ;

    else alpha_to[i] = alpha_to[i-1]<<1 ;

    index_of[alpha_to[i]] = i ;

}

index_of[0] = -1 ;

}

void gen_poly()

/* Obtain the generator polynomial of the tt-error correcting, length
nn=(2**mm -1) Reed Solomon code from the product of (X+alpha**i), i=1..2*tt
*/
{

register int i,j ;

gg[0] = 2 ; /* primitive element alpha = 2 for GF(2**mm) */

gg[1] = 1 ; /* g(x) = (X+alpha) initially */

```

```

for (i=2; i<=nn-kk; i++)

{ gg[i] = 1 ;

for (j=i-1; j>0; j--)

if (gg[j] != 0) gg[j] = gg[j-1]^ alpha_to[(index_of[gg[j]]+i)%nn] ;

else gg[j] = gg[j-1] ;

gg[0] = alpha_to[(index_of[gg[0]]+i)%nn] ; /* gg[0] can never be zero */

}

/* convert gg[] to index form for quicker encoding */

for (i=0; i<=nn-kk; i++) gg[i] = index_of[gg[i]] ;

}

void encode_rs()

/* take the string of symbols in data[i], i=0..(k-1) and encode systematically

to produce 2*tt parity symbols in bb[0]..bb[2*tt-1]

data[] is input and bb[] is output in polynomial form.

Encoding is done by using a feedback shift register with appropriate

connections specified by the elements of gg[], which was generated above.

Codeword is c(X) = data(X)*X**(nn-kk)+ b(X) */

{

register int i,j ;

int feedback ;

for (i=0; i<nn-kk; i++)

```

```

{
    bb[i] = 0 ;
}

for (i=kk-1; i>=0; i--)

{ feedback = index_of[data[i]^bb[nn-kk-1]] ;

  if (feedback != -1)
  {
    for (j=nn-kk-1; j>0; j--)
    {
      if (gg[j] != -1)
        bb[j] = bb[j-1]^alpha_to[(gg[j]+feedback)%nn] ;
      else
        bb[j] = bb[j-1] ;
    }
    bb[0] = alpha_to[(gg[0]+feedback)%nn] ;
  }
else
{
  for (j=nn-kk-1; j>0; j--)
  {
    bb[j] = bb[j-1] ;
  }
}

```

```

    bb[0] = 0 ;

};

};

};

```

```
void decode_rs()
```

```
/* assume we have received bits grouped into mm-bit symbols in recd[i],
```

```
i=0..(nn-1), and recd[i] is index form (ie as powers of alpha).
```

We first compute the  $2t$  syndromes by substituting  $\alpha^i$  into  $rec(X)$  and

evaluating, storing the syndromes in  $s[i]$ ,  $i=1..2t$  (leave  $s[0]$  zero) .

Then we use the Berlekamp iteration to find the error location polynomial

$elp[i]$ . If the degree of the  $elp$  is  $>t$ , we cannot correct all the errors

and hence just put out the information symbols uncorrected. If the degree of

$elp$  is  $\leq t$ , we substitute  $\alpha^i$ ,  $i=1..n$  into the  $elp$  to get the roots,

hence the inverse roots, the error location numbers. If the number of errors

located does not equal the degree of the  $elp$ , we have more than  $t$  errors

and cannot correct them. Otherwise, we then solve for the error value at

the error location and correct the error. The procedure is that found in

Lin and Costello. For the cases where the number of errors is known to be too

large to correct, the information symbols as received are output (the

advantage of systematic encoding is that hopefully some of the information

symbols will be okay and that if we are in luck, the errors are in the



parity part of the transmitted codeword). Of course, these insoluble cases can be returned as error flags to the calling routine if desired. \*/

```

{

register int i,j,u,q ;

int elp[nn-kk+2][nn-kk], d[nn-kk+2], l[nn-kk+2], u_lu[nn-kk+2], s[nn-kk+1] ;

int count=0, syn_error=0, root[tt], loc[tt], z[tt+1], err[nn], reg[tt+1] ;

/* first form the syndromes */

for (i=1; i<=nn-kk; i++)

{ s[i] = 0 ;

for (j=0; j<nn; j++)

if (recd[j]!=-1)

s[i] ^= alpha_to[(recd[j]+i*j)%nn] ; /* recd[j] in index form */

/* convert syndrome from polynomial form to index form */

if (s[i]!=0) syn_error=1 ; /* set flag if non-zero syndrome => error */

s[i] = index_of[s[i]] ;

} ;

if (syn_error) /* if errors, try and correct */

{

/* compute the error location polynomial via the Berlekamp iterative algorithm,

following the terminology of Lin and Costello : d[u] is the 'mu'th

discrepancy, where u='mu'+1 and 'mu' (the Greek letter!) is the step number

ranging from -1 to 2*tt (see L&C), l[u] is the

```

degree of the elp at that step, and  $u_l[u]$  is the difference between the step number and the degree of the elp.

```

*/

/* initialise table entries */

d[0] = 0 ;      /* index form */

d[1] = s[1] ;   /* index form */

elp[0][0] = 0 ; /* index form */

elp[1][0] = 1 ; /* polynomial form */

for (i=1; i<nn-kk; i++)

{ elp[0][i] = -1 ; /* index form */

  elp[1][i] = 0 ; /* polynomial form */

}

l[0] = 0 ;

l[1] = 0 ;

u_l[u][0] = -1 ;

u_l[u][1] = 0 ;

u = 0 ;

do

{

  u++ ;

  if (d[u]==-1)

    { l[u+1] = l[u] ;

```

```

for (i=0; i<=l[u]; i++)

{ elp[u+1][i] = elp[u][i] ;

  elp[u][i] = index_of[elp[u][i]] ;

}

}

else

/* search for words with greatest u_lu[q] for which d[q]!=0 */

{ q = u-1 ;

  while ((d[q]==-1) && (q>0)) q-- ;

/* have found first non-zero d[q] */

if (q>0)

{ j=q ;

  do

  { j-- ;

    if ((d[j]!=-1) && (u_lu[q]<u_lu[j]))

      q = j ;

  }while (j>0) ;

} ;

/* have now found q such that d[u]!=0 and u_lu[q] is maximum */

/* store degree of new elp polynomial */

if (l[u]>l[q]+u-q) l[u+1] = l[u] ;

else l[u+1] = l[q]+u-q ;

```

```

/* form new elp(x) */

for (i=0; i<nn-kk; i++)  elp[u+1][i] = 0 ;

for (i=0; i<=l[q]; i++)

    if (elp[q][i]!=-1)

        elp[u+1][i+u-q] = alpha_to[(d[u]+nn-d[q]+elp[q][i])%nn] ;

for (i=0; i<=l[u]; i++)

    { elp[u+1][i] ^= elp[u][i] ;

      elp[u][i] = index_of[elp[u][i]] ; /*convert old elp value to index*/

    }

}

u_lu[u+1] = u-l[u+1] ;

/* form (u+1)th discrepancy */

if (u<nn-kk) /* no discrepancy computed on last iteration */

{

    if (s[u+1]!=-1)

        d[u+1] = alpha_to[s[u+1]] ;

    else

        d[u+1] = 0 ;

    for (i=1; i<=l[u+1]; i++)

        if ((s[u+1-i]!=-1) && (elp[u+1][i]!=0))

            d[u+1] ^= alpha_to[(s[u+1-i]+index_of[elp[u+1][i]])%nn] ;

    d[u+1] = index_of[d[u+1]] ; /* put d[u+1] into index form */

```

```

    }

} while ((u<nn-kk) && (l[u+1]<=tt)) ;

u++ ;

if (l[u]<=tt)    /* can correct error */

{

/* put elp into index form */

    for (i=0; i<=l[u]; i++)  elp[u][i] = index_of[elp[u][i]] ;

/* find roots of the error location polynomial */

    for (i=1; i<=l[u]; i++)

        reg[i] = elp[u][i] ;

    count = 0 ;

    for (i=1; i<=nn; i++)

    { q = 1 ;

        for (j=1; j<=l[u]; j++)

            if (reg[j]!=-1)

                { reg[j] = (reg[j]+i)%nn ;

                    q ^= alpha_to[reg[j]] ;

                } ;

        if (!q)    /* store root and error location number indices */

            { root[count] = i;

```

```

loc[count] = nn-i ;

count++ ;

};

};

if (count==l[u]) /* no. roots = degree of elp hence <= tt errors */
{
/* form polynomial z(x) */
for (i=1; i<=l[u]; i++) /* Z[0] = 1 always - do not need */
{ if ((s[i]!=-1) && (elp[u][i]!=-1))

z[i] = alpha_to[s[i]] ^ alpha_to[elp[u][i]] ;

else if ((s[i]!=-1) && (elp[u][i]==-1))

z[i] = alpha_to[s[i]] ;

else if ((s[i]==-1) && (elp[u][i]!=-1))

z[i] = alpha_to[elp[u][i]] ;

else

z[i] = 0 ;

for (j=1; j<i; j++)
if ((s[j]!=-1) && (elp[u][i-j]!=-1))

z[i] ^= alpha_to[(elp[u][i-j] + s[j])%nn] ;

z[i] = index_of[z[i]] ; /* put into index form */

};

```

```

/* evaluate errors at locations given by error location numbers loc[i] */

for (i=0; i<nn; i++)

{ err[i] = 0 ;

  if (recd[i]!=-1)    /* convert recd[] to polynomial form */

    recd[i] = alpha_to[recd[i]] ;

  else recd[i] = 0 ;

}

for (i=0; i<=l[u]; i++) /* compute numerator of error term first */

{ err[loc[i]] = 1;    /* accounts for z[0] */

  for (j=1; j<=l[u]; j++)

    if (z[j]!=-1)

      err[loc[i]] ^= alpha_to[(z[j]+j*root[i])%nn] ;

  if (err[loc[i]]!=0)

    { err[loc[i]] = index_of[err[loc[i]]] ;

      q = 0 ;    /* form denominator of error term */

      for (j=0; j<=l[u]; j++)

        if (j!=i)

          q += index_of[1^alpha_to[(loc[j]+root[i])%nn]] ;

      q = q % nn ;

      err[loc[i]] = alpha_to[(err[loc[i]]-q+nn)%nn] ;

      recd[loc[i]] ^= err[loc[i]] ; /*recd[i] must be in polynomial form */

    }
}

```

```

    }

}

else /* no. roots != degree of elp => >tt errors and cannot solve */

for (i=0; i<nn; i++) /* could return error flag if desired */

    if (recd[i]!=-1) /* convert recd[] to polynomial form */

        recd[i] = alpha_to[recd[i]] ;

    else recd[i] = 0 ; /* just output received codeword as is */

}

else /* elp has degree has degree >tt hence cannot solve */

for (i=0; i<nn; i++) /* could return error flag if desired */

    if (recd[i]!=-1) /* convert recd[] to polynomial form */

        recd[i] = alpha_to[recd[i]] ;

    else recd[i] = 0 ; /* just output received codeword as is */

        i=i;

    }

else /* no non-zero syndromes => no errors: output received codeword */

for (i=0; i<nn; i++)

    if (recd[i]!=-1) /* convert recd[] to polynomial form */

        recd[i] = alpha_to[recd[i]] ;

    else recd[i] = 0 ;

}

```



```

main()

{

    register int i;

    /* generate the Galois Field GF(2**mm) */

    generate_gf() ;

    printf("Look-up tables for GF(2**%2d)\n",mm) ;

    printf(" i alpha_to[i] index_of[i]\n") ;

    for (i=0; i<=nn; i++)

        printf("%3d   %3d   %3d\n",i,alpha_to[i],index_of[i]) ;

    printf("\n\n") ;

    /* compute the generator polynomial for this RS code */

    gen_poly() ;

    /* for known data, stick a few numbers into a zero codeword. Data is in

    polynomial form.

    */

    for (i=0; i<kk; i++) data[i] = 0 ;

    /* for example, say we transmit the following message (nothing special!) */

    data[0] = 1;

    data[1] = 3;

    data[2] =3;

```

```

data[3] = 9;

data[4] = 0;

data[5] =0;

data[6] = 6 ;

data[7] = 5 ;

data[8] = 3 ;

data[9] =1;

/* encode data[] to produce parity in bb[]. Data input and parity output
   is in polynomial form
*/

encode_rs() ;

/* put the transmitted codeword, made up of data plus parity, in recd[] */

for (i=0; i<nn-kk; i++) recd[i] = bb[i] ;

for (i=0; i<kk; i++) recd[i+nn-kk] = data[i] ;

/* if you want to test the program, corrupt some of the elements of recd[]
   here. This can also be done easily in a debugger. */

/* Again, lets say that a middle element is changed */

for (i=0; i<nn; i++)

    recd[i] = index_of[recd[i]] ;    /* put recd[i] into index form */

/* decode recv[] */

decode_rs() ;    /* recd[] is returned in polynomial form */

/* print out the relevant stuff - initial and decoded {parity and message} */

```

```
printf("Results for Reed-Solomon code (n=%3d, k=%3d, t= %3d)\n\n",nn,kk,tt) ;  
  
printf(" i data[i] recd[i](decoded) (data, recd in polynomial form)\n");  
  
for (i=0; i<nn-kk; i++)  
  
    printf("%3d %3d %3d\n",i, bb[i], recd[i]) ;  
  
for (i=nn-kk; i<nn; i++)  
  
    printf("%3d %3d %3d\n",i, data[i-nn+kk], recd[i]) ;  
  
}
```



สถาบันวิทยบริการ  
จุฬาลงกรณ์มหาวิทยาลัย

## ประวัติผู้เขียนวิทยานิพนธ์

เรืออากาศเอก วัชรพงษ์ เข้มเพชร เกิดวันที่ 24 กรกฎาคม พ.ศ.2519 ณ กรุงเทพมหานคร สำเร็จการศึกษาปริญญาวิศวกรรมศาสตรบัณฑิต สาขาวิศวกรรมไฟฟ้า(สื่อสาร) คณะวิศวกรรมศาสตร์ โรงเรียนนายเรืออากาศ เมื่อ พ.ศ.2543 เริ่มต้นปฏิบัติงานตำแหน่ง หัวหน้าหมวดอิเล็กทรอนิกส์ 1 ฝ่ายอิเล็กทรอนิกส์ แผนกซ่อมบริษัท 1 กรมช่างอากาศ กองบัญชาการสนับสนุนทางอากาศ จากนั้นได้เข้าศึกษาต่อในระดับวิศวกรรมศาสตรมหาบัณฑิต สังกัดห้องปฏิบัติการวิจัยวัดคุมทางอุตสาหกรรม สาขาวิชาวิศวกรรมไฟฟ้า ภาควิชาวิศวกรรมไฟฟ้า คณะวิศวกรรมศาสตร์ จุฬาลงกรณ์มหาวิทยาลัย ปัจจุบันปฏิบัติงานตำแหน่งนายทหารคนสนิท เจ้ากรมควบคุมการปฏิบัติทางอากาศ กองบัญชาการยุทธทางอากาศ

สถาบันวิทยบริการ  
จุฬาลงกรณ์มหาวิทยาลัย